

# **Paratethys a neogén na Moravě**

**Část II  
Neogén na Moravě**

**II a  
Reziduální pánve flyšové, vídeňská a korneuburská pánev**

(výběrová přednáška)

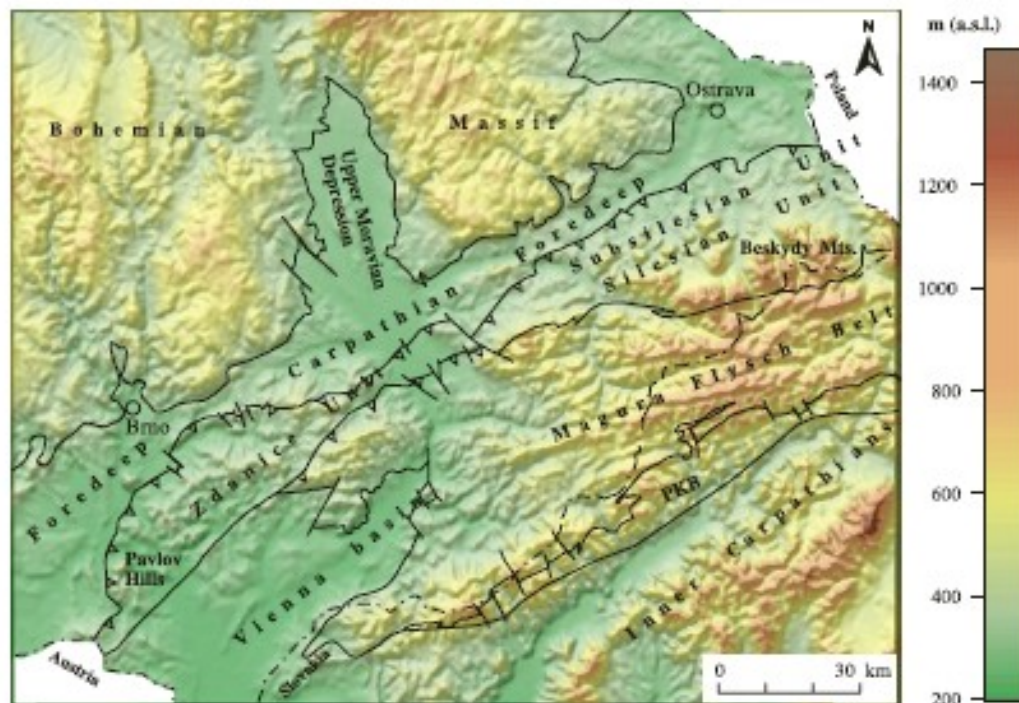
**2017**

**Rostislav Brzobohatý**

# Neogén na Moravě

Během neogénu pokračoval geologický vývoj západokarpatské soustavy na Moravě postupným vyzníváním mořské sedimentace ve změlčujících se **pánvích flyšových** za současného posunu především jejich paleogenního (zčásti i mesozoického) podloží na platformu. Současně vznikaly i **pánve zcela nové**, jednak v depresích uvnitř oblasti samotných příkrovů (vídeňská pánev) jednak před čelem těchto příkrovů (předhlubně). Sedimentární výplň těchto nových pánví, jak vyplývá z jejich pozice v orogénu, se od flyšových výrazně liší. Ukládají se zde tzv. **molasové sedimenty**, většinou mořské, brakické až sladkovodní jíly, prachy, písky, štěrky bez typicky flyšových znaků a místy i s vápenci, evapority a kaustobiolyty. Jsou výsledkem **příkrovových pochodů na straně karpatské a jejich odezvou na straně platformní kombinovaným s eustatickými pohyby světového oceánu**. Geneticky samostatným typem pánve s čistě kontinentálními sedimenty je lakustrinní pánev Hornomoravského úvalu.

Paleogeograficky představovaly **zbytkové pánve flyšových trogů, vídeňská pánev a předhlubně** součást sedimentační oblasti sz. Paratethydy.



Golonka et Picha (2006)

Figure 21. Topographic map of the Western Carpathians and their European foreland in Moravia.

## Oblast neogénních pánví na Moravě

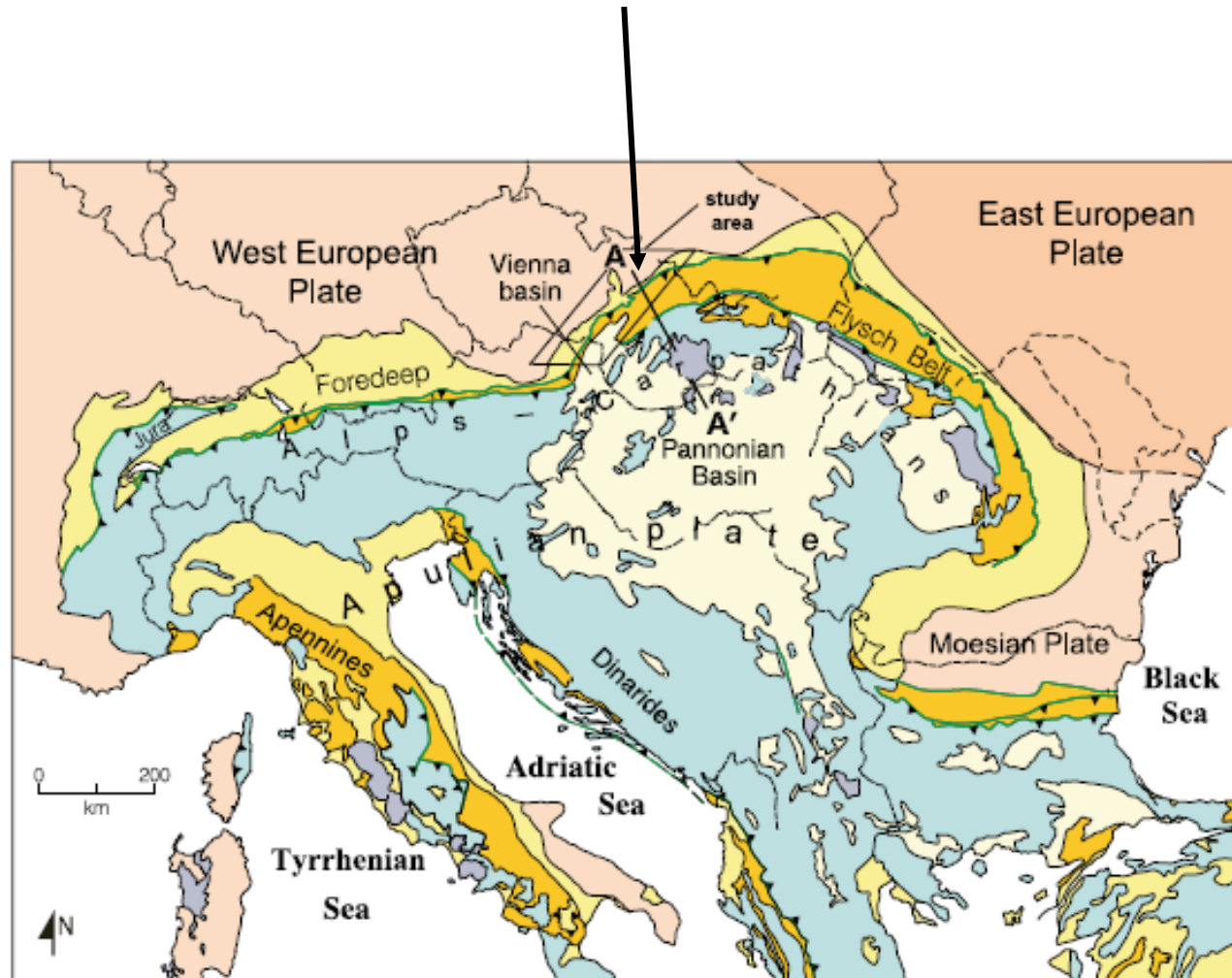
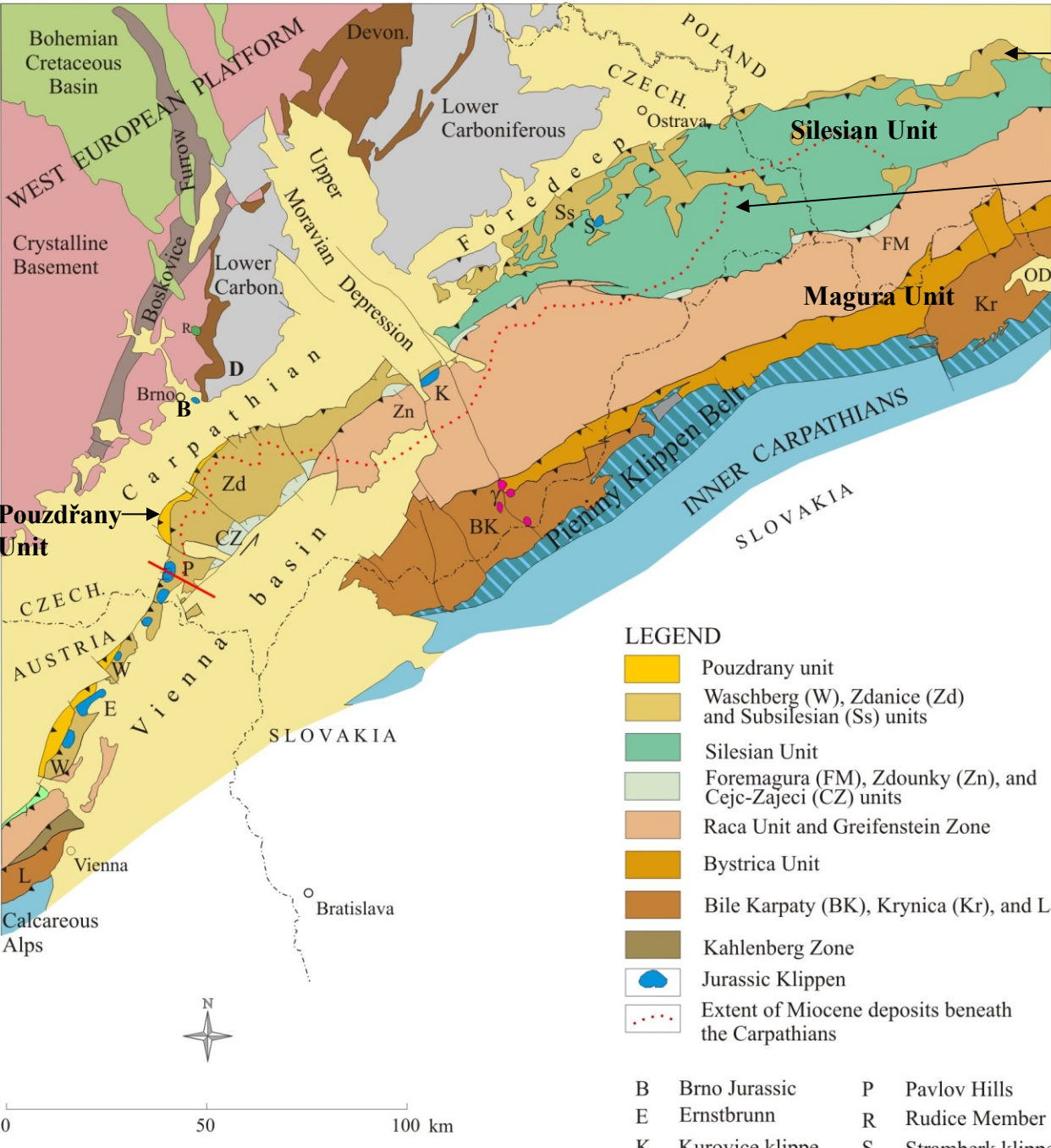


Figure 1. Generalized geologic map of the Alpine–Carpathian orogenic system of Europe. Study area is located in the box. The inner zones of the Alpine–Carpathian orogen are shown in blue. Modified from Picha (1996). Cross section of AA' is shown in Figure 2. **Golonka et Picha (2006)**

**Z pohledu geologického vývoje a pozice během neogénu lze rozdělit pánve na Moravě:**

- a) Zbytkové (reziduální) pánve flyšových trogů – slezská,
  - ždánicko-podslezská,
  - pouzdřanská
- b) Nesené (naložené) na příkrovech – vídeňská (do karpatu)
- c) Vnitrohorské (intramontánní, pull apart) – vídeňská (od sp. badenu)
- d) Před čelem příkrovů – předhlubně
- e) Hornomoravský úval



Zd + Ss = Ždánice-Subsilesian Unit

hranice sedimentů  
Kp pod příkrový

#### LEGEND

- [Yellow square] Pouzdřany unit
- [Light brown square] Waschberg (W), Zdanice (Zd) and Subsilesian (Ss) units
- [Green square] Silesian Unit
- [Light green square] Foremagura (FM), Zdounky (Zn), and Cejc-Zajeci (CZ) units
- [Orange square] Raca Unit and Greifenstein Zone
- [Dark brown square] Bystrica Unit
- [Brown square] Bile Karpaty (BK), Krynica (Kr), and Laab (L) units
- [Dark brown square] Kahlenberg Zone
- [Blue square] Jurassic Klippen
- [Dotted red line] Extent of Miocene deposits beneath the Carpathians

B	Brno Jurassic	P	Pavlov Hills
E	Ernstbrunn	R	Rudice Member
K	Kurovice klippe	S	Stramberk klippe
OD	Orava Depression	γ	Tertiary volcanics

Jednotky vnějších Karpat na  
Moravě (Picha et al. 2006)

## Sedimentace v doznívajících flyšových pánevích v (Picha et al. 2006)

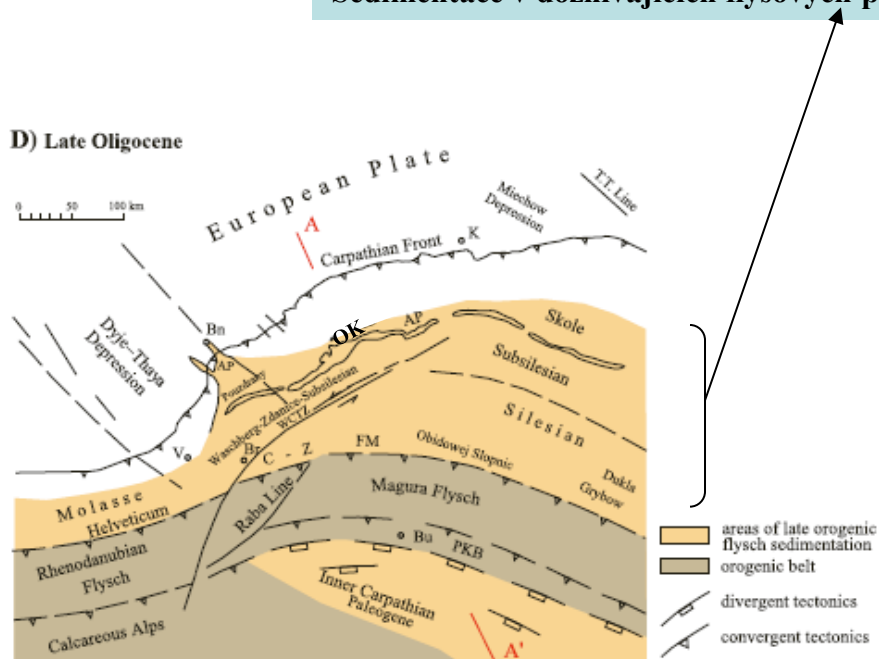


Figure 5. (cont.). In the Late Cretaceous (C), the divergent regime of the Tethyan margins changed into a convergent regime; and the motion along the Western Carpathian transfer zone reversed from dextral to sinistral. The sedimentary system spread farther northwest over the foreland. In the late Oligocene (D), the inner Magura unit was deformed and uplifted, whereas the Krosno-type flysch synorogenic sedimentation continued in the external zones of the Outer Carpathian system. The Inner Carpathian Paleogene basin formed on the top of the Inner Carpathian nappes. Line AA' marks the section used for the geotectonic reconstructions in Figure 6. AP = autochthonous Paleogene; Bn = Brno; Br = Bratislava; Bu = Budapest; C-Z = Cejč–Zajec unit; FM = Fore-Magura unit; K = Krakow; OK = Outer Klippen Belt carbonate buildups; PKB = Pieniny Klippen Belt; S = Stamberk carbonate buildup; V = Vienna; WCTZ = Western Carpathian transfer zone.

# Reziduální pánve flyšových trogů

Magurská pánev – ukončení sedimentace již na eocén/oligocén hranici, zdvih během **sávských pohybů** – eroze, během štýrských pohybů (od počátku badenu) v dnešní pozici jako magurský příkrov

- **nezdenické zlomy** (SZ-JV) – jv. od Uherského Brodu – **neovulkanity** (K/Ar, 14.8 +0.4), bazalty, trachybazalty, trachyandezity – pravé i ložní žíly, chemicky se blíží řadě alkalických hornin, vysoké obsahy U a Th, vzácných zemin, **pláštěový původ** (izotopy Sr), přívodní cesty = **křížení nezdenických zlomů a subdukční zóny.**

Slezská pánev - po uložení menilitového souvrství (podrohovcové v., rohovcové v., dynowské slínovce, šitbořické v., cca 100 m, sp.-sv. oligocén) nastupuje závěrečný sedimenatční cyklus:

- krosněnské s.** - typický flyš (rytmické střídání šedých vápnitých jílovců a žlutavě šedých vápnitých laminovaných pískovců, cca 100m - eroze, místy s tělesy skluzových slepenců, stáří **eger až ? eggenburg**) = helvetské pohyby v nejvyšším oligocénu
- vrstevní sled je součástí **slezské jednotky** (Moravskoslezské Beskydy, Podbeskydská pahorkatina): střížný bezkořenný **příkrov** přesunutý na podslezský příkrov, autochtonní podklad miocénu předhlubně, paleozoikum a krystalinikum platformy. Vývoj příkrovu završily mladoštýrské pohyby (sp.-stř. baden). K V do Karpat se noří pod magurský příkrov.

Podslezská pánev – menilitové s. (oligocén), litologie a mocnost dtto výše, v **egeru (????)** zbytková pánev s krosněnskou facií **ženklavského s.** (žlutavě šedé vápnité pískovce a šedé jílovce – viz výše).

Během štýrských pohybů jsou horniny této pánev dotlačeny masou slezského příkrovu na karpatskou předhlubeň a vyvrásněny včetně útržků hornin slezské jednotky a autochtonního spodního miocénu předhlubně. V povrchovém obrazu vystupuje **podslezská jednotka** v předpolí slezské (Podbeskydská pahorkatina), k jz. (Hranice n. M.) navazuje na jednotku ždánickou (řada společných rysů).

Ždánická pánev – menilitové souvrství (oligocén-eger, anoxie-dysoxie, sladká voda, cca 100 m mocnost):

nadloží

šitbořické vrstvy – hnědé, zelenošedé <nevápnité jílovce  
dynowské slínovce – hnědavé vrstevnaté slínovce a vápnité jílovce  
rohovcové v. – černošedé laminované silicity s vložkami hnědošedých lupenitých jílovců s rybí faunou  
podrohovcové v. – hnědé vápnité jílovce s rybí faunou, pozvolný vývoj z podložních šešorských slínů

Z podložního menilitového s. se v egeru pozvolna vyvíjí ždánicko-hustopečské s.

psamitická facie – ždánické pískovce  
(šedé, žlutavě šedé, slídnaté, vápnité pískovce  
s vložkami slepenců – i valouny magurských hornin)

pelitická facie – hustopečské slíny  
(šedé, žlutavě šedé vápnité jílovce)  
psamiticko-pelitická facie – flyšová  
rytmické střídání pískovců a vápnitých jílovců

-všechny 3 facie se laterálně i vertikálně zastupují,

-jsou opět výsledkem helvetské fáze orogeneze obnovující flyšovou sedimentaci (krosněnská facie – sypaný materiál od JV do podmořských kuželů, v této pánvi až 1250 m mocnost)

-během sávské a štýrské fáze vyvrásnění ždánického trogu - vznik polyfázové struktury ždánického příkrovu (Žd. les), stavba dokončena v závěru spodního miocénu => střížný bezkořenný příkrov s max. tloušťkou 2 345m s úklonem k čelu magurského příkrovu (JV) – pod ním je materiál ždánického příkrovu vyválcován a redukován

- v nadloží 2 naložené spodnomiocenní sedimentační cykly:

karpat – laaské souvrství (160 m) souvisí se sedimentací v karpatské předhlubni a vídeňské pánvi (šliry) a s ingresí moře do téchto pánví, místy ve šlírech vápence s mlži (*Maccoma*, *Lucina*), mikrofauna - viz karpatská předhlubeň

transgr.

ottnang – pavlovické souvrství: hnědé vrstevnaté jílovce s rybími zbytky na bázi, výše šedé a zelenavé jíly s čočkami (175 m mocnost) pelokarbonátů, nejvýše pak diatomové jíly až laminované diatomity (mělkovodní rozsivky *Coscinodiscus* a *Melosira*) = mělké mořské prostředí, redukční, snížená salinita

eggenburg – šakwické slíny (světle šedé, vrstevnaté, transgresivní, tenké vložky váp. písků a dolomitů, bohatá (200 m mocnost) plankt. mikrofauna: *C. boudecensis*, *G. ottnangiensis*, *G. lentiana* + chudý bentos = podoba boudeckým slínům, ale mělké prostředí) – Kobylské jezero, Hustopečská brána

transgr.

Pouzdřanská pánev – ležela na vnější straně doznívajících flyšových trogů, flyšová sedimentace až v závěru vývoje, je vyplněna:

eggenburg – ottnang – **křepické souvrství**, transgresivní po podmořské erozi a rozmyvu podložních boudeckých sl., báze vyznačena též bloky podložních hornin a silnostěnnými ústřicemi (změlení). Mocnost 300-400 m, charakter drobně rytmického flyše – střídání světlých slabě zpevněných vápnitých pískovců a tmavších prachových jílovců (vložky pelokarbonátů, polohy diatomitů a slepenců) = ráz krosněnské facie => doznívání orogenetických pochodů na vnějšku zbytkových pároví, posun v čase. Diskordanci mezi boudeckými sl. a křepickým s. lze spojit s poklesem hladiny světového oceánu, která se odrazila i v CP (např. hodonínské písky ve Vp). Fauna křepického s. vzácná (žraloci, drobné aglutinance a redepozice).

Limonitické prachovce vyšší části souvrství mohou odpovídat humidní epizodě a mít vztah k rzechakovým vrstvám např. Kp.  
disk.

eger-sp. eggenburg – **boudecké slíny** (~36 m) ~ nevrstevnaté silně vápnité nahnědlé až světle šedé jílovce a slínovce (vložky dolomitů) bohatá fauna (mlži, plži, žraloci-zuby, radiolárie, foram: *C. boudecensis*, *G. praebulloides*, *G. angustumbilicata*, *G. lentiana*, *Nodosaria*, *Dentalina*, *Lenticulina*, *U. posthankeni* – jasný sp. miocén, + mikroflóra řas a rozsivky) => klidné mořské prostředí pelagiálu, pomalá sedimentace, dobrá komunikace s otevřeným mořem. *Helicosphaera cf. ampliaperta* = zóna NN2

sp. oligocén – eger – **uherčické s.** (ekv. menilitového s.), hnědé nevápnité jílovce (sek. sádrovec, tělesa konkrec. p. a diatomity), téměř sterilní = anoxie

eocén – sp. oligocén – **pouzdřanské slíny** (+ čočky moutnických vápenců)

Výplň pánevy vyvrásněna **štýrskou orogenezí** (počátek ott/ka, konec ka/ba), v závěru šupinovité přesunutí přes uloženiny karpatu předhlubně (ty často inkorporovány do příkrovu). Výsledek = **bezkořenný tenký příkrov** upadající k JV pod příkrov ždánický (délka přesunutí ~ 20 km). V povrchovém obrazu tvoří **pouzdřanská jednotka** úzkou šupinu před čelem ždánického příkrovu souvislou jen mezi Strachotínem a Újezdem u Brna. Její starší sedimenty než pouzdřanské slíny chybějí zřejmě v důsledku tektonického odloučení.

## **Shrnutí tektoniky:**

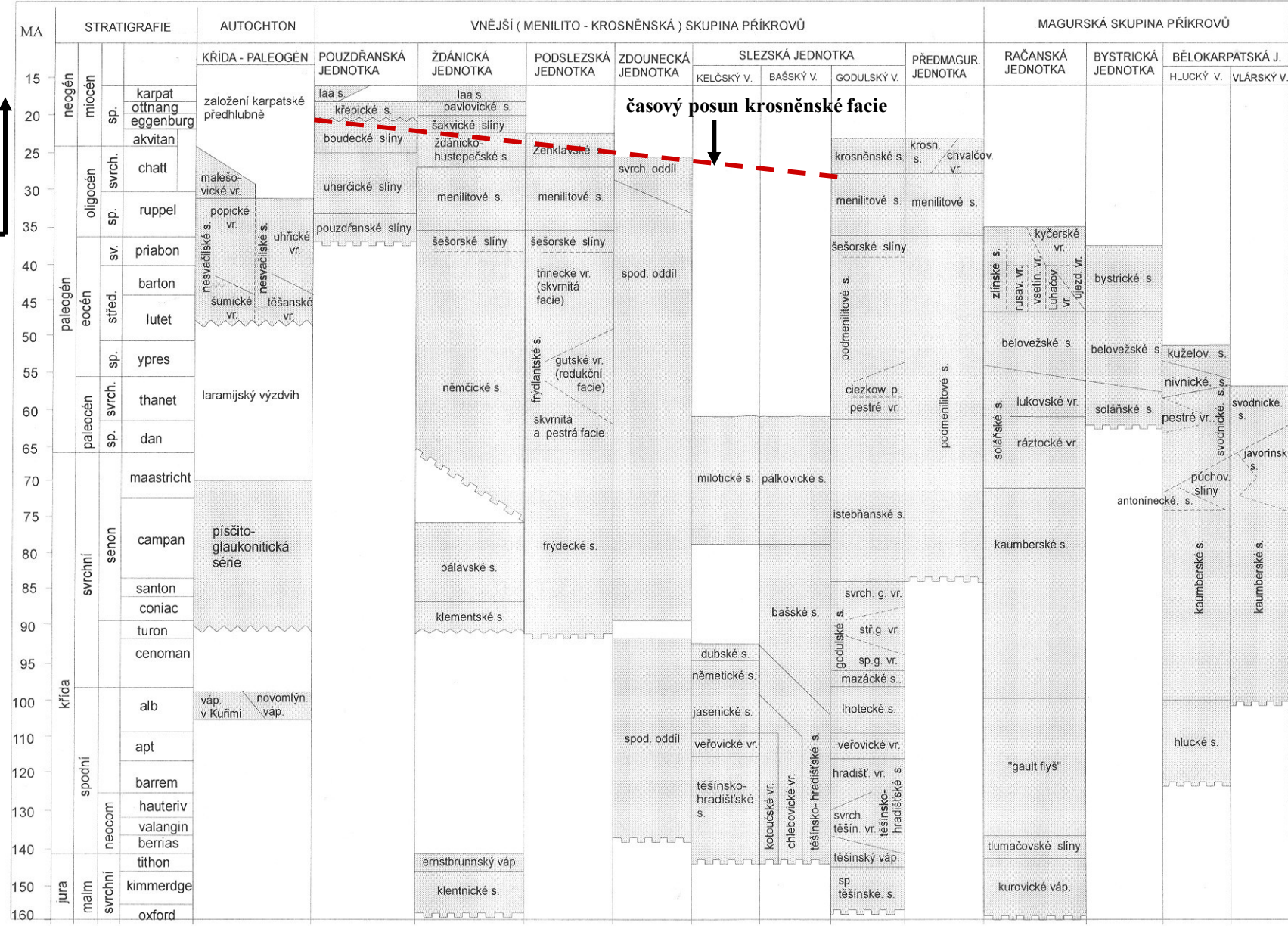
**Neogén je pro stavbu flyšového pásma rozhodujícím obdobím. Štýrskou orogenezí dochází ke zkrácení prostoru, vznikají ploché dalekosáhle do předpolí přesunuté příkrovky. Stále mladší sedimenty nad bazální plochou v čele příkrovů svědčí o závěru sedimentace v nesených pánevích (piggy back). Na jižní a střední Moravě končí pohyby před spodním badenem, severně od Moravské brány pak ještě mezi spodním a středním badenem.**

**Zkrácením prostoru vyvrásněním a přesunutím vzniká finální stavba jednotlivých jednotek a zvýraznění jejich litofaciálních rozdílů. Do čel příkrovů jsou zabudovány i útržky jurských sedimentů spolu s křídovými sedimenty (Pavlovské vrchy, Kurovice).**

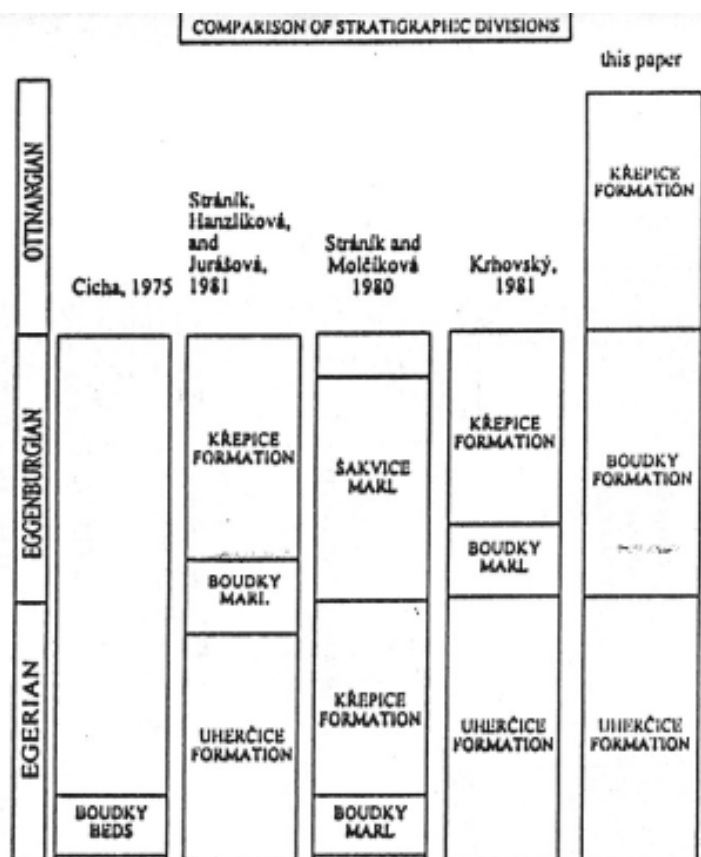
**Příkrovová stavba flyše je porušována četnými podélnými příčnými zlomy různých generací. Častá je reaktivace (prokopírování starších zlomů z hlubokého podloží do mladších struktur). O tom svědčí výrony CO<sub>2</sub> a NH<sub>4</sub> na zlomech, popř. vulkanické projevy – nezdenické zlomy.**

**Podélné zlomy bulharsko-schrattenberské omezují na západě i další významnou zčásti nesenou pánev vídeňskou, která je však novou strukturou bez přímé vazby na sedimentaci ve flyšových trozích.**

paratethydni pánve

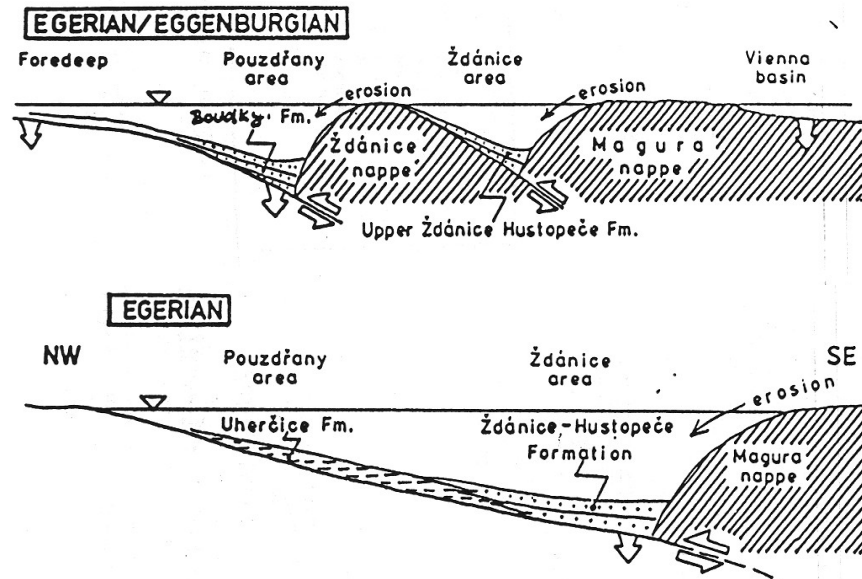


# Stratigrafické korelace jednotlivých litostratigrafických jednotek v rozmezí 1975-1995



Tab.I: Comparison of stratigraphic divisions of Miocene of the Pouzdřany Unit. (Krhovský et al. 1995)

## Zdrojové oblasti materiálu z V



Development of the Flysch-Belt nappe system in Southern Moravia, palcogeographic reconstruction, not to scale. The cross-sections show the Pouzdřany and Ždánice sedimentary areas at the time of restricted communication with the open sea and illustrate the time differences in the beginning of molasse sedimentation (Krošno Facies) in the particular areas. Compiled by KRHOVSKÝ.

(Srník-Krhovský-Bzobokatý-Hausrück, 1991) - upraveno

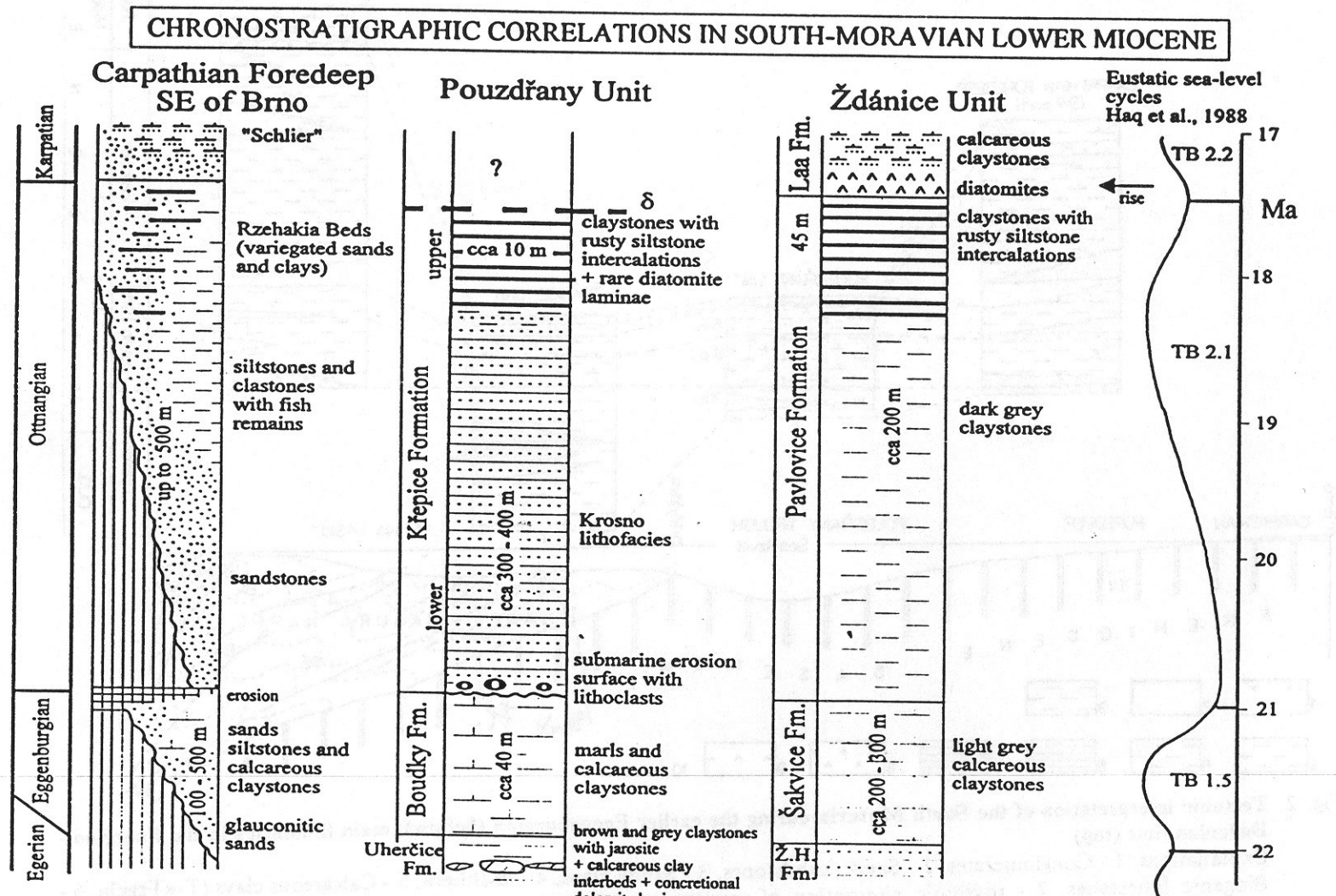
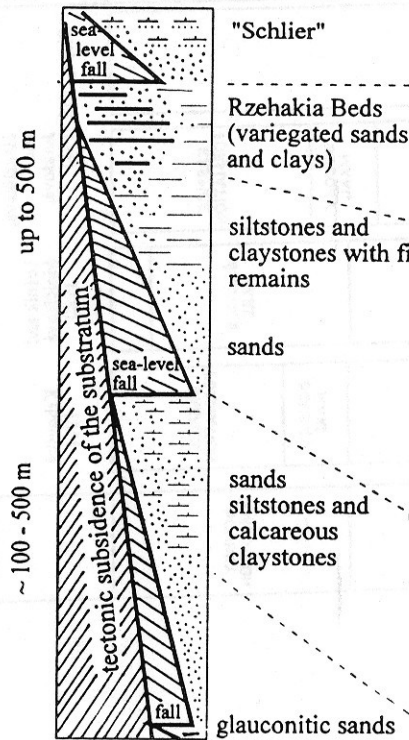


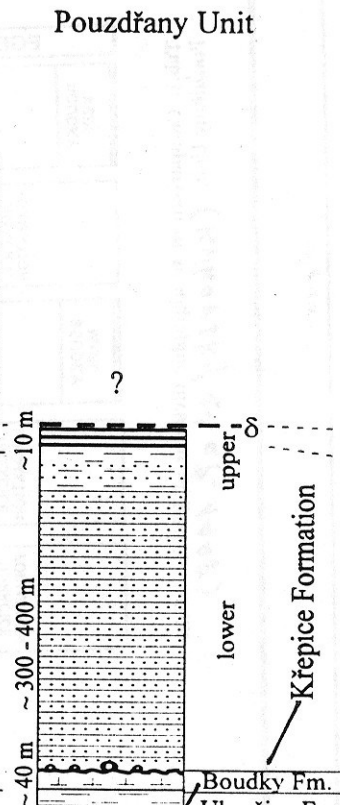
Fig. 1: Chronostratigraphic correlations of the Lower Miocene deposits in South Moravia.

## CORRELATION OF LOWER MIocene LITHOSTRATIGRAPHIC UNITS IN SOUTH MORAVIA

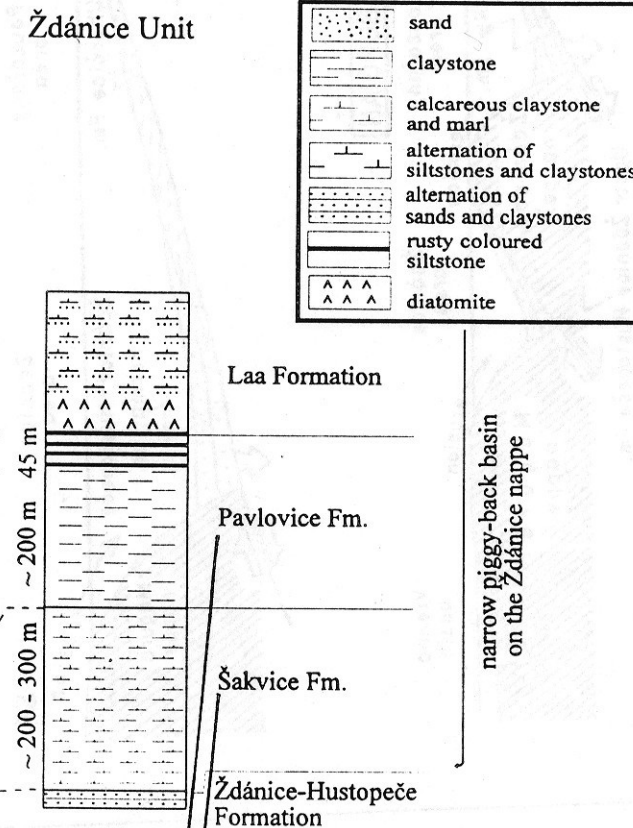
Carpathian Foredeep  
SE of Brno



Pouzdřany Unit



Ždánice Unit



▼ HIGHSTAND  
▼ LOWSTAND

Vienna Basin

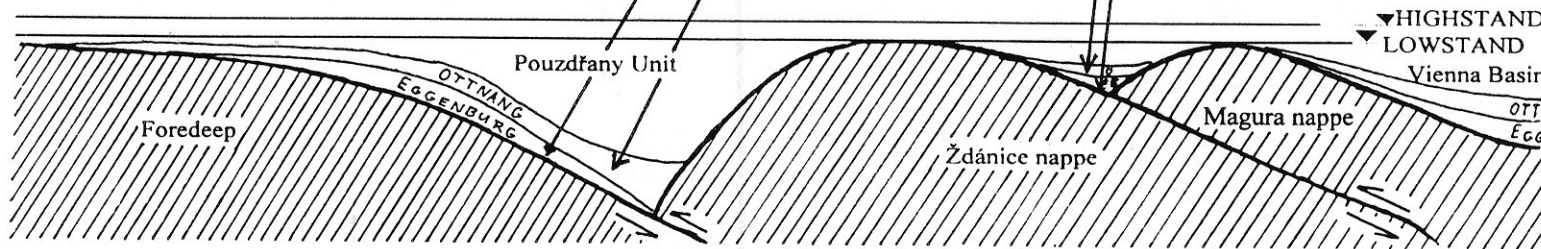


Fig. 2: Correlation of the Lower Miocene lithostratigraphic units in South Moravia.

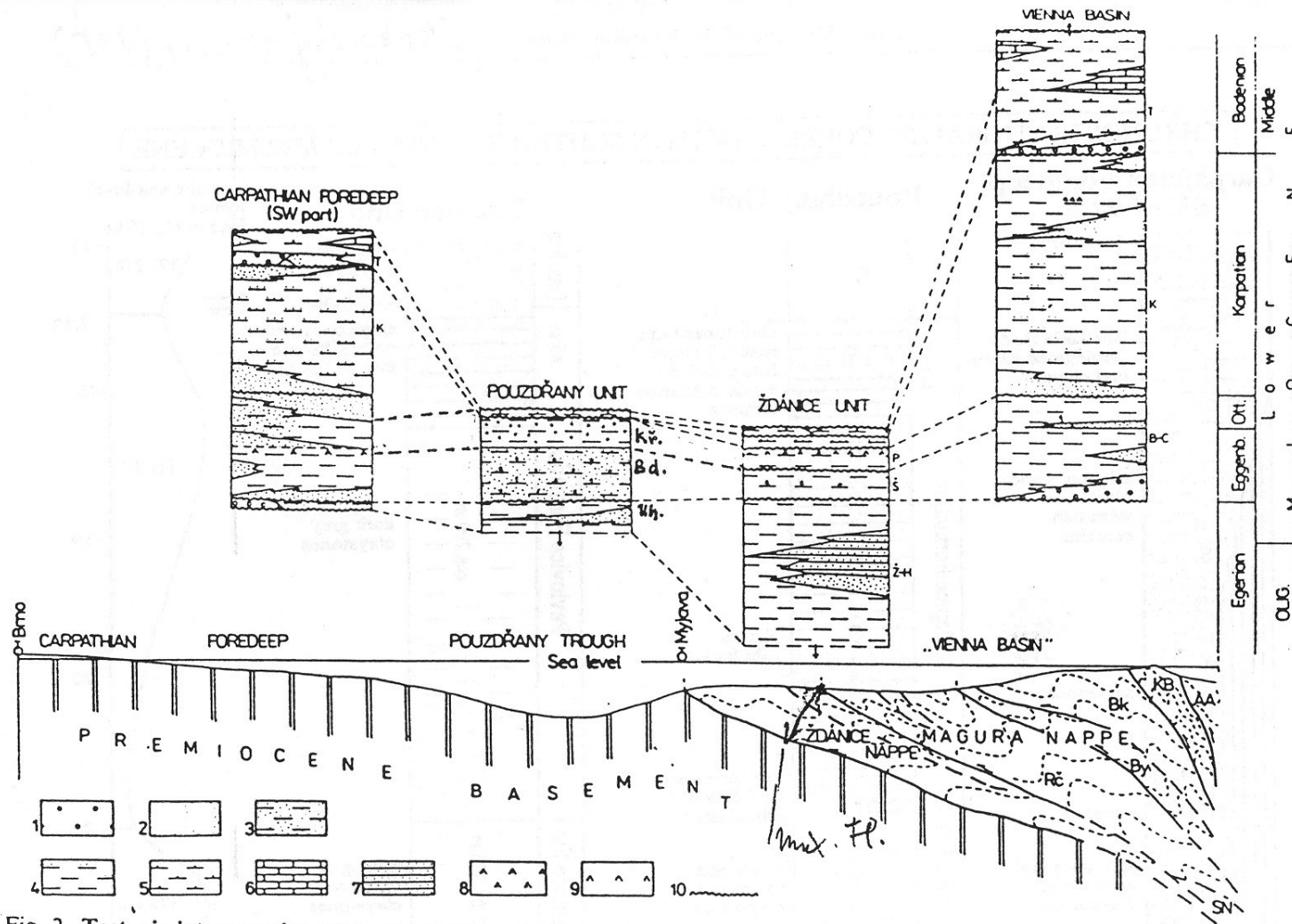


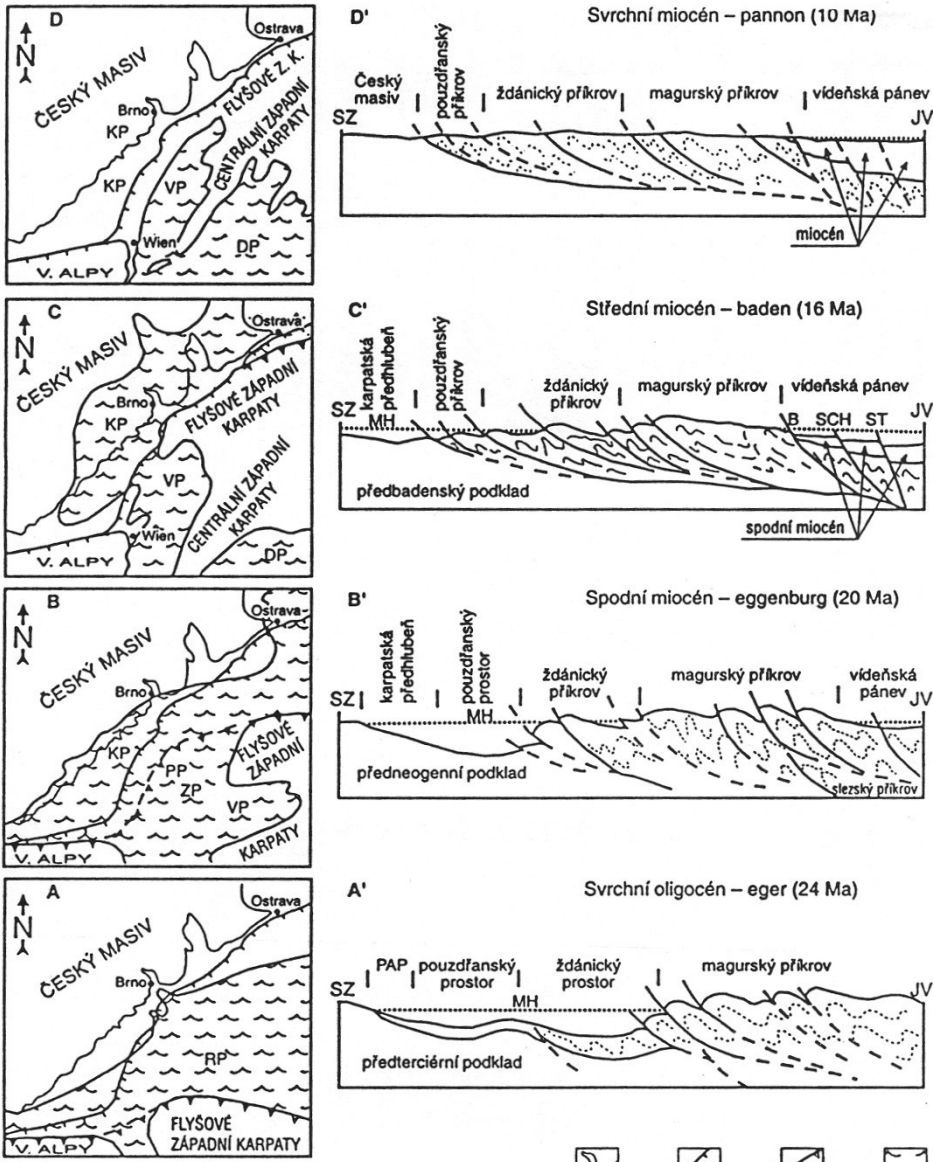
Fig. 2. Tectonic interpretation of the South Moravia during the earlier Eggenburgian (below); main lithofacies in the Egerian - Badenian time (top)

Explanations: 1 - Conglomerates, 2 - Sands, sandstones, 3 - Sandy clays, 4 - «Schlier», 5 - Calcareous clays (T-«Tegel»), 6 - Biogenic limestones, 7 - rhythmic alternation of sandstones and claystones («Krosno» lithofacies), 8 - Tuffites, 9 - Pavlovice Member, B-C - Bathysiphon-Cyclammina «Schlier», K - Karpathian «Schlier», T - «Tegel», AA - Austroalpine, KB - Klippen Belt, Bk - Bilé Karpaty Unit, By - Bystrica Unit, Rč - Rača Unit, SN - Silesian Nappe.

(Straňák - Krystek - Brzobohatý 1995) - upraveno

zd. - Boudky Fm.

uh. - Uhřičice Fm.



Obr. 244. Paleogeografické a tektonické schéma vývoje Západních Karpat na Moravě v terciéru (Z. Stráník – R. Brzobohatý, orig.). 1 – okraj Českého masívu vystupující na povrch; 2 – dnešní okraj přesunutých Západních Karpat; 3 – vnější okraj flyšových příkrovů; 4 – mořské pánve. MH – mořská hladina; PAP – prostor autochtonního paleogénu; B – zlomový systém Bulhar; SCH – schrattenberský zlomový systém; ST – steinberský zlomový systém; RP – zbytkové (reziduální) pánve; VP – vídeňská pánev; ZP – ždánický prostor; PP – pouzdřanský prostor; KP – karpatská předhlubeň; DP – dunajská pánev.

**Příkrov na Moravě a Ostravsku jsou v dnešní pozici. Karpatská předhlubeň se spolu s Čs. masivem zvedla a zanikla. Sedimentace pokračuje jen ve Vp – vnitrohorská deprese odvodňovaná do dunajské pánve**

**Příkrov sunuty i přes spodní miocén karpatské předhlubně, jižně od Moravské brány zaujaly dnešní pozici. Vyvrásněn i pouzdřanský příkrov. Čela příkrovů podléhají erozi. Předhlubeň s mořskou sedimentací postupuje daleko na Čs. masív a je propojena s vídeňskou pánví jižně od Mikulova.**

**Je vyvrásněn magurský a ždánický příkrov a jsou sunuty do předpolí (sávská fáze). Na nich a v týlu vznikají nesené pánve. Sedimentace pokračuje v pouzdřanském prostoru. Zakládá se karpatská předhlubeň, nedostatečně oddělena od prostoru pouzdřanského a vnitrokarpatského.**

**Flyšová sedimentace ustupuje, trogy se zvedají, mění se na zbytkové vzájemně propojené pánve. Vyvrásněn je magurský příkrov a vysunut až do sousedství ždánického prostoru (J. Morava). Tam ještě sedimentuje krosněnská facie jako závěr flyšové sedimentace.**

# Autochtonní paleogén

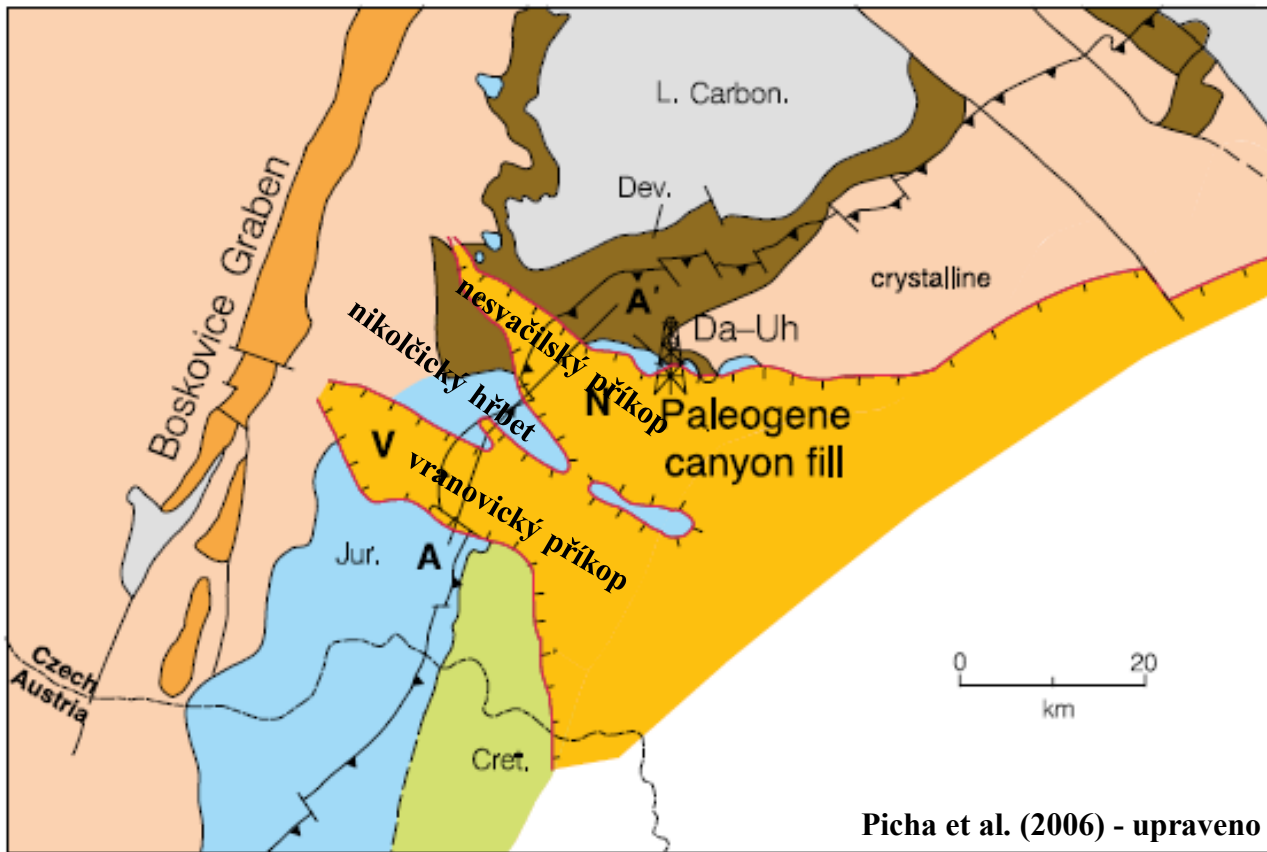


Figure 12. Pre-Neogene subcrop map showing the Nesvacilka (N) and Vranovice (V) paleovalleys cut into the European foreland plate, filled with Paleogene deposits, and later buried below the edges of the Western Carpathian thrust belt and the Neogene foredeep. Da-Uh marks the location of the Damborice and Uhrice oil and gas fields, respectively (Picha, 1996). Cross section of AA' shown in Figure 13.

Situace příkopů vyplněných autochtonním paleogénem (vranovický a nesvačilský příkop) a později pohřbených pod flyšovými příkrovovými sedimenty miocénu Kp.

## Autochtonní paleogén nesvačilského a vranovického příkopu (Řehánek et al. 1994):

- tvoří jednu regionální lithostratigrafickou jednotku - **dambořickou skupinu** (výplň = paleocén-eocén),
- problém „příkop“ a tektonické omezení : kaňon a netektonické omezení
- stratigrafie dnes: spodní oligocén uvažován jen jako závěr sedimentace v nejjižnější části nesvačilského kaňonu, křídové fauny jsou resedimentované => počátek zahľubování kaňonu až v paleocénu, nejprve zahľubování nesvačilského kaňonu (těšanské souvrství + uhřický člen) a poté překrytí i vranovického kaňonu (žarošický a popický člen):

	nesvačilský „příkop“ (kaňon)	vranovický „příkop“ (kaňon)
eocén nesvačilské souvrství	<b>žarošický člen</b> – tmavohnědé slabě bituminózní vápnité jílovce, vápnité pískovce = okrajový mělkovodní vývoj v sv. omezení nesvačilského příkopu	<b>popický člen</b> – zhruba dtto žarošický člen
paleocén teshanské souvrství	<b>uhřický člen</b> – < zelenošedé jílovce s polohami vápnitých pískovců, vznik: turbiditní proudy v dolní části sed. vějířů a okraje pánevní roviny, výše pánevní tmavohnědé slabě vápnité jílovce a prachovce	
	<b>telnický člen</b> – < světle šedé pískovce a jílovce, černošedé prachovité jílovce, vznik: turbiditní proudy, sedimentační vějíře	
	<b>bošovický člen</b> – psamity a psefity, < nevytríděné, místy zpevněné, valounová bahna, vznik: turbiditní proudy ve výplni meandrujících koryt	

# Vídeňská pánev

Vídeňská pánev se rozkládá na hranici Východních Alp a Západních Karpat, zasahuje na území Rakouska, Slovenské republiky a České republiky (jv. Morava). Na východě ji lemuje Litavské vrchy a Malé Karpaty, na severu úpatí Bílých Karpat, Vizovických vrchů a Chřibů, na západě východní okraje Ždánického lesa a Pavlovských vrchů, na jihu Severní Vápencové Alpy a Východní Alpy. Na území ČR je její rozloha prakticky totožná s územím Dolnomoravského úvalu. Její předneogenní podloží je budováno především příkrovovými jednotkami Severních Vápencových Alp a vnějších Západních Karpat. Z této pozice vyplývá i velmi složitá geotektonická historie pánve spojená s vývojem celého alpsko-karpatského orogénu.

**Historie výkladů geneze:**

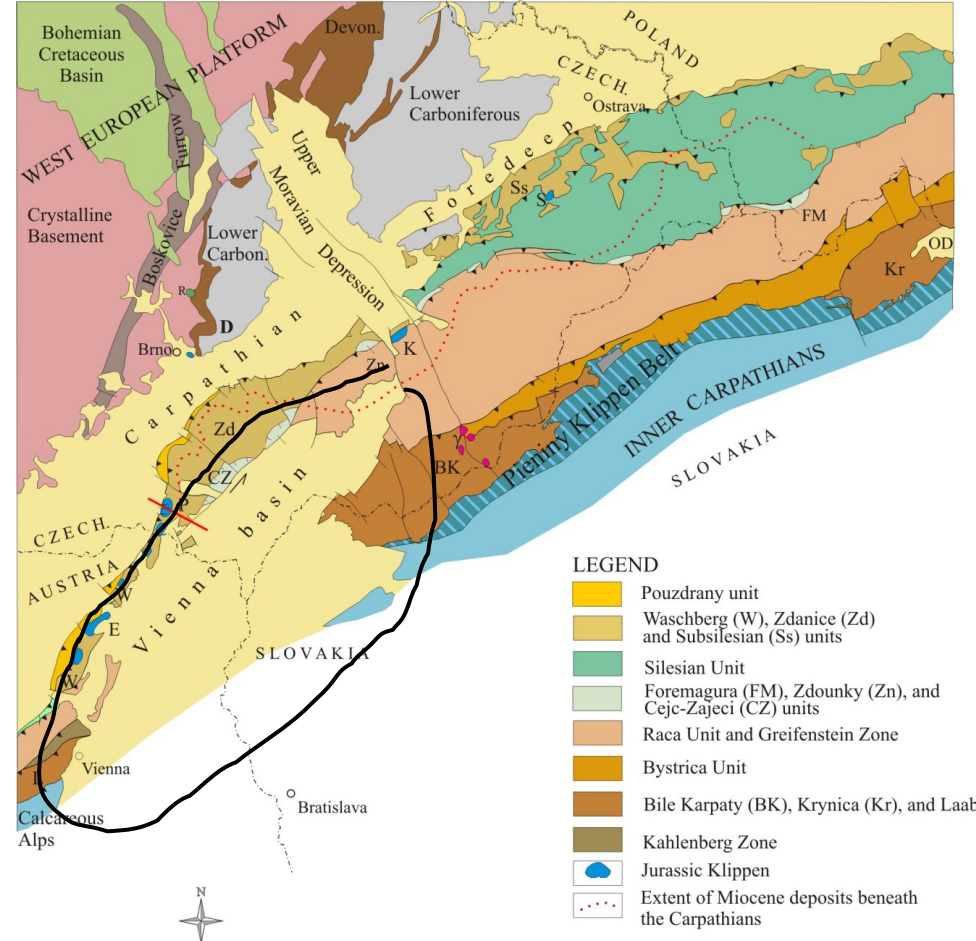
**1) Buday (1965)** – vnitrohorská deprese ležící na zvrásněném podloží, zvrásnění sedimentů v čele příkrovů je kompenzováno v týlu příkrovů tenzí spojenou se zlomovou tektonikou a silnou subsidencí během neogénu a tvorbou neogenní výplně pánve.

**2) Jiříček (1979)** - vznik pánve souvisí hlavně s ohybem alpsko-karpatského oblouku kolem JV cípu Českého masívu, který vyvolal radiální tenzi a zlomovou tektoniku sunutého tělesa. Otevřel příkopovou propadlinu, která se začala po dosunu příkrovů na místo otevírat v souvislosti s posunem dosunování příkrovů postupně k SV.

**3) Roth (1980)** spojil tento posun s pohybem na horizontálních zlomech (schrattenberský, bulharský, jakubovský a bolerázský) a odhadl tento sinistrální posun na 80 km.

**4) Roydenová et Horváth (1981)** pak interpretovali Vp jako rhombickou pánev vyvolanou posunem podle serie do pánve upadajících strike-slip zlomů, je však chladná (bez vulkanizmu) a bez cizorodých jednotek v podloží = „thin skinned pull apart basin“ a spojená s deformacemi horizontálních posunů

**5) Kováč (2000)** – viz Souhrn



**Jednotky vnějších Karpat na Moravě (Picha et al. 2006)**

→ V dnešní stavbě pánve dominují hráště a propadliny vymezené zlomy převážně sv. a ssv. směru, fungující současně jako horizontální posuny a poklesy

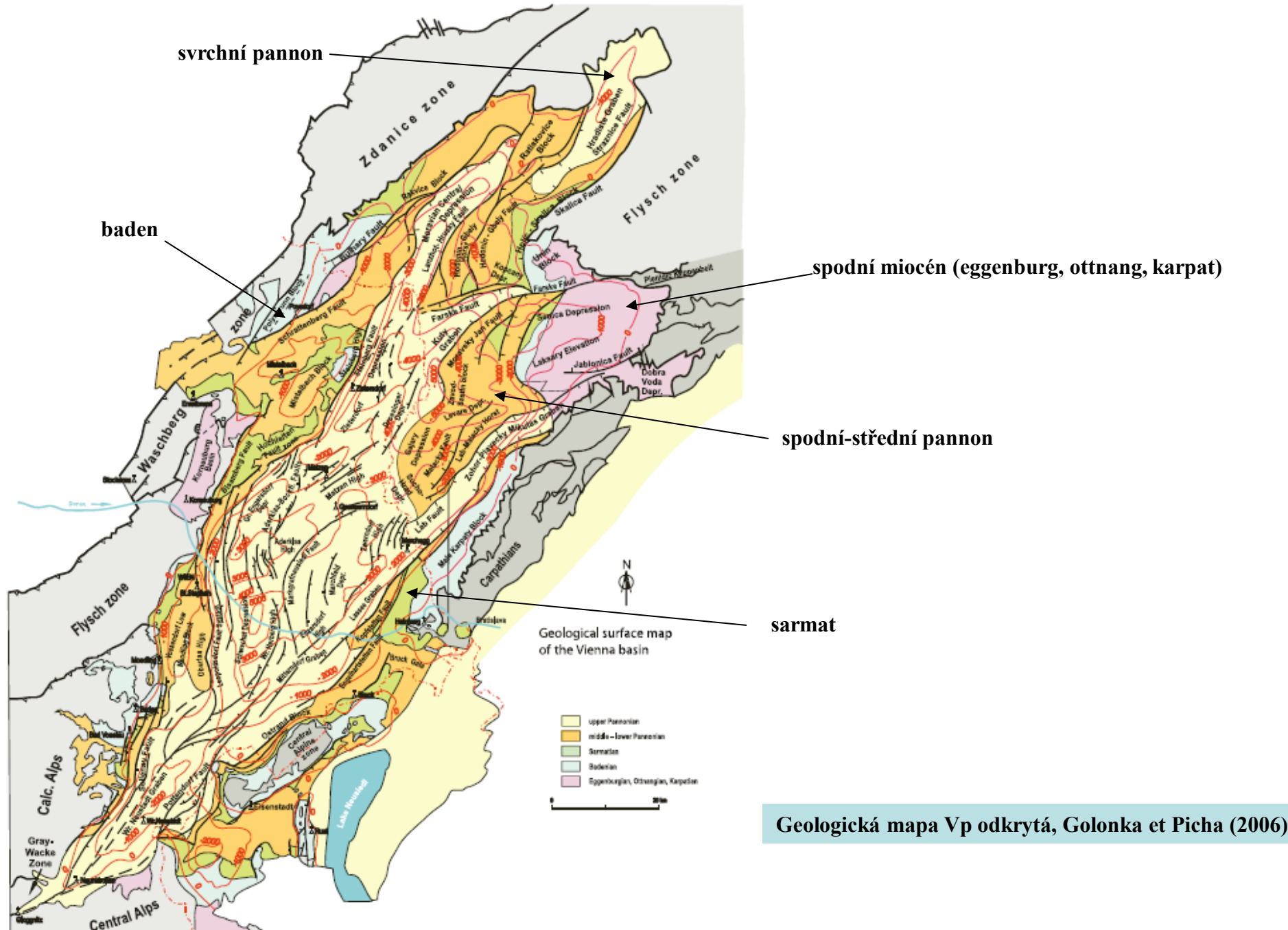
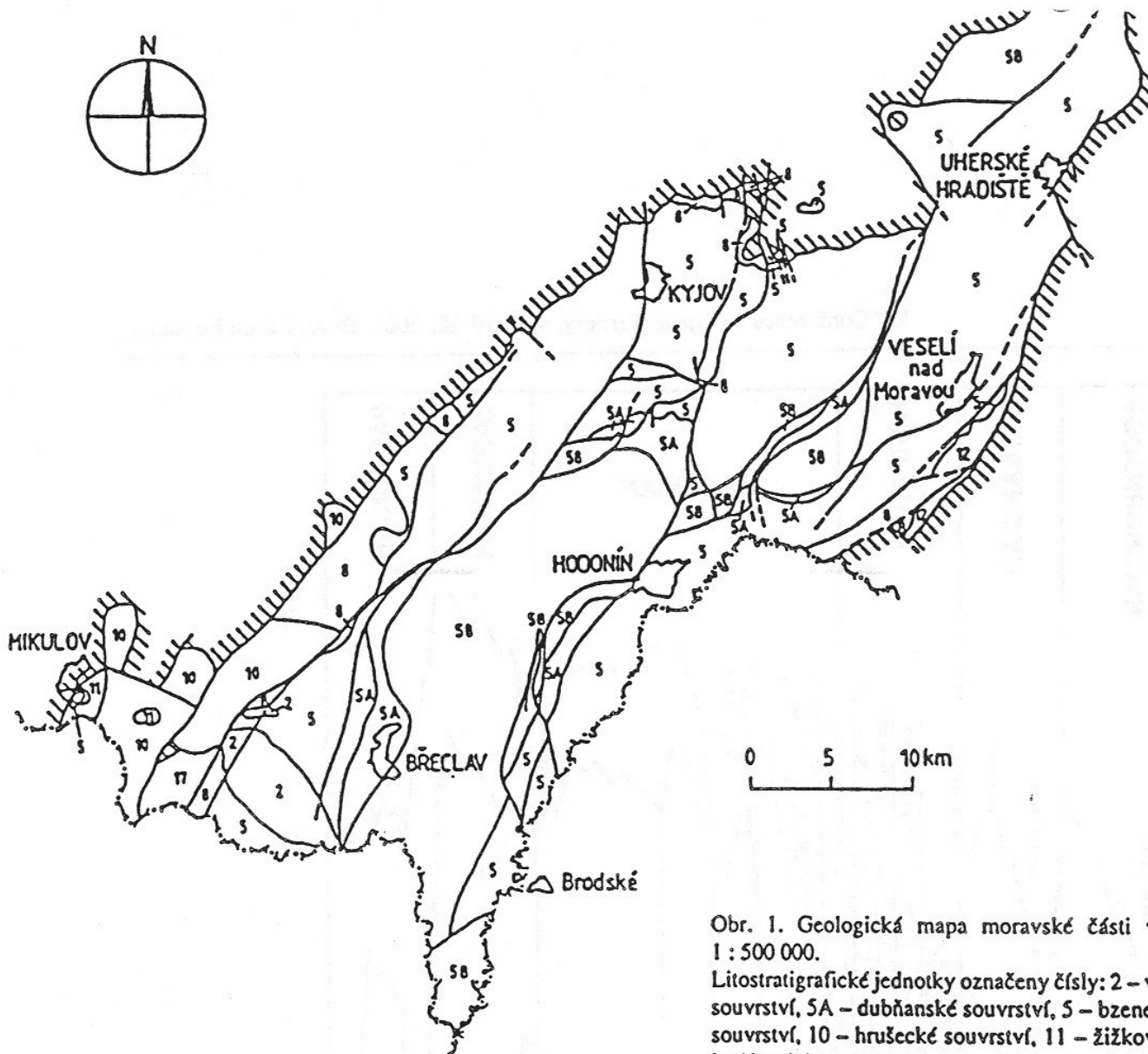


Figure 3. Geological surface map of the Vienna basin with contours of the pre-Neogene basin fill.

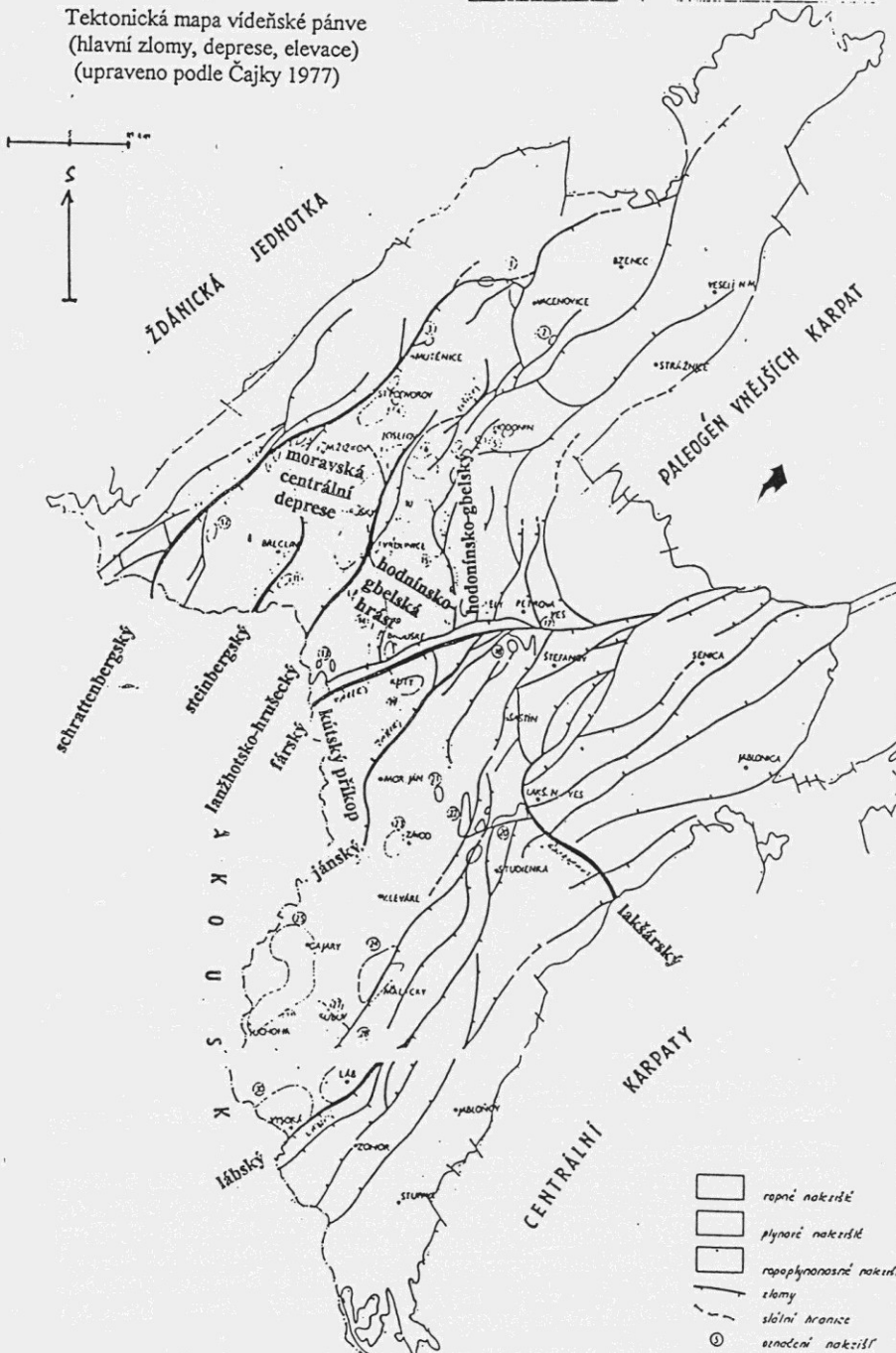


Obr. 1. Geologická mapa moravské části výdeňské pánve v měřítku 1 : 500 000.

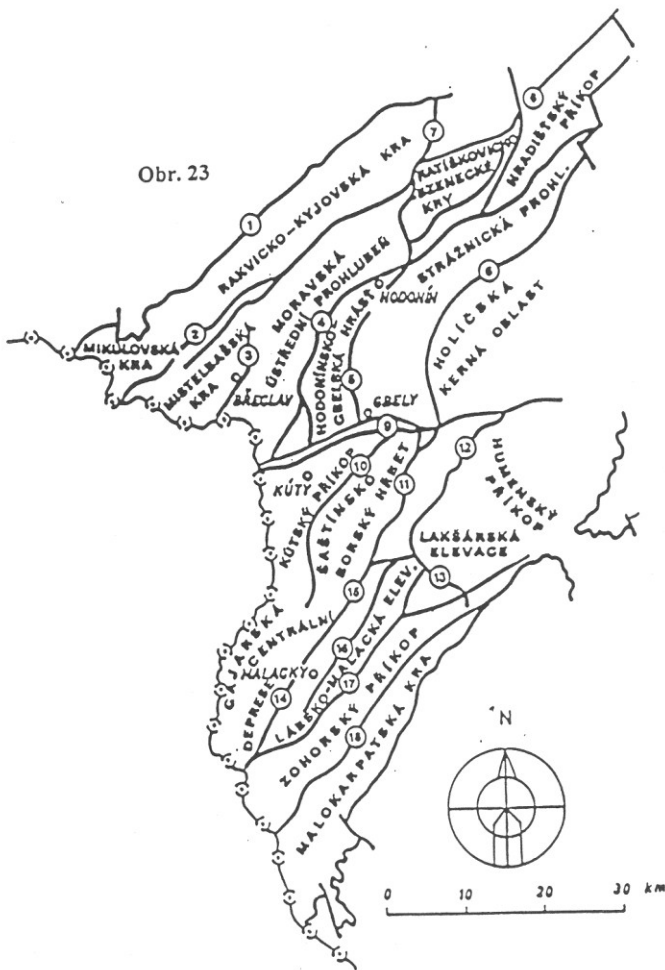
Litostratigrafické jednotky označeny čísly: 2 – valtické vrstvy, 5B – gbelské souvrství, 5A – dubňanské souvrství, 5 – bzenecké souvrství, 8 – břeclavské souvrství, 10 – hrušecké souvrství, 11 – žižkovské a sedlecké vrstvy, 12 – lanžhotské souvrství, 13 – závodské souvrství, 17 – úvalské souvrství.

(Čtyroký 1998)

### Tektonická mapa vídeňské pánve (hlavní zlomy, deprese, elevace) (upraveno podle Čajky 1977)



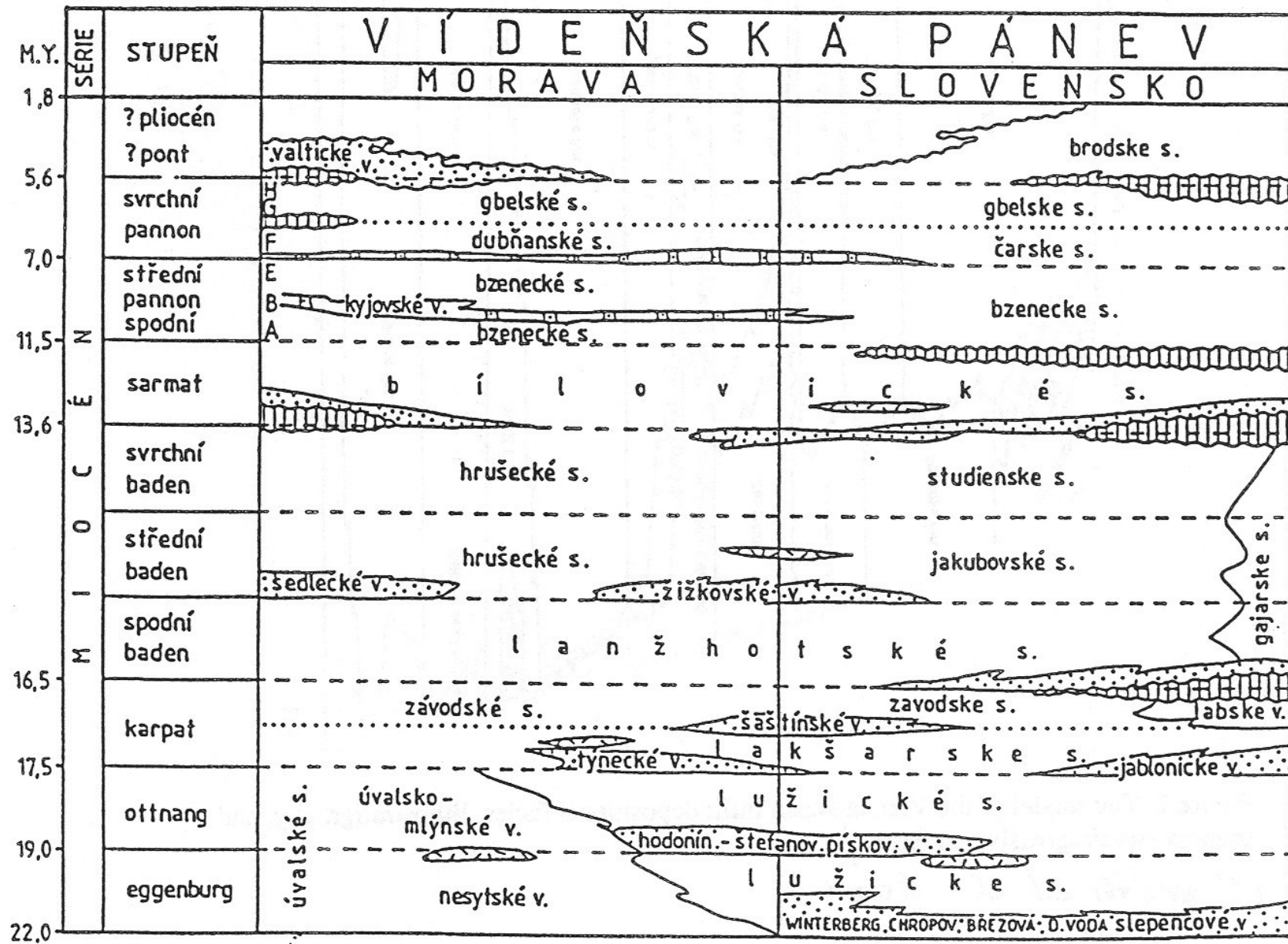
Obr. 23



Ve vídeňské pánvi jsou na obr.23 znázorněny zlomy uvedené odpovídajícími čísly v závorce:

a/ podélné: schrattenberský zlomový systém /2/, lanžhotsko-hrušecký systém /4/, zlomy polešovický /8/, koválovský /12/, jánský /svatojánský/ /10/, medlovický, syrovinský, lidéřovický, strážnicko-petrovický a skalický /6/, bulharský /1/, steinberský /3/, lábský /též lábsko-plavecký/ /17/ a lužický, hodonínsko-gbelinský /5/, rohožnický /též malacký/ /16/, litavský /též okrajový malokarpatský/ /18/, šaštinský /15/, jehož součástí je jakubovský zlom /14/ a zlomy studienské, dubnický zlom, brezovský /mikulášovsko-brezovský zlom/, jablonický zlom,

b/ přičné: SZ-JV: hlucký, napajedelský, buchloviceký, laskárský /13/, podivínské zlomy, tomecký. Směr S-J má zlom ježovský /7/, v jižní části označovaný též hodonínsko-gbelinský a Z-V zlomový systém farský /9/.



Obr. 2. Korelace neogenních lithostratigrafických jednotek moravské a slovenské části vídeňské pánve (stav podle ČTYROKÉHO, březen 1998b).

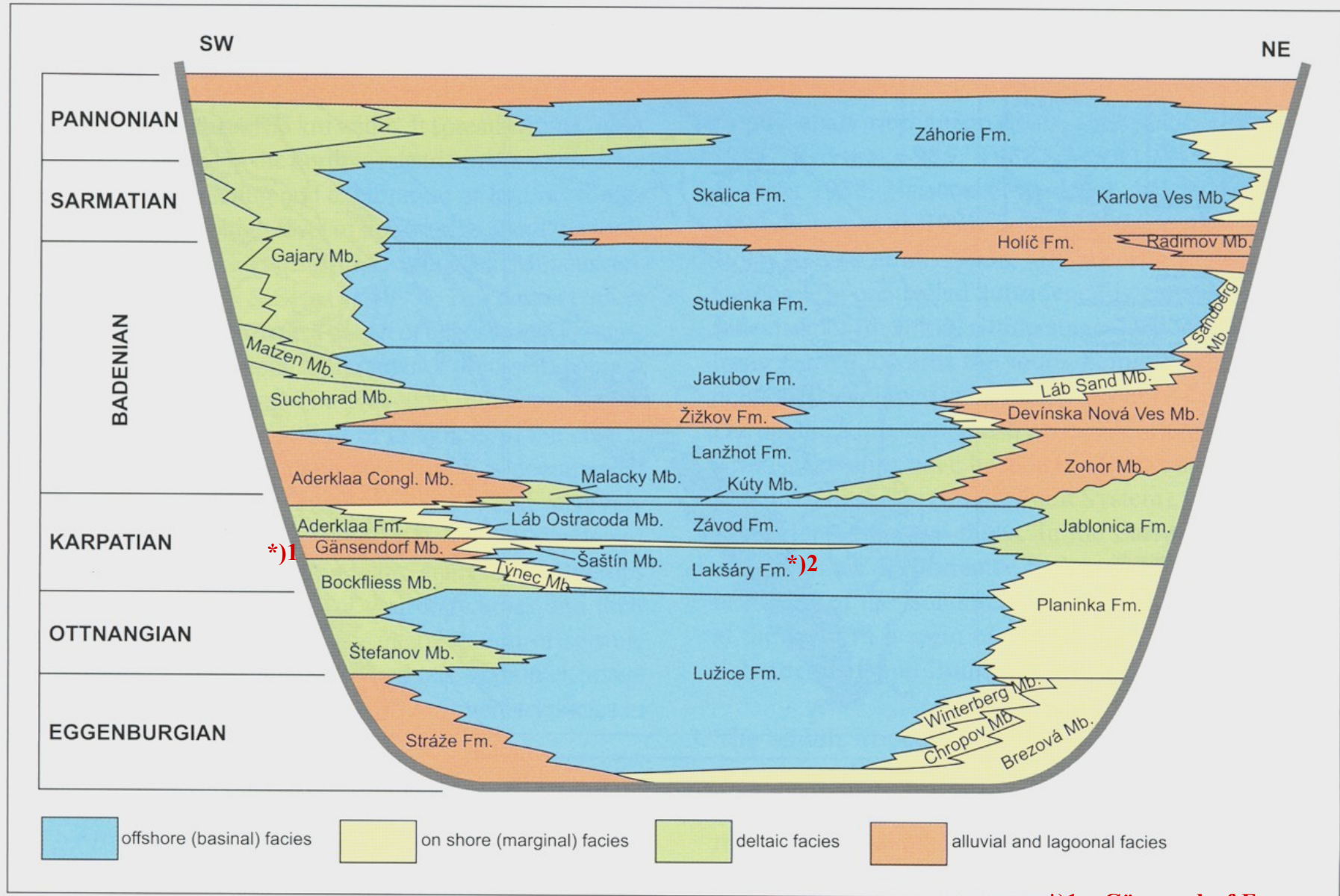
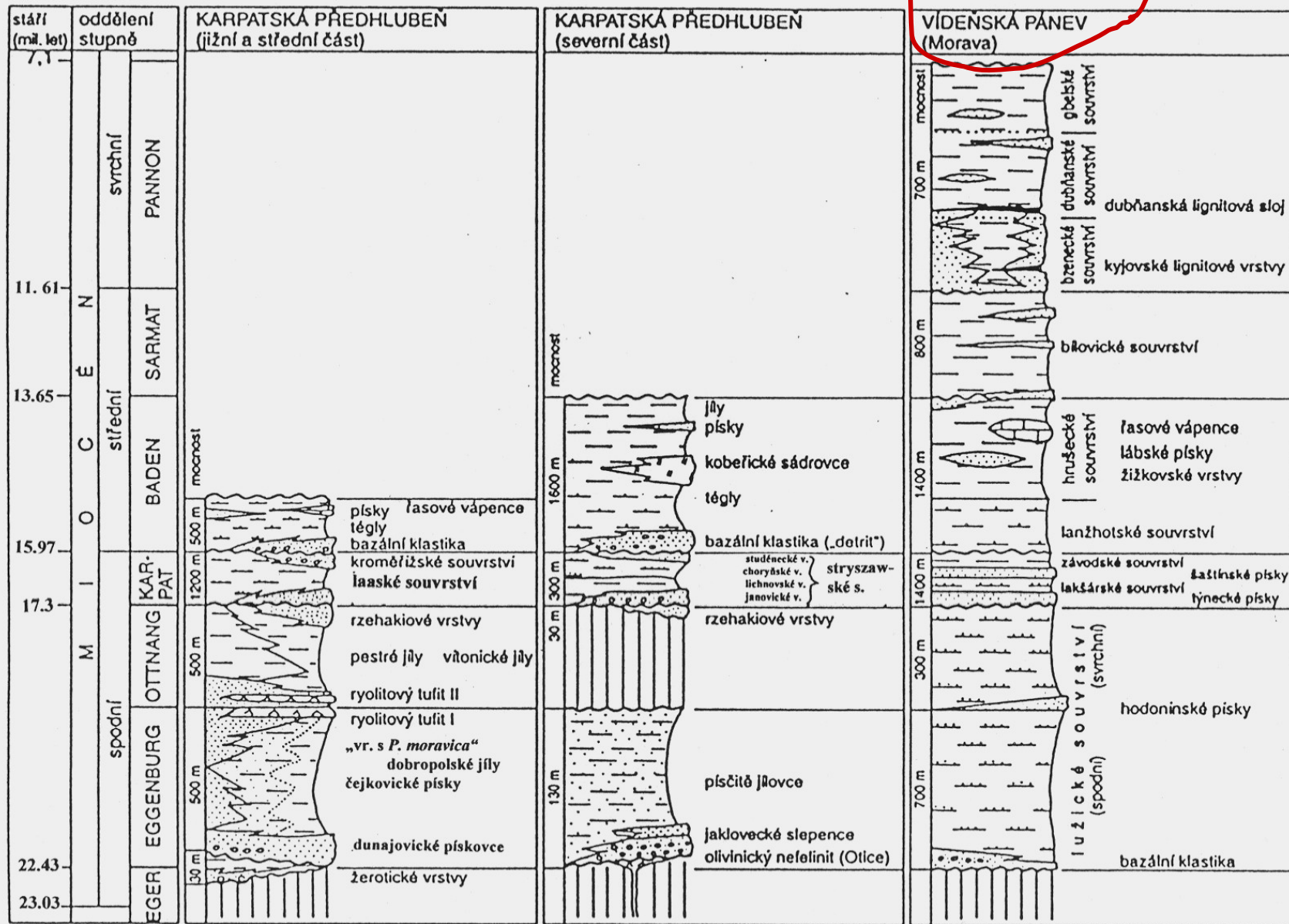


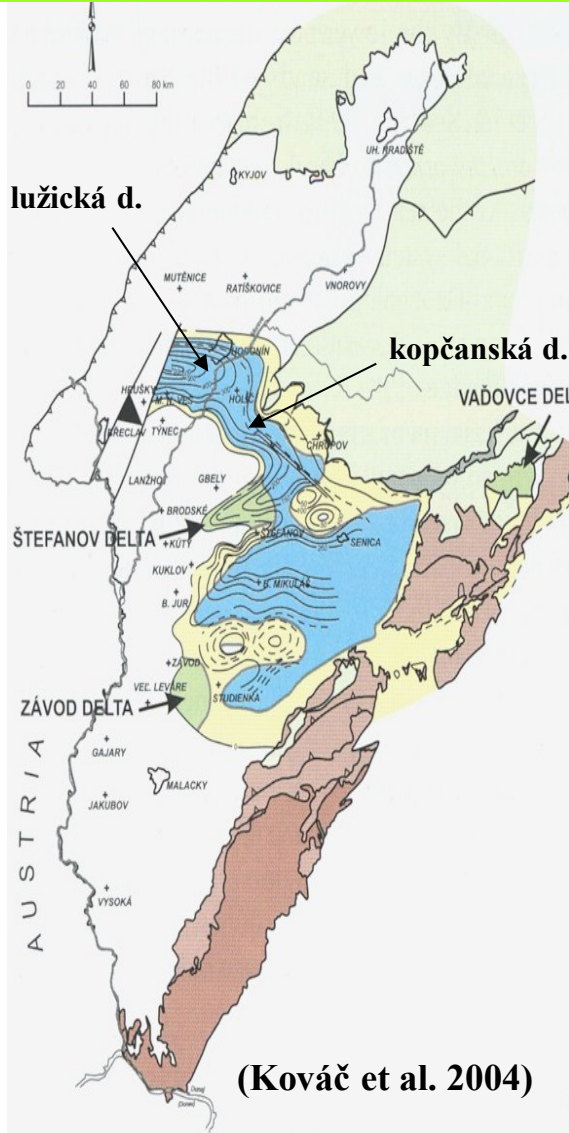
Fig. 3: Depositional systems of the Vienna Basin (modified after Baráth et al. 2001).

Pozn.: správně - \*)1 = Gänserndorf Fm.  
\*)2 = Lakšárska Nova Ves Fm.

Obr. 247. Stratigrafické schéma neogénu karpatské předhůrské výdělenské pánve na Moravě (R. Brzobohatý, orig.).



# eggenburg –“spodní lužické vrstvy“



(Kováč et al. 2004)

## NEOGENE:

- littoral
- deltaic
- neritic
- non-depositional area

- nappes boundaries
- thickness of sediments
- fault zone
- present erosive boundary
- transport direction

Eggenburg nasedá v s. části páne transgresívě na flyšové příkrovové bradlové pásmo a centrálně karpatské mezozoikum

Nejprve osypy a sutě v depresích a svazích (tzv. **strážovské** s., slepence a pískovce mat. podložních hornin), poté mořská transgrese (mělkovodní facie s velkými pektény a další mělkovodní faunou)

Transgresívni okrajové facie velmi různorodé:

Na Slovensku (od podloží nahoru):

**winterberské v.** – slep./brekcie < dolomity a vápence mezozoika (*P. hornensis*, *P. pseudobeudanti*, *A. scabrellus*, *O. gigas*)

**chropovské v.** – jzr. slep./hrz.písk. < valouny flyše

**brezovské v.** – karbonatické slep./písk. <valouny jury a triasu

Na Moravě:

**nesytské v.** – Na v. úpatí ždánické jednotky, šedozelené, vápnité a nevápnité jílovce, prachovité jíly, prachovce (300 m, transgresívni na žd.-hust. s.) s pteropody *Clio triplicata*. Forams typická pro eggenburg. Nadložní vrstvy **úvalsko -mlýnské** (max. 200 m, vrstevnaté jíly s tufity, chudá fauna, mohou ve vyšší části odpovídat i ottnangu).

Vývoje winterberské přecházejí do mořských pelitických sedimentů.

Na Moravě eggenburg ve dvou depresích: lužická (V-Z) a kopčanská (SZ-JV, tvoří rameno přecházející do štefanovské deprese na Slovensku), výplň vedle bazálních klastik = spodní část **lužického souvrství** („sp. luž. vrstvy“) = vápnité jílovce s typickou šlírovou laminací, mikrofauna hlubšího neritika až sv. batýalu (*Cyclammina praecancellata*, *Bathysiphon filiformis*, studené živinami bohaté vody), mocnost až 600 m, *Discoaster drugii* = NN 2

Kováč et al. (2004) – sekvenční stratigrafie:

**VB1 cyklus:** SB1 – preneogén/sp. miocén

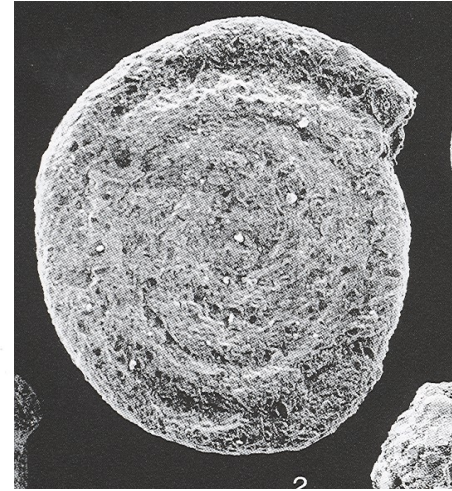
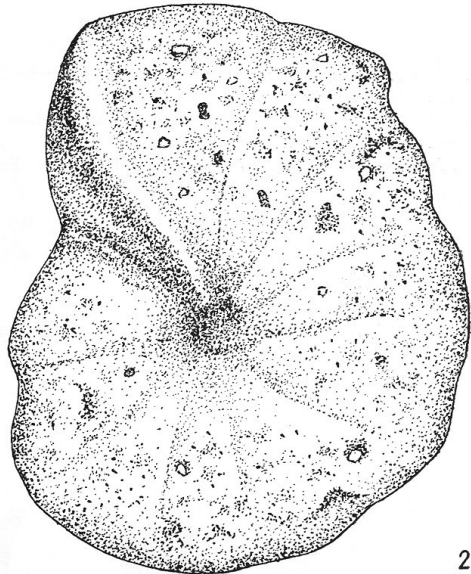
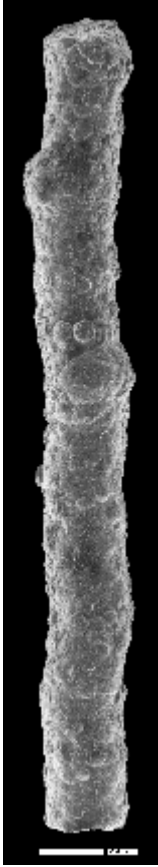
LST – strážovské s. (sutě, osypy, lakustrinní)

TST – transgr. mořské sedimenty s jemnými šelf. písky

mfs – šlíry ukládané v HST

=pánev s konfigurací poloostrovního typu s převládající detritickou sedimentací

V závěru eggenburgu se podloží pohybuje a mění svou konfiguraci, depocentrum na Moravě se posouvá k jihu do deprese mikulčické (mladá sávská fáze). Sedimenty eggenburgu později silně denudovány.



*Ammodiscus miocenicus* K.



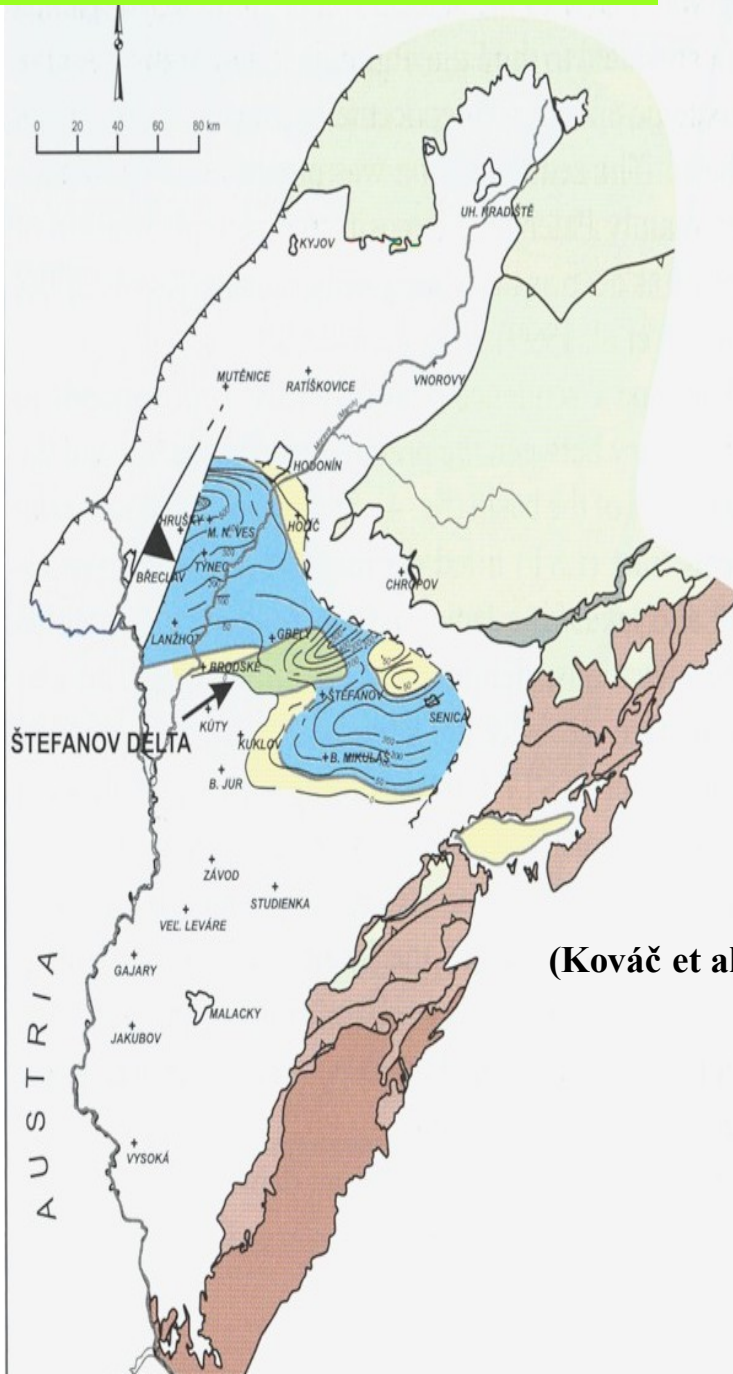
*Cyclammina praecancellata* Volosh.  
eggenburg, sp. lužické vrstvy  
(Cicha et al 1971)

*Bathysiphon filiformis* Saars  
(Foto Finger 2007)

Typické fosílie spodní části lužického souvrství  
(„*Bathysiphon-Cyclammina* šlír“)

*Bolivina beyrichi carinata* Hantk.  
olig. - eggenburg

## ottnang – „svrchní lužické vrstvy“



V ottnangu se paleogeografická situace příliš neliší. Lužická deprese ze změlčuje, prohlubuje se štefanovská d., kopčanská d. se rozšiřuje

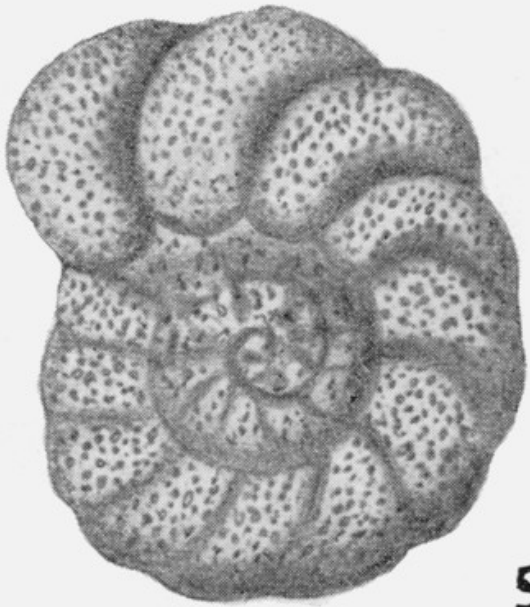
Změlčení egg/ott = **hodonínské** (jzr., vápnité, zpevněné) resp. **štěfanovské písky** (sut'ové jzr. slepence) => mírná diskordance egg/ott., následuje uložení svrchní části **lužického s.** (šedé, jemně písčité vrstevnaté jíly/ šlíry - drobný nanoplankton se *Sphenolithus belemnos* a *Helicosphaera ampliaperta* = NN3), mocnost až 600 m, forams: *Cibicidoides*, *Lenticulina*, *Uvigerina posthantkeni*, *Globigerina ottnangensis* => střední a mělká neritikum.

Koncem ottnangu postupné změlčování celé pánve a vyslavování (**staroštýrská fáze**, regrese). Mikrofauna se mění, marinní prvky mizí, nastupuje mikrofauna se *Silicoplacentina* a *Hypocrepinella*.

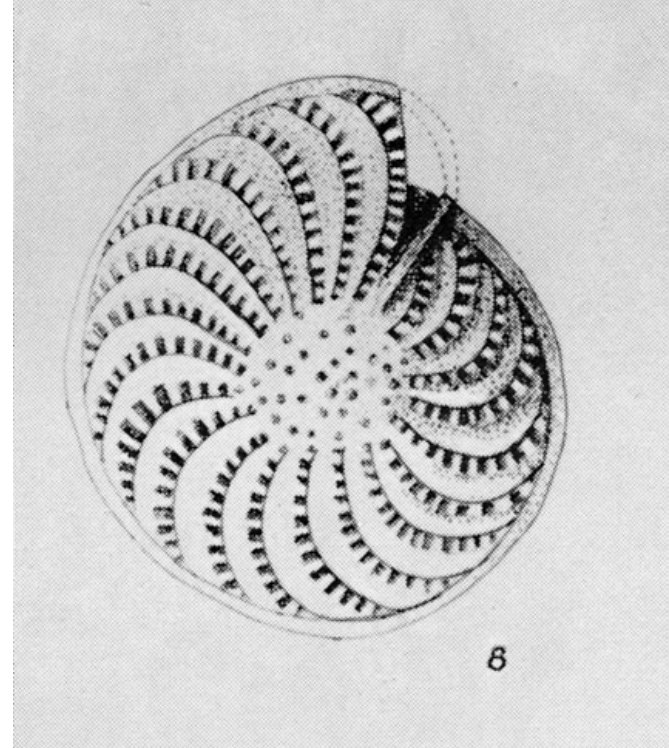
### Sekvenční stratigrafie, VB-2 cyklus:

- Egg/ott indikace poklesu mořské hladiny, ta není výrazná, eroze podloží je zřetelná jen na okrajích pánve, popř. na elevacích (= SB1 zřetelná) v depresích je sekvenční hranice konkordantní (= SB2 – nemá znaky subaerické eroze).
- LST = štefanovské p.- hodonínské p.
- TST = písky a jíly svrchní části lužického s., která vrcholí převážně pelitickou-šlírovou sedimentací v centrální části lužické oblasti se *Spirorutilus*, *Uvigerina* a *Lenticulina* = HST
- do nadloží pak dochází k zbrakičtění, ukládají se detritické fluviální sedimenty (v Rakousku tzv. Bockfliess Schichtenfolge) pokračující až do karpatu.

(Kováč et al. 2004)

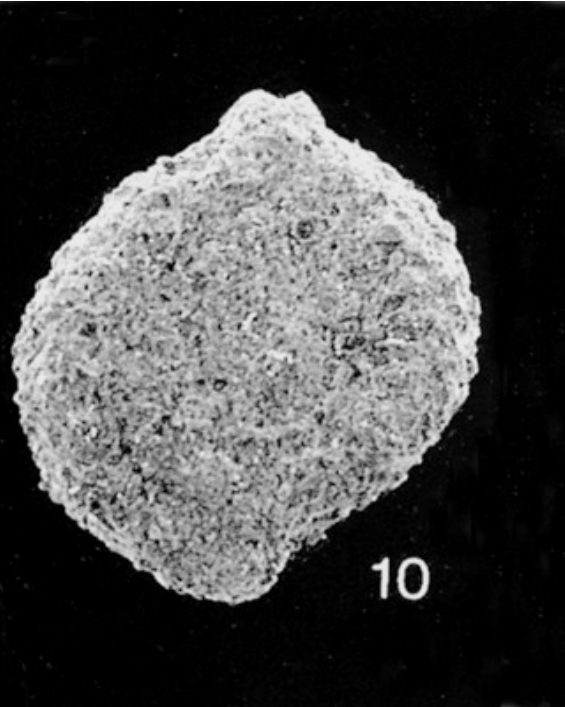


*Cibicidoides budayi* (C.-Zap.)  
ottnang, svr. lužické vrstvy  
(Cicha et al. 1971)

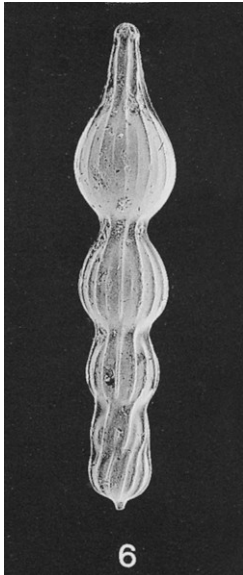


*Elphidium crispum* (L.)  
Vöslau, baden (Cicha et al. 1971)

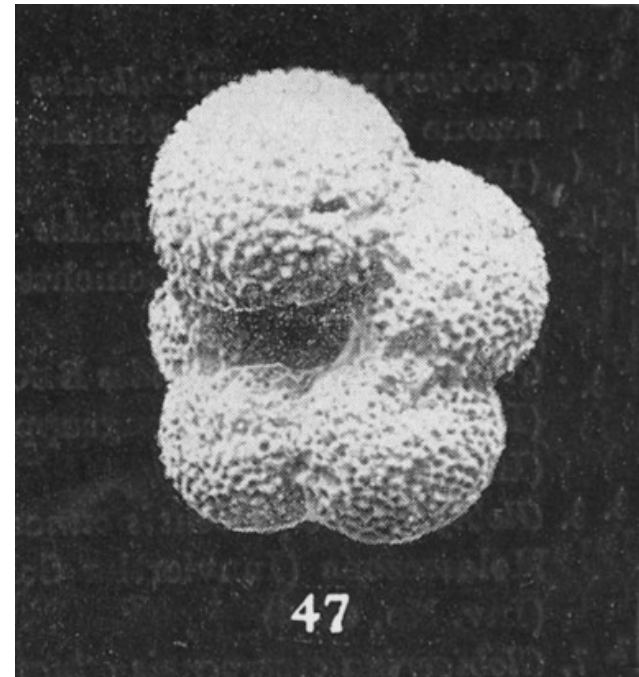
Typické fosílie svrchní části lužického souvrství („*Cibicides-Elphidium* šlír“), viz i následující obr.



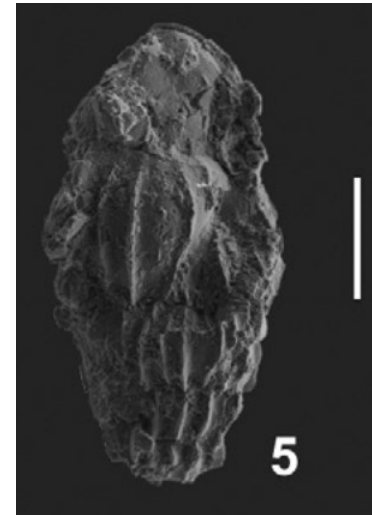
*Sigmoilopsis ottnangensis* C., Ct et Z.



*Amphicoryna ottnangensis* Toula  
ottnang



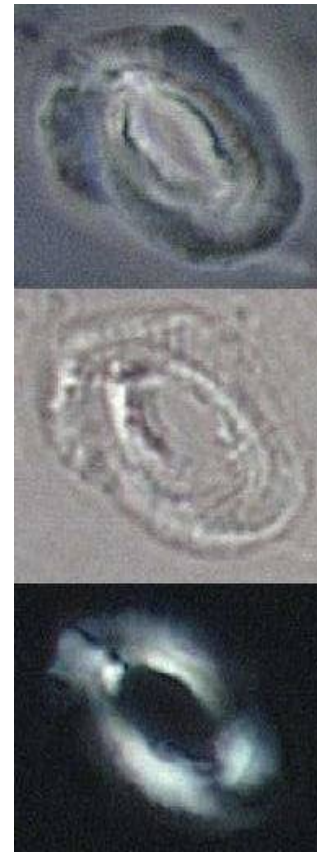
*Globigerina ciperoensis ottnangensis* Rögl  
Plesching bei Linz, ottnang (Cicha et al. 1973)



*Uvigerina posthantkeni* Papp  
ottnang



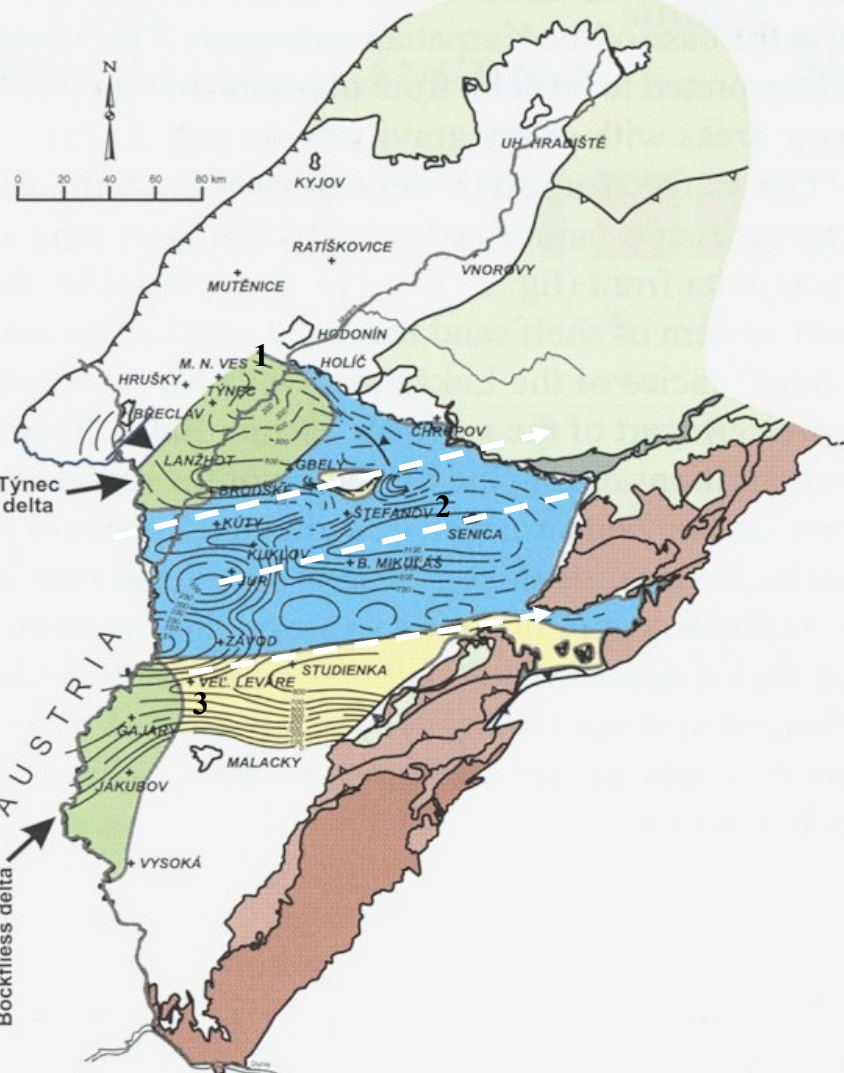
*Sphenolithus belemnos*,  
typická nannofosílie  
NN3 zóny  
(foto Crystal Calcite Palace 2007)



*Helicosphaera ampliaperta*  
(sp.-stř. miocén)  
(podle The Calcite Palace 1999)

# karpat – nižší část

## N - LAKŠÁRY FORMATION



**Karpat** – po krátkém hiátu – sedimentace bazálních klastik – **týnecké písky** (až 600 m, šedé, jemně až hrubě zrnité vápnitě písky s písčitými vápnitými jíly, hojně zuhelnatělé zbytky rostlin, mělkovodní mikrofauna: *Elphidium*, *Nonion* etc. = deltová sedimentace). V nadloží a směrem do pánve nastupuje **lakšárskonovoveské** s. (šlíry s *Cyclammina karpatica*, *Bathysiphon filiformis*, *Sphenolithus heteromorphus* =NN4)

Pánev rozdělena strukturami protaženými SV-JZ směrem. Od SZ to jsou:  
-lužická deprese (postupně se zvedá a zaniká) -1  
- spannberský hřbet  
-senická deprese -2  
- závodsko-lakšářský hřbet  
-levářská deprese -3  
- lábsko-malacký hřbet

Nižší část karpatské výplně pánve zastupuje **VB3 cyklus**:

- TST – transgresivní šelfové **týnecké písky**,
- HST - záplava **bockfliesského** tělesa **lakšárskonovoveským** s. na jihu,
- regrese zastoupená **gänserndorfským členem** (aluviální klastika), který prstovitě přechází do **šaštínských písků** směrem k severu. Vyskytuje se na Moravě v okolí Hrušek (cca 100 m, petromiktní zpevněné písky s jílovitokarbonátovým pojivem). Mikrofauna s *Ammonia beccarii* a *Nonion subgranosum* signalizuje brakické prostředí a změlení sedimentace.

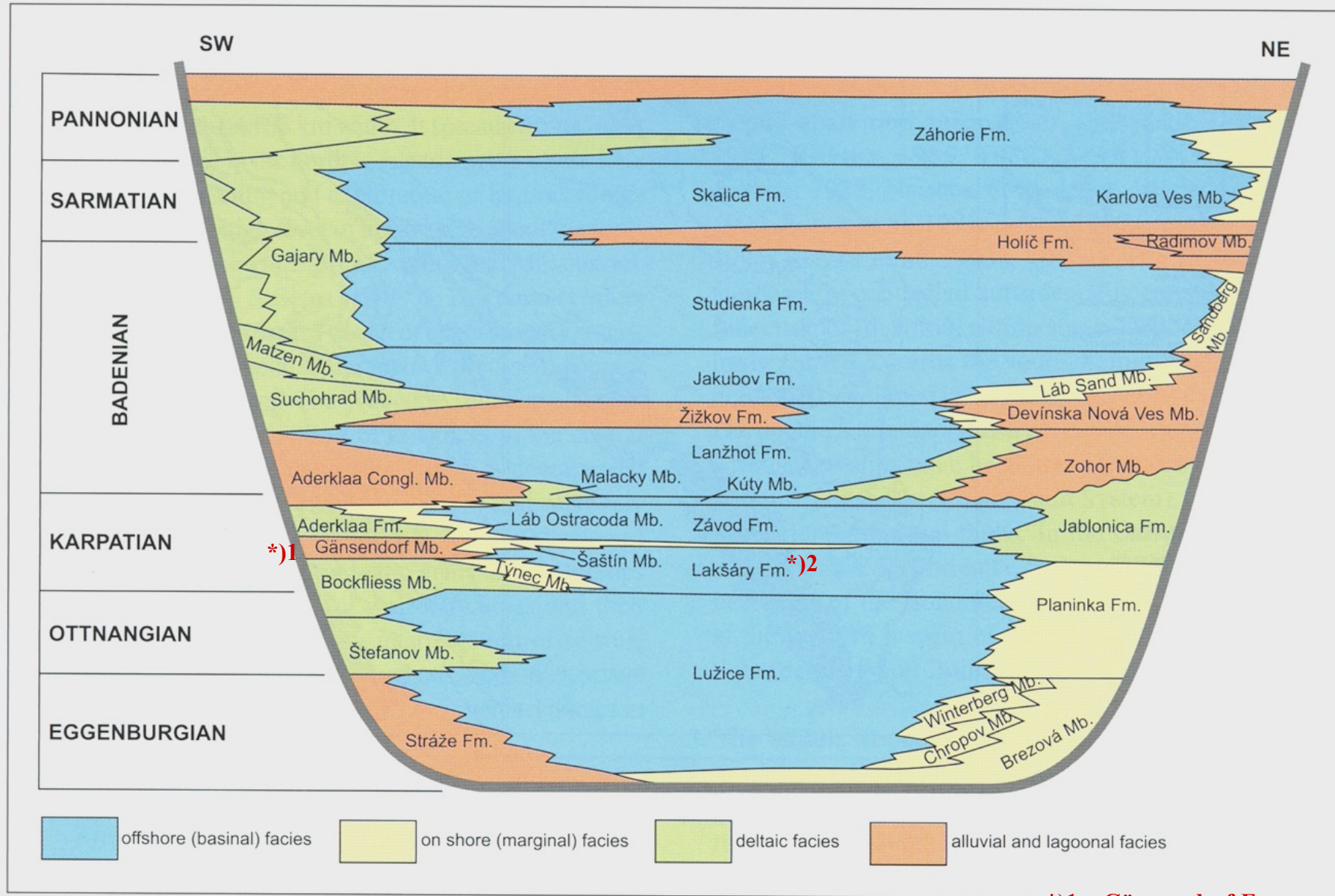


Fig. 3: Depositional systems of the Vienna Basin (modified after Baráth et al. 2001).

Pozn.: správně - \*)1 = Gänserndorf Fm.  
\*)2 = Lakšárska Nova Ves Fm.

## Karpaty – vyšší část

TUAN - ZÁVOD FORMATION  
"ŠAŠTÍN SANDS" Mb.

Koncem karpatu nastupuje nový cyklus VB4:

Začíná zaplavením a překrytím šaštínských písků – LST, v pánevní oblasti pak sedimentací závodského s. – TST/HST.

V závodském s. převažují pelity s asociací zakrnělých foraminifer signalizující kolísavé podmínky mělkého moře s proměnlivou salinitou.

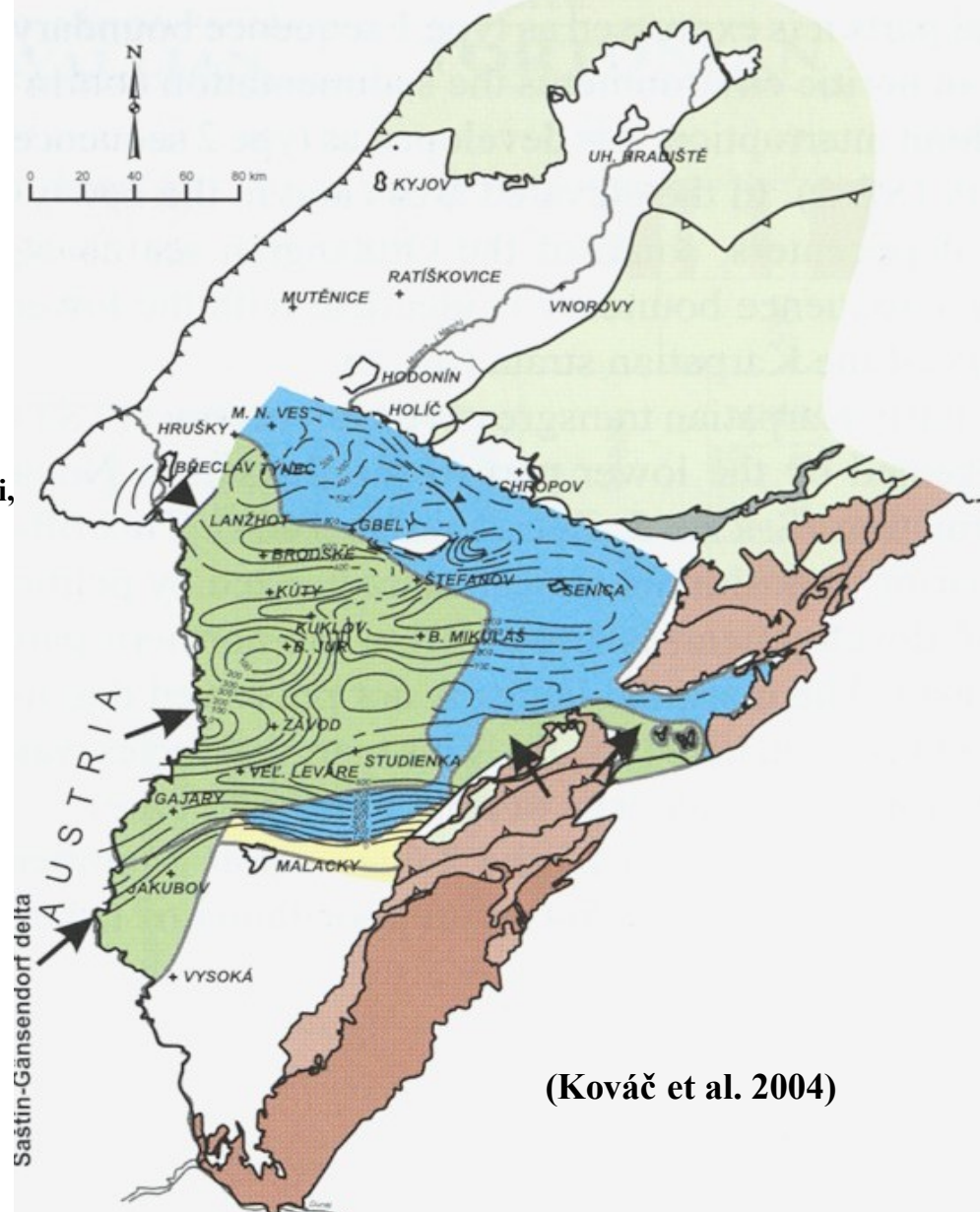
Výše se ukládá v Rakousku aderklaaské s. v lagunově deltové prostředí. Jeho ekvivalentem jsou lábské v. („ostrakodové“, zelenavé, šedé dobře zvrstvené slídnaté prachovité pelity s vložkami pískovců, mocnost až 100m, bohatá společenstva s *Cytheridea muelleri*, nejlépe vyvinuty v oblasti Lábu, Malacek a Gajar), a na Slovensku na úpatí Malých Karpat jablonické s. (slepence s pískovci, až 500 m mocnost, jejich sedimentace pokračuje ještě ve spodním badenu).

Tato sukcese má ráz bariérově lagunárního a estuáriového transgresivního depozičního systému.

Sedimentaci v pánevní facii (oblast Lanžhotu, Kostic) završují kútské v. (fialově a rudě skvrnité, jemně písčité vápnité jíly s anhydritem – hypersalinní prostředí).

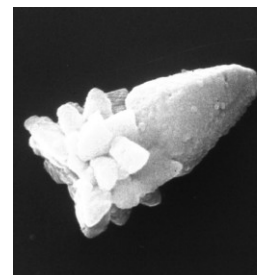
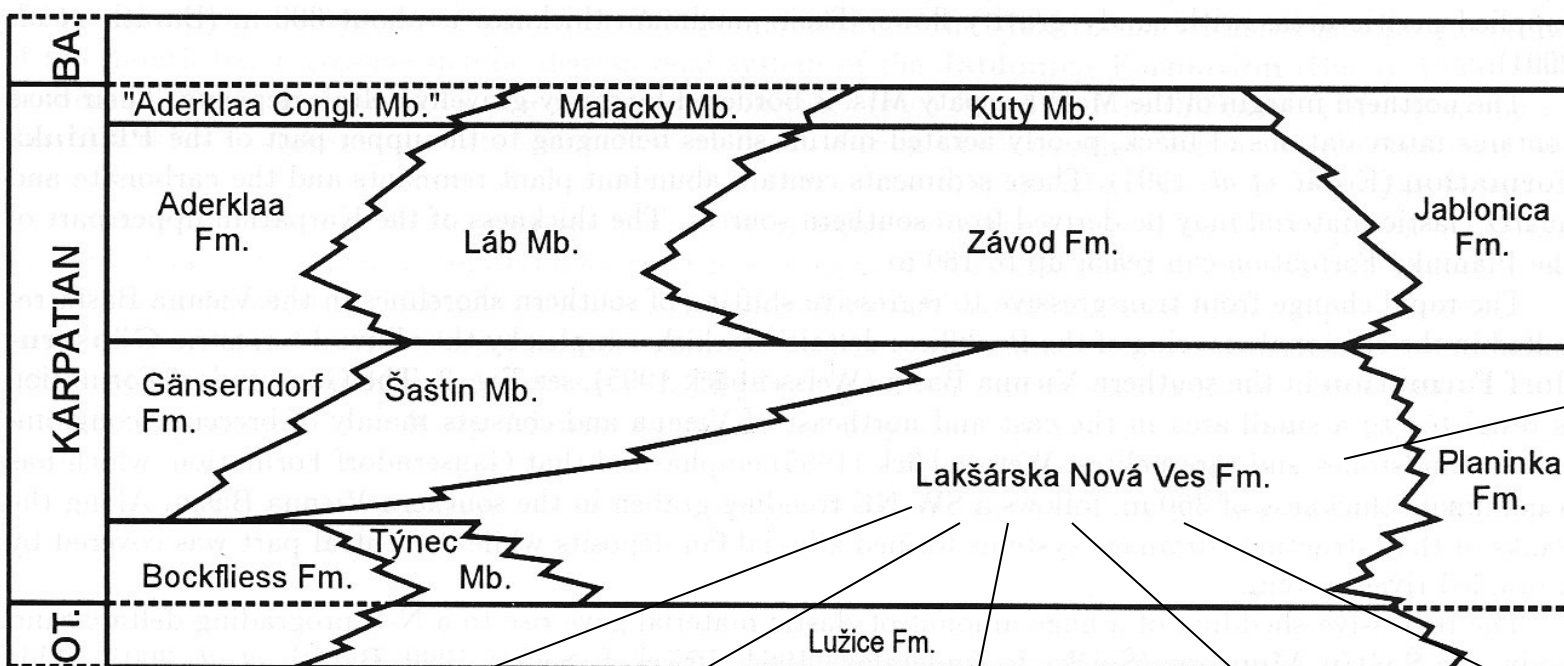
Během karpatu a především v jeho závěru intenzivně fungují levostranné horizontální posuny a otevírá se současná vídeňská pánev. Depocentra se pak v badenu přesouvají na jih (Rakousko), severní část je vyzdvižena, denudace eliminuje značné mocnosti spodnomiocenních sedimentů (~ 2 000 m).

Od badenu už hráje určující roli zlomová tektonika v kombinaci poklesů a horizontálních posunů („thin skinned pull apart basin“).



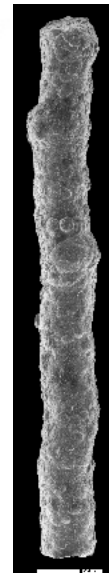
SW

NE

*S. heteromorphus*

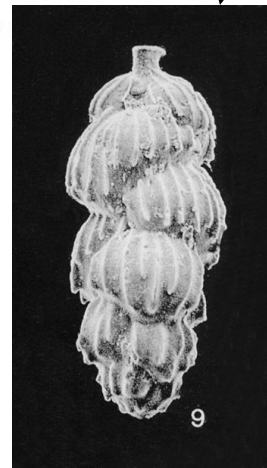
5

*Reticulophragmium venezuelanum*  
C. et Z., karpat (Cicha et al. 1998)



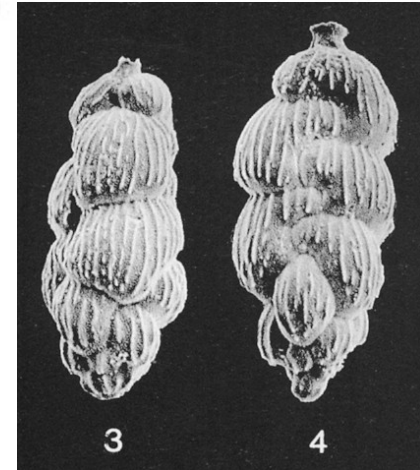
Litostratigrafie karpatu Vp  
(Baráth 2003) a typické  
fosílie

*Bathysiphon filiformis*  
Saars (Foto Finger 2007)



*Uvigerina*  
*graciliformis*  
P. et T.  
<karpat

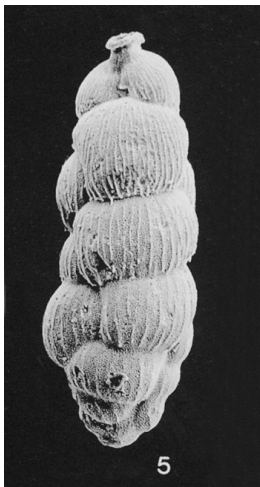
9



*Pappina primiformis* (Papp et Turn.)  
eggenburg - karpat

3

4

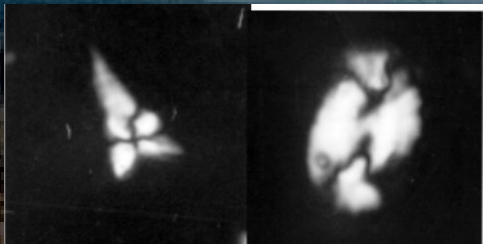


5

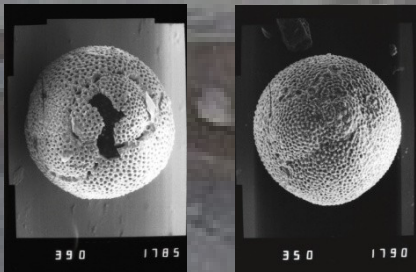
*Pappina breviformis*  
(P. et T.), ottnang-karpat

# BADEN

Během badenu – epikontinentální moře, četné +- oddělené pánve (depocentra), ostrovy a pooloostrovy. Před čelem příkrovů předhlubně, v zápolí „back arc basins“, Hloubka moře se během ba zmenšuje, CP se rozrůžňuje. V závěru ba přibývá obecně deltových facií



*Sphenolithus heteromorphus*  
*Helicosphaera waltrans*

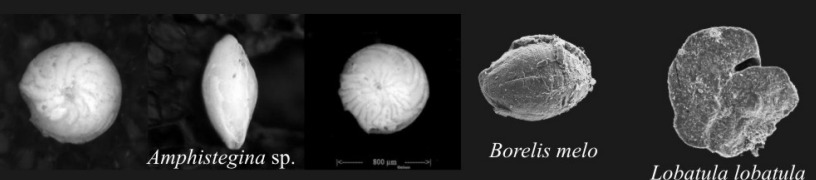


*Praeorbulina circularis*  
*Orbulina suturalis*

## Shallow water deltaic association



## Algal reef association

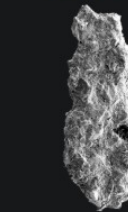


*Budashevaella willsoni*



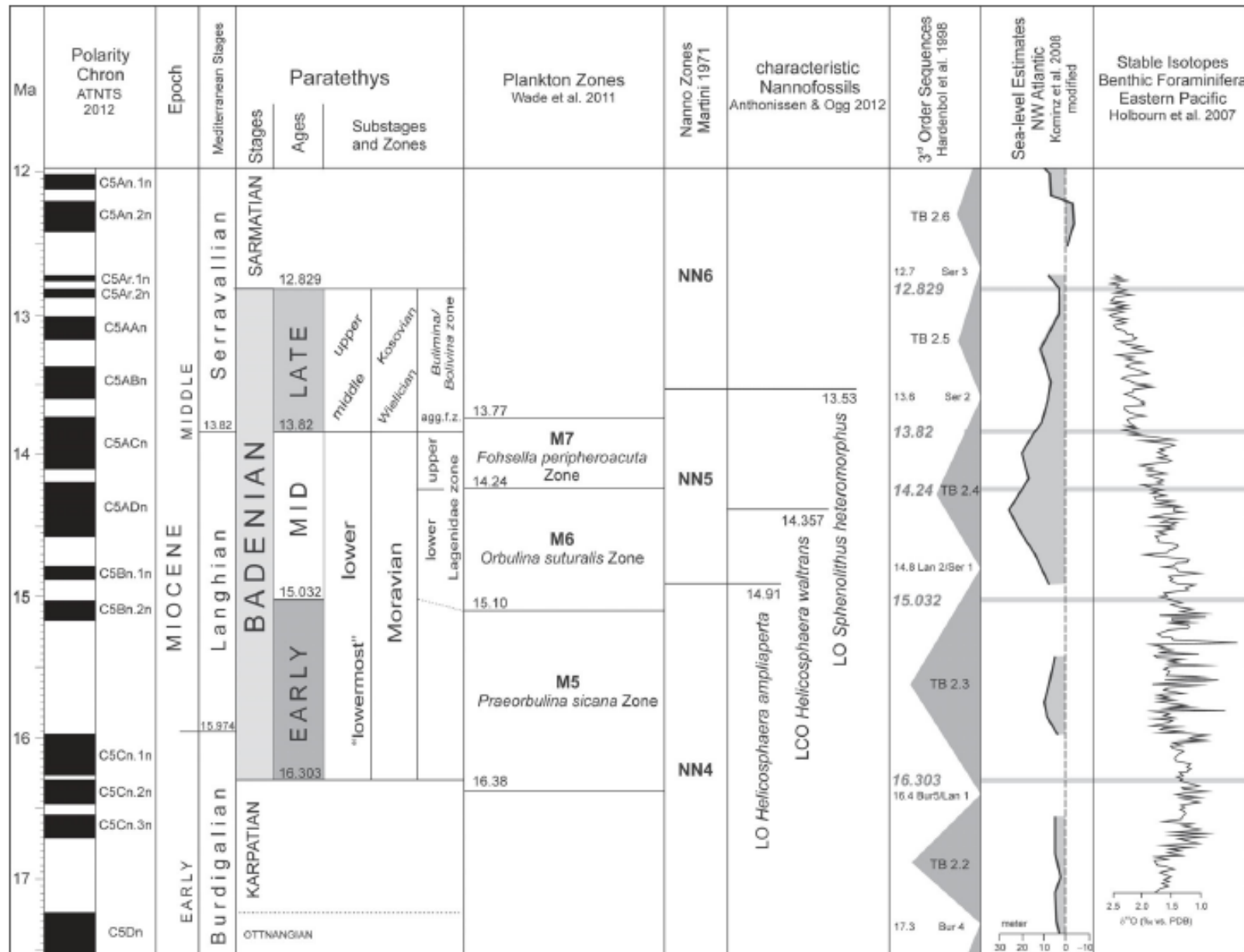
*Bulimina elongata*

*Spirorutilus carinatus*



*Reophax nodulosa* *Spirorutilus carinatus*

## Deeper water (mostly agglutinated) foraminiferal association



Hohenegger et al. (2014) – návrh na revizi členění badenu Centrální Paratethydy

# VIENNA BASIN AND MOLASSE FOREDEEP PALEOGEOGRAPHIC MAP WITH ISOPACHS

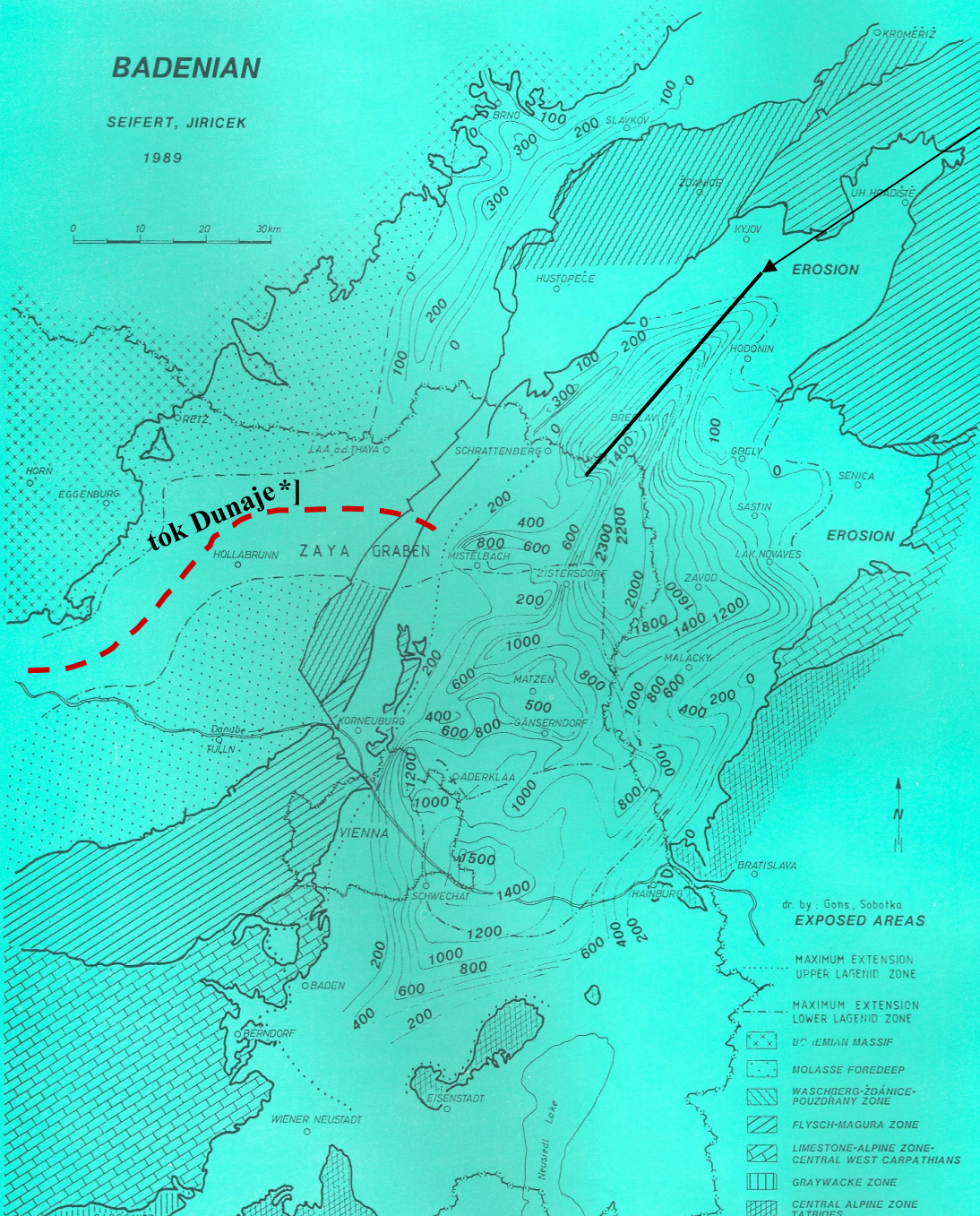
baden

**BADENIAN**

SEIFERT, JIRICEK

1989

0 10 20 30 km



Baden – na počátku badenu zřetelný pokles podél **steinberského zlomu** = na v. kru mořská transgrese, postupuje z J k S (viz otevřený slovinský koridor), i Vp je hlubší na J a mělčí na S.

Ekostratigraficky lze dělit baden Vp podle Grilla (1942) na zóny (šipka = odspodu nahoru):

**bulimino -bolivinová** s převahou foraminifer rodů *Bolivina* a *Bulimina* v mělčích faciích s velmi hojnými zástupci rodu *Ammonia* = **svrchní baden**

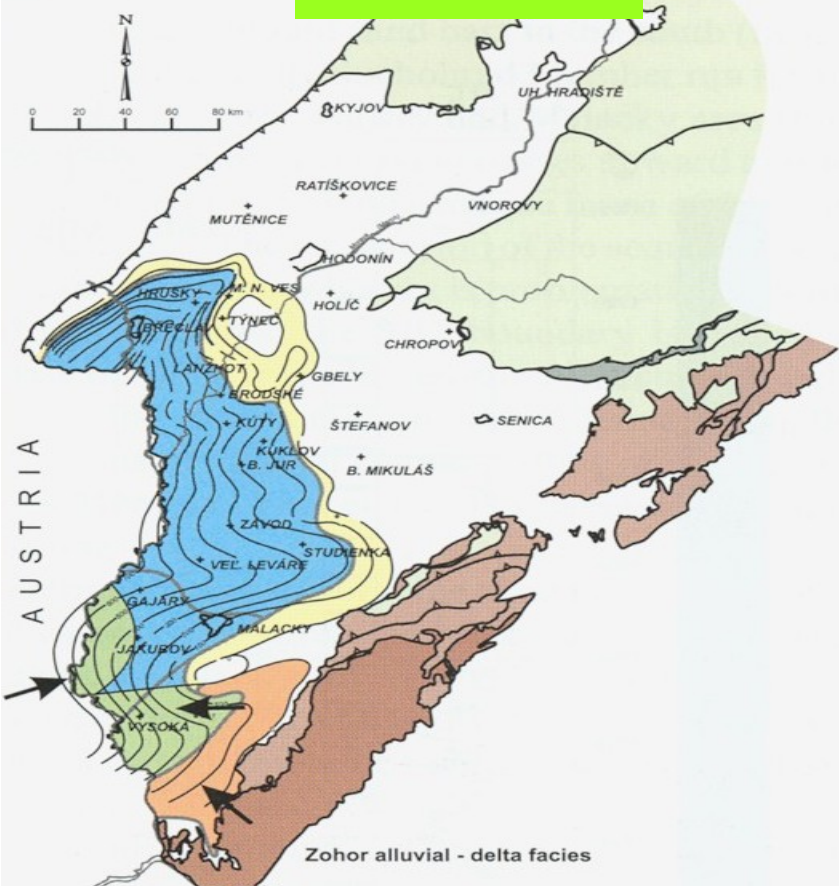
**aglutinancí** (též zóna *Spirorutilus carinatus*), v hlubších faciích s převahou aglutinovaných forams = cca **svrchní baden**

**lagenidová** (spodní a svrchní), převaha foraminifer čeledi Lagenidae = cca **střední baden**

Toto členění je tradiční a je běžně používáno v CP i pro oblasti mimo Vp (podunajská p., karpatská předhlubeň, slovenské pánve etc.)

\*] Pozn.: v pannonské oblasti lze tok Dunaje doložit až od sarmatu (~ 9 Ma)

## nižší střední baden



(Kováč et al. 2004)

Hlavní součást výplně nižšího badenu tvorí **lanžhotské souvrství**:  
Šedé, šedozeLENÉ vápnité jíly („tégly“) s bohatou mikrofaunou  
Stratigraficky významné druhy foraminifer:

*Bolivina dilatata*



*Semivulvulina kollmani*



*Orbulina suturalis, Uvigerina macrocarinata*

*S. kollmani*

*B. dilatata*

*Globigerinoides trilobus*

Podle nich lze uvnitř pánve korelovat jednotlivé úrovně lanžhotského

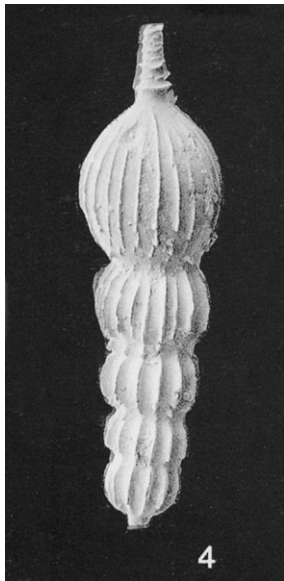
Nanoplankton: *Sphenolithus heteromorphus, Helicosphaera waltrans* (NN 5 a)

Během sedimentace se pánev postupně změlčuje (překotné zaplňování, fungovat však začínají i další zlomy (lanžhotsko-lužický, a schrattenberský), nastupuje tvorba ústřední moravské deprese (viz dále )

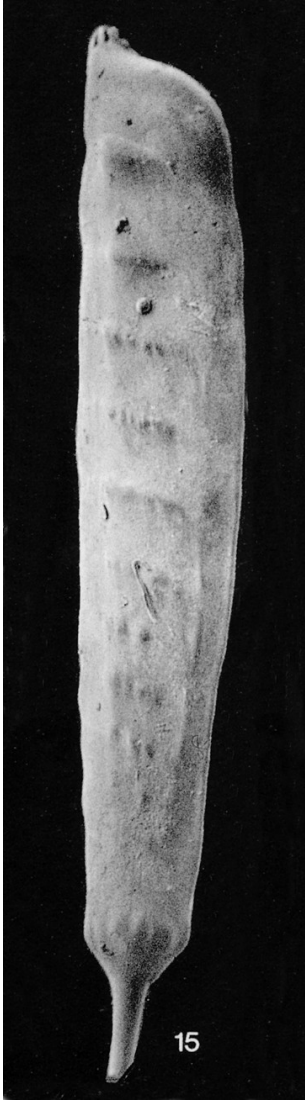
V nejvyšším karpatu a časném badenu se odehrál cyklus **VB 5** (NN4-stř. část NN5):

SB1 = hranice ka/ba (intenzivní denudace sedimentů karpatu),

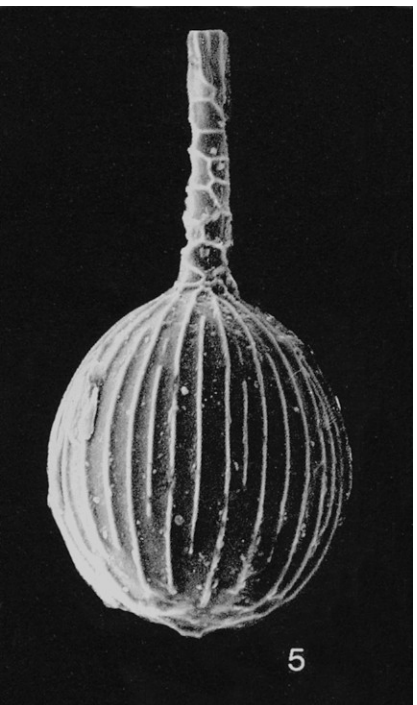
TST = lanžhotské souvrství dosahující ve vyšší části HST a tendující k postupnému změlčování vlivem vyplňování pánve



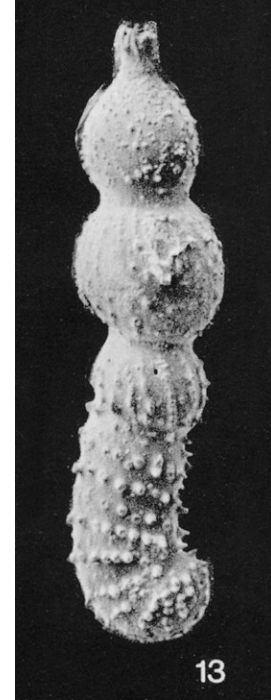
*Amphicoryna badenensis* (d'Orb.)



*Vaginulina legumen* (Linne)

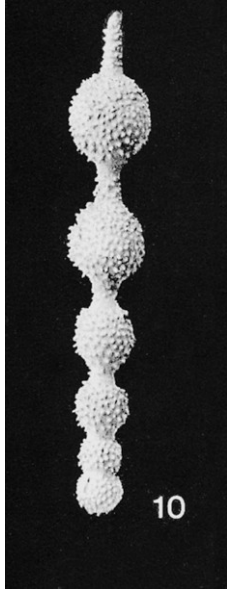


*Lagena striata* (d'Orb.)



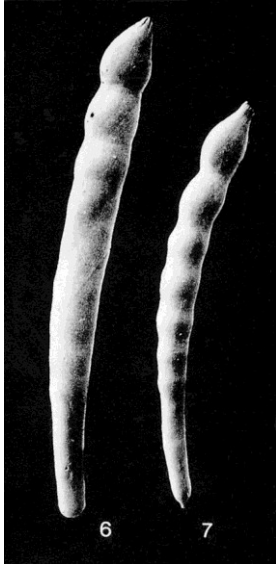
*Marginulina hirsuta* d'Orb.

Typičtí zástupci společenstev lagenidové zóny



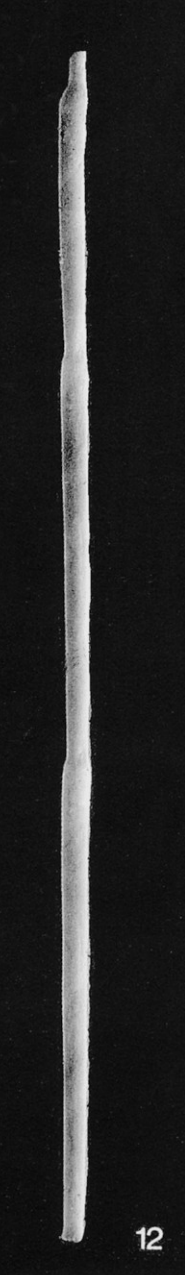
10

*Nodosaria hispida* Soldani

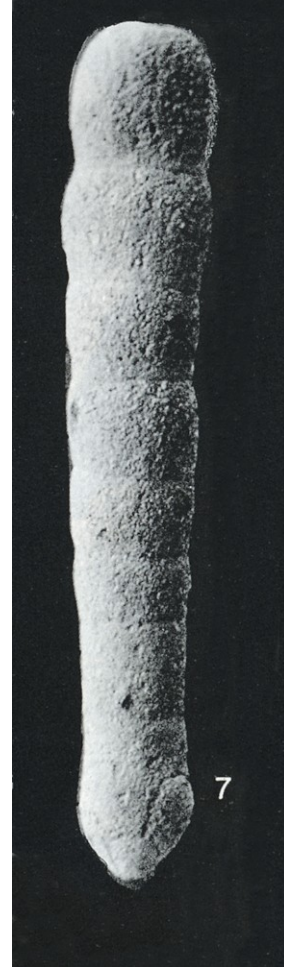


*Laevidentalina elegans*  
(d'Orb.)

*Neugeborina longiscata* (d'Orb.)

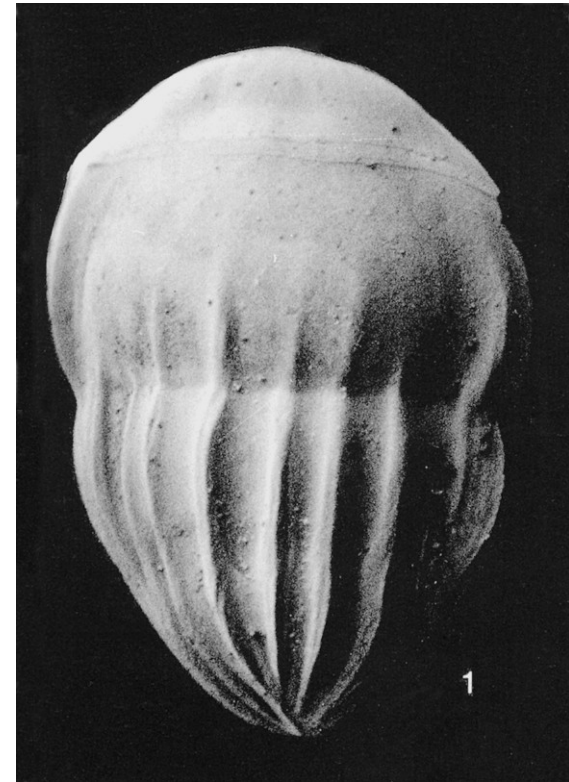


12



7

*Martinotiella communis*  
(d'Orb.)



1

*Lingulina costata* d'Orb.  
morav

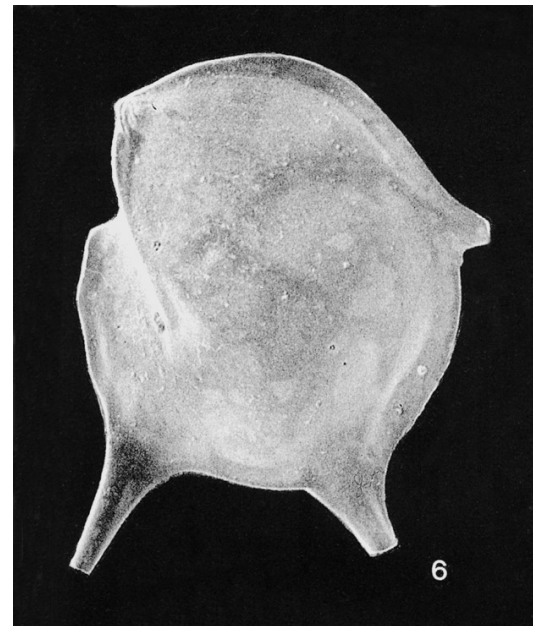
Dtto



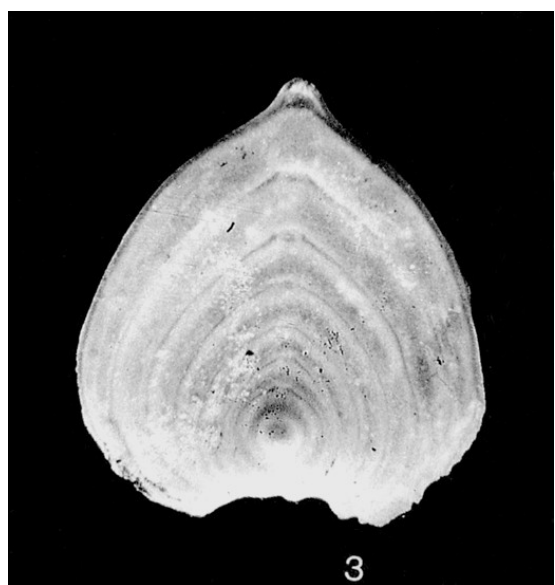
*Lenticulina echinata* (Soldani)  
morav



*Lenticulina vortex* (F. et M.)



*Lenticulina calcar* (Linne)



*Frondicularia annularis* d'Orb.  
morav



*Lenticulina inornata*  
(d'Orb.)

Dtto

## svrchní baden

vrchňí baden zastupují ve spodní části **žižkovské vrstvy** pestré, brackické, šedé, zelenošedé, pestře skvrnité vápnité jíly, se zakrnělými foraminiferami, vyplňují moravskou střední prohlubeň, později se rozšiřují i do okolí, ~ 1200 m).

Na v. úpatí ždánické jednotky jsou jejich ekvivalentem **vedlecké v.** (kužel mořských klastik uložený podél okrajových domů, štěrky – valouny magurských jílovčů až 70 %, dále pz a mz vápenců, metamorfika a granitoidy), na V okraji úpatí jim odpovídá **děvínskonovoveský člen**.

Nadloží žižkovských v. tvoří místy **lábské píska** a výše pak pelity spodní části **hrušeckého souvrství** (šedé, zelenošedé vápnité jíly, dominuje *Spirorutilus carinatus* Grillova zóna aglutinancí).

Janoplankton: *Sphenolithus heteromorphus*, *Discoaster exilis*, *Telicosphaera walbersdorfensis* – NN5c

Na elevacích místy biostromy (10-30 m)

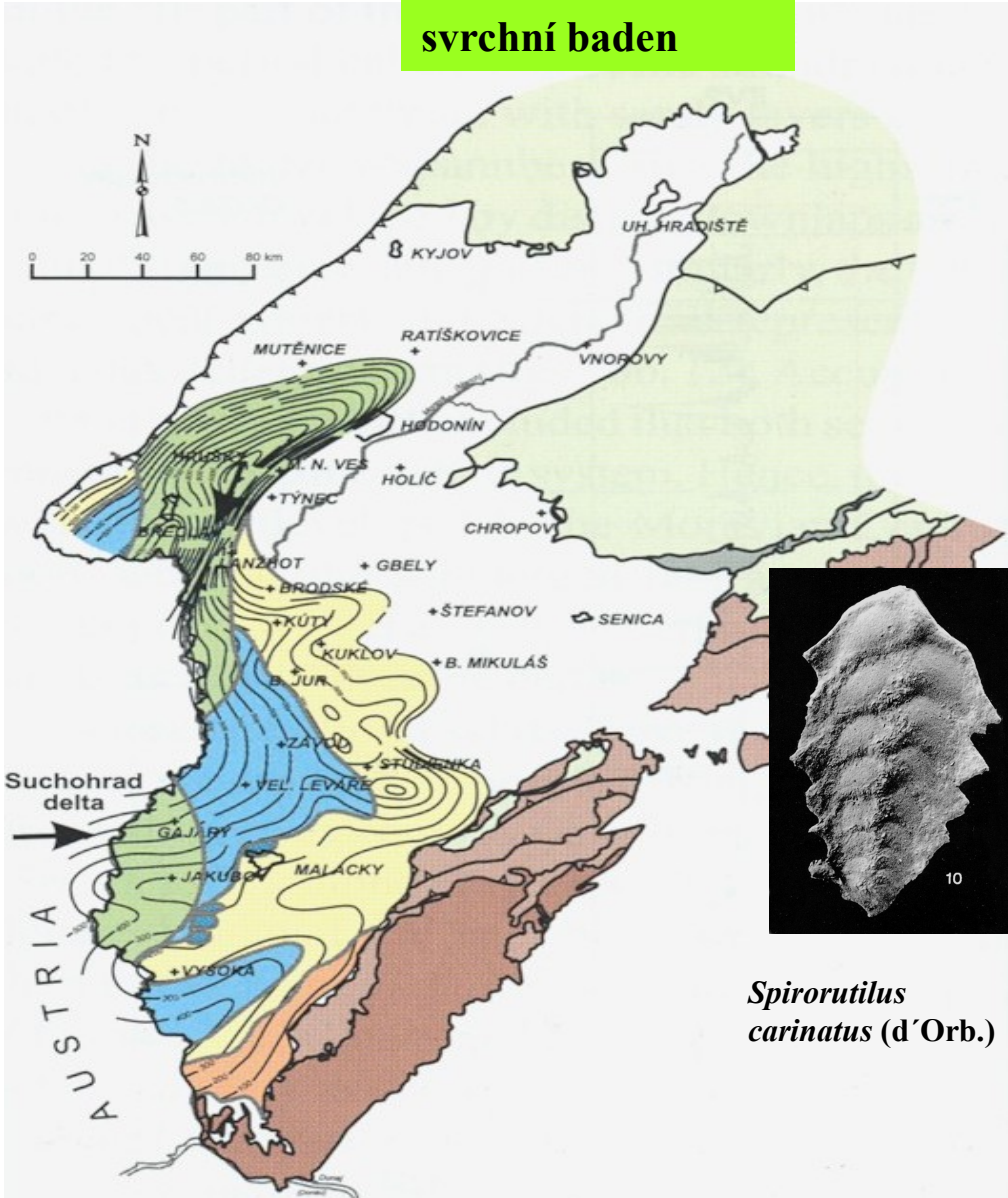
Cyklus **VB 6** tedy zahrnuje:

B1 – mezi stř. a sv. ba,

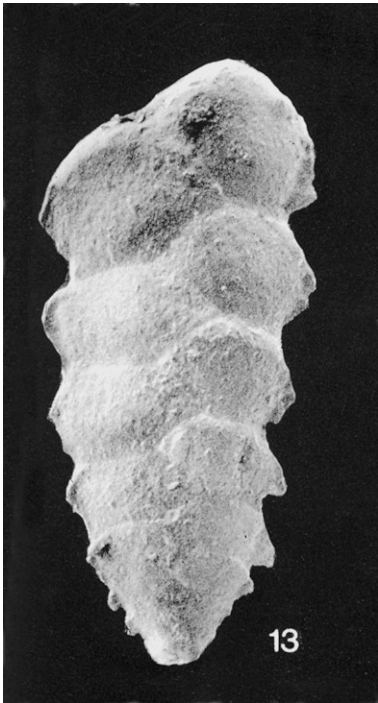
ST – žižkovský člen – sldkv.-brackická sedimentace vyplňující deprese a lagunární oblasti,

ST – lábské píska paleogeograficky zastupující plážové lemy (? delty) a písčité valy paralelní s pobřežím a mládnoucí směrem k pobřeží,

IST – pelity zóny aglutinancí (hrušecké a jakubovské s.) překrývají tuto konfiguraci a unifikují vrstevní sled.



(Kováč et al. 2004)



*Textularia mariae* d'Orb.



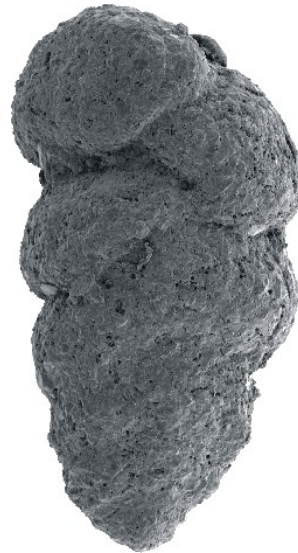
*Spirorutilus carinatus* (d'Orb.)



*Semivulvulina pectinata* (Rss.)

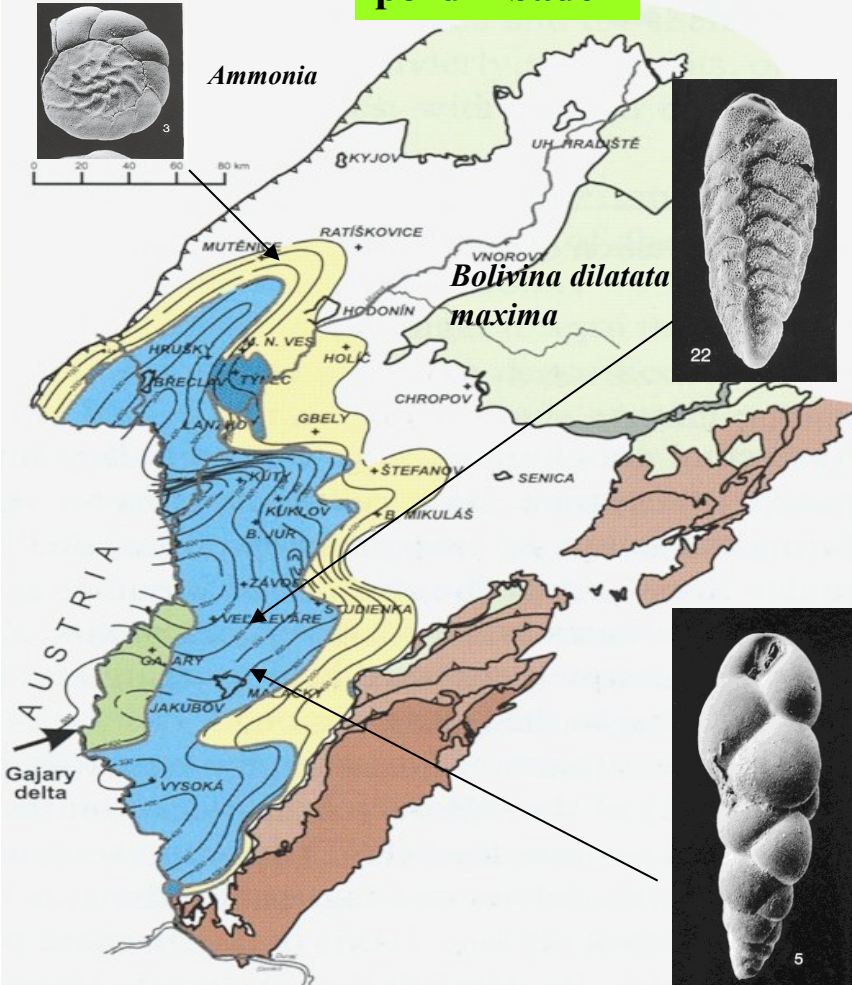
Foraminifera zóny aglutinancí

*Reophax scorpiurus*  
Montf.



*Textularia laevigata*  
d'Orb.

## pozdní baden



(Kováč et al. 2004)

Pozdní baden – pokračuje zlomová činnost, dochází k rozšíření depocenter, sedimenty pokrývají i dosavadní elevace, dochází ale k celkovému změlčení pánve.

Pokračuje sedimentace jílovitopísčitého **hrušeckého souvrství** – s mikrofaunou „bulimino-bolivinové zóny“ (*Bolivina dilatata maxima*, *Bulimina intonsa*) a *Velapertina indigena* a na okrajích s *Ammonia beccarii* („ammoniová zóna“). Na Slovensku mu odpovídá **studienské s.**

Změlčování – vyslazování v závěru badenu = pestré jíly – přechod k sedimentaci sarmatu

Pozdní baden = **cyklus VB 7:**

Zatímco v centru pánve je hranice typu SB2 (uvnitř hrušeckého s.) na okrajích je

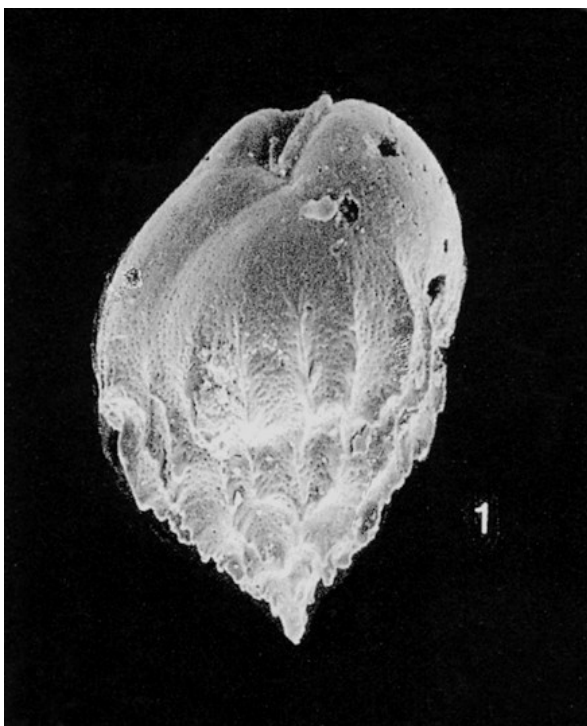
**SB 1** – zřetelně vyvinuta v severní části Vp, úhlová diskordance = sv. baden leží nad sp. a stř. badenem transgresivně – litorální a sublitorální písksy s řasovými biostromami (Týnec, Kostice až Rohožník) =

TST pokračující sedimentací **studienské s.** a jeho ekvivalentů,

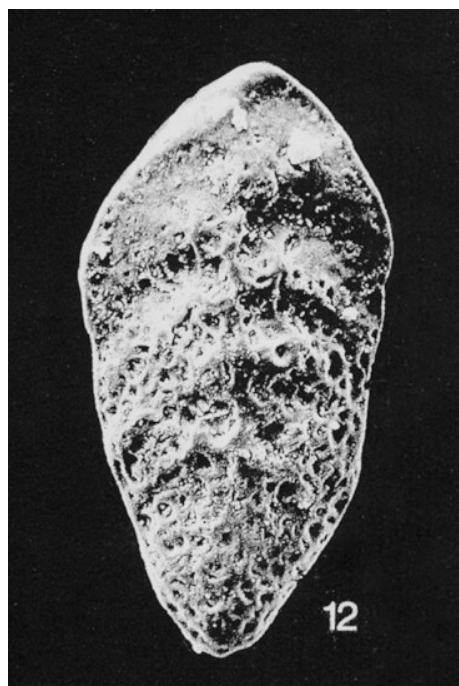
HST – postupné vyslazování a tvorba bariér, lagun a estuárií (tzv. „ammoniová zóna“ starších autorů).



*Bulimina elongata* d'Orb.



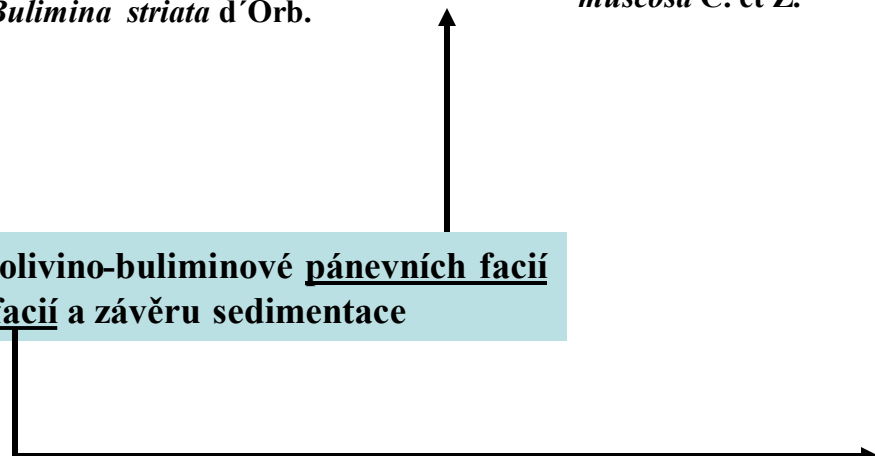
*Bulimina striata* d'Orb.



*Bolivina scalprata*  
*muscosa* C. et Z.

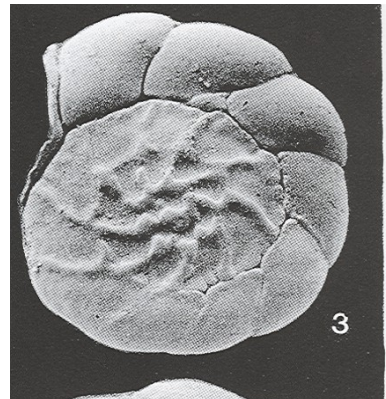


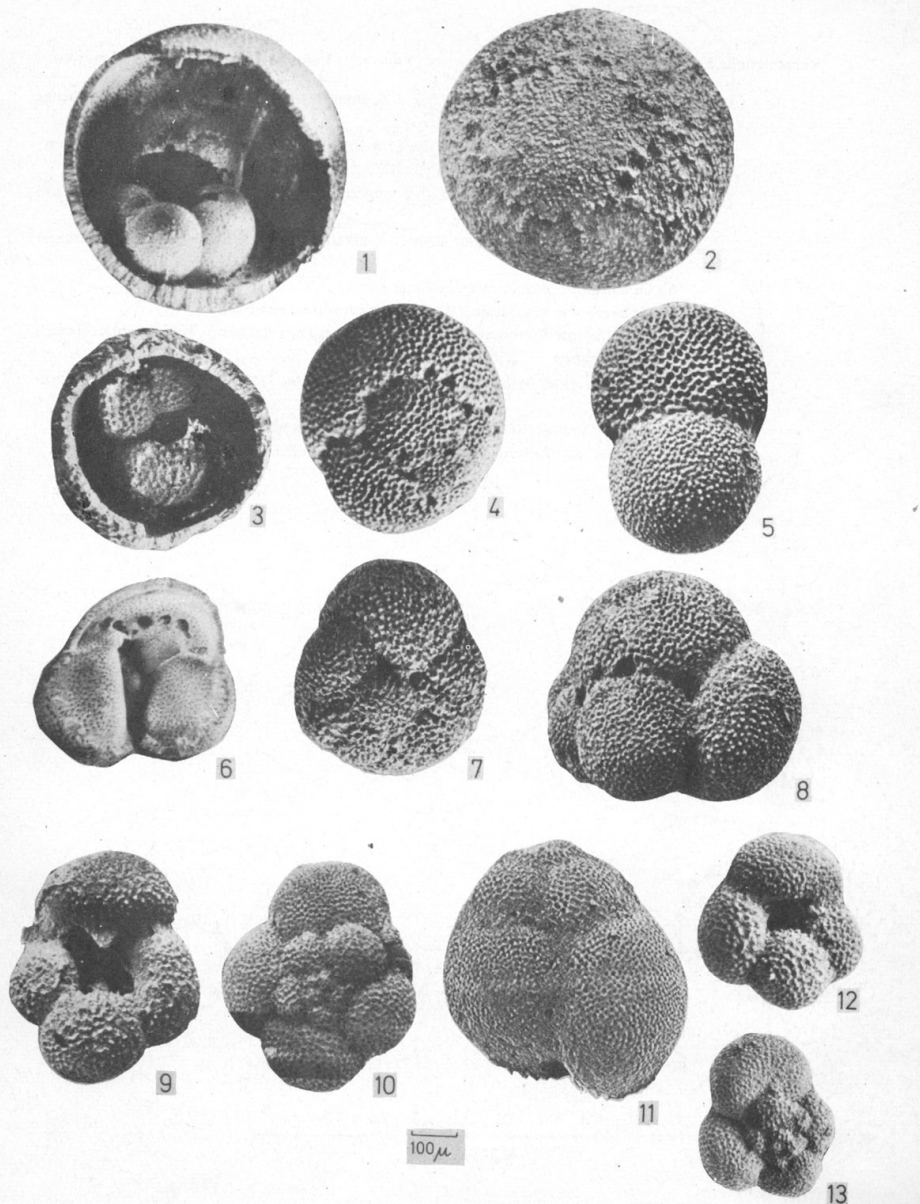
*Bolivina dilatata*  
*maxima* C. et Z.  
stř. + sv. baden



Zástupci společenstev zóny bolivino-buliminové pánevních facií  
a okrajových mělkovodních facií a závěru sedimentace

*Ammonia viennensis* (d'Orb.)





Typické planktonní foraminifery badenu CP  
(Papp et al. 1978)

1, 2 *Orbulina suturalis* Br.  
kosov, Breschitza, Rumunsko

3,4 *Praeorbulina glomerosa* Blow  
morav, Brno

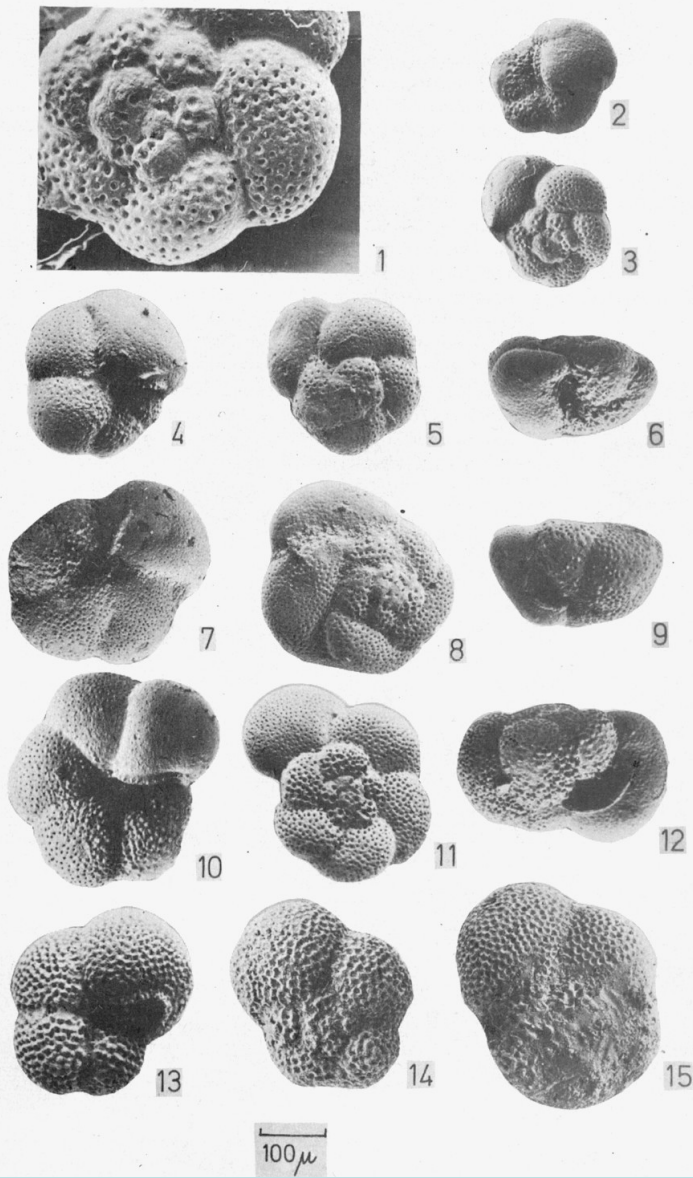
5 *Biorbulina bilobata*  
morav, Baden-Sooss,

6-8 *Velapertina indigena* Lucz.  
kosov, Valea Morilor, Rumunsko

9,10 *Globoquadrina altispira globosa* Bolli  
morav, Baden-Soos

11 *Globoquadrina* sp.  
kosov, Breschitza, Rumunsko

12,13 *Globoquadrina langhiana* Cita-Gelati  
wielicz, Walbersdorf, Rakousko

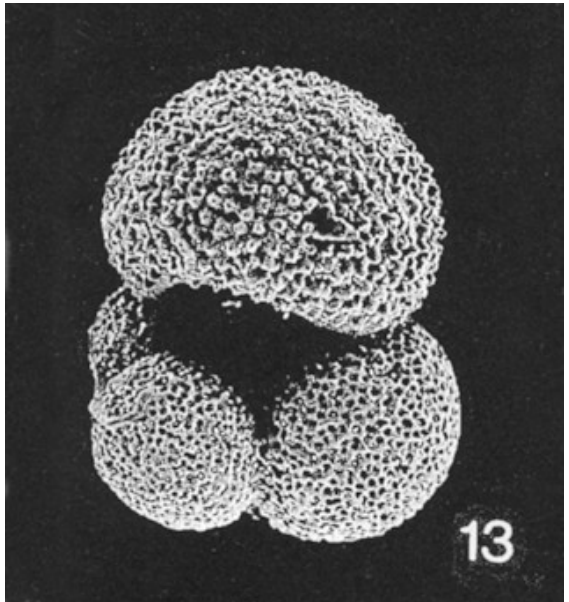


**1-9 *Globorotalia bykovae* (Ais.), div. ssp.  
spodní a střední baden, Rakousko**

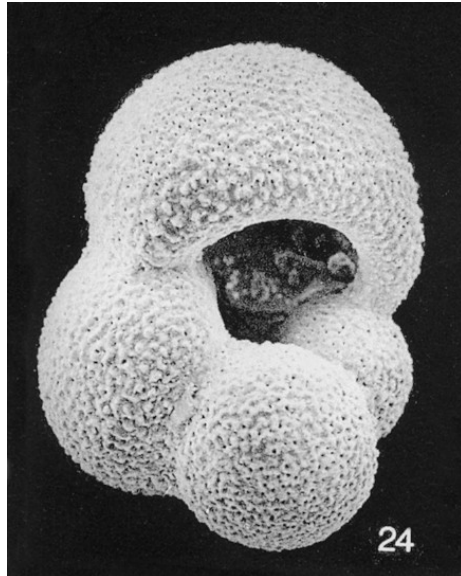
**10-12 *Globorotalia mayeri* Cush.-El.  
morav, Brno**

**13-14 *Globorotalia siakensis* Le Roy  
morav (Frättingsdorf, 13, 14),  
kosov (Breschitzka, 15)**

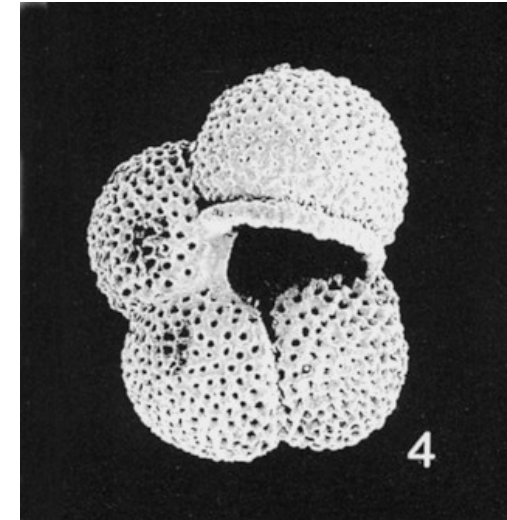
**Typické planktonní foraminifery badenu CP  
(Papp et al. 1978)**



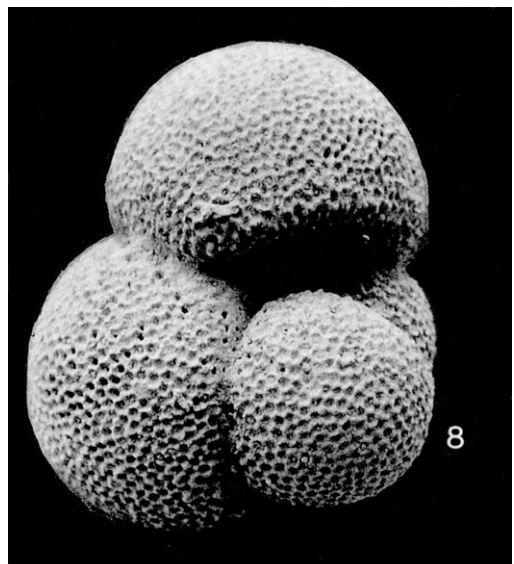
*Globigerina praebulloides* Blow



*Globigerina bulloides* d'Orb.

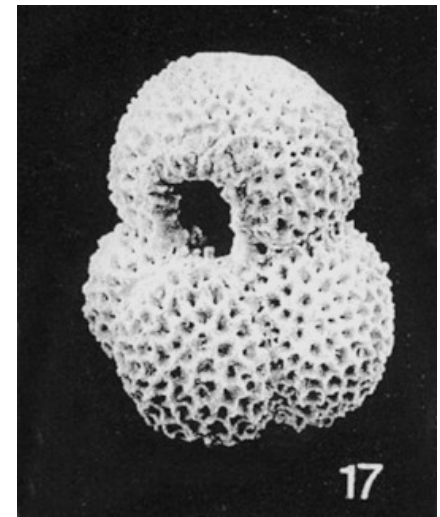


*Globigerina falconensis* (Blow),  
baden

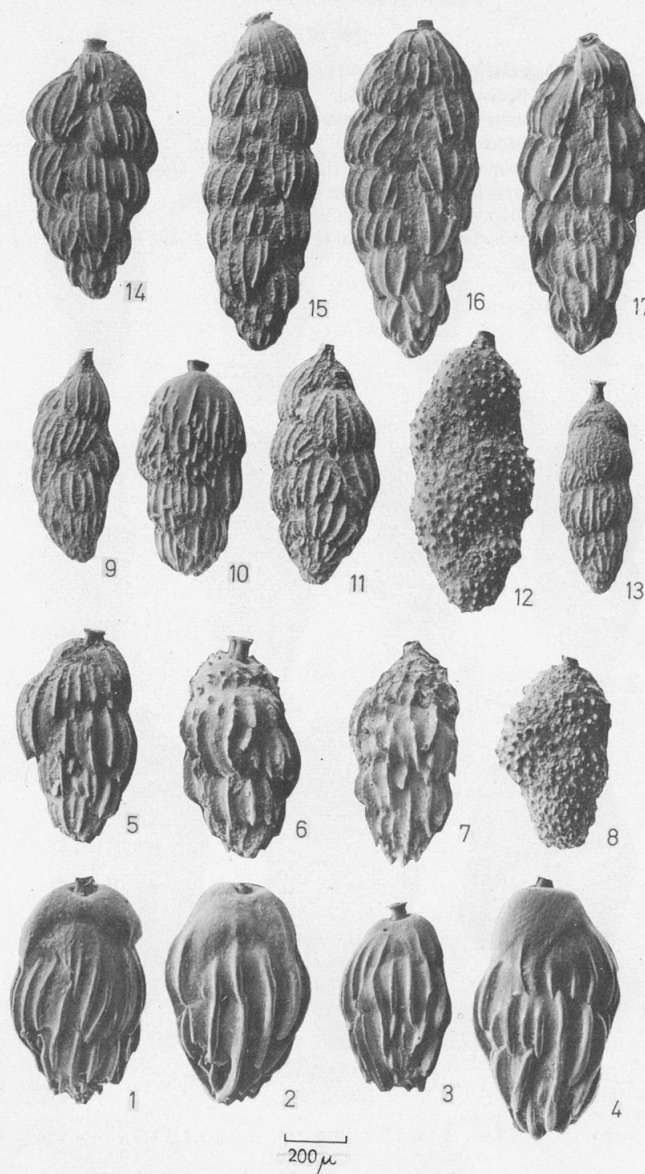


*Globigerinoides quadrilobatus* (d'Orb.)  
baden (<str.+ sv.)

Další významné druhy planktonních  
společenstev badenu



*Globoturborotalia druryi* (Akers)  
baden



14-17 *Uvigerina liesingensis* Toula  
kosov, Wien

9-12 *Uvigerina venusta* Franzenau  
wielicz, Wien

13 *Uvigerina cf. pygmaea* d'Orb.  
wielicz, Müllndorf, Rakousko

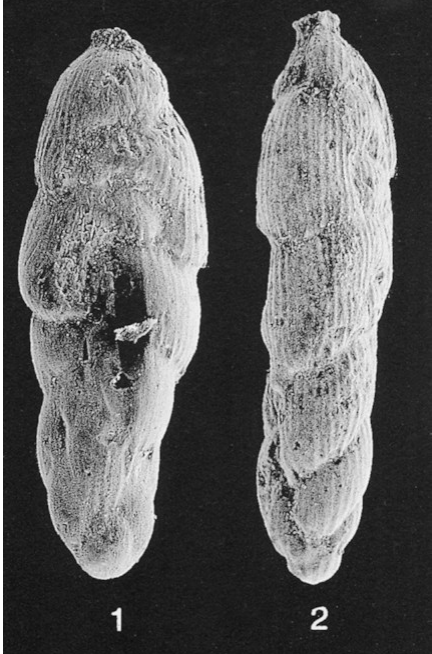
5-8 *Uvigerina grilli* Schmid  
morav, Baden-Sooss

1-4 *Uvigerina macrocarinata* Papp-Turn.  
morav, Brno

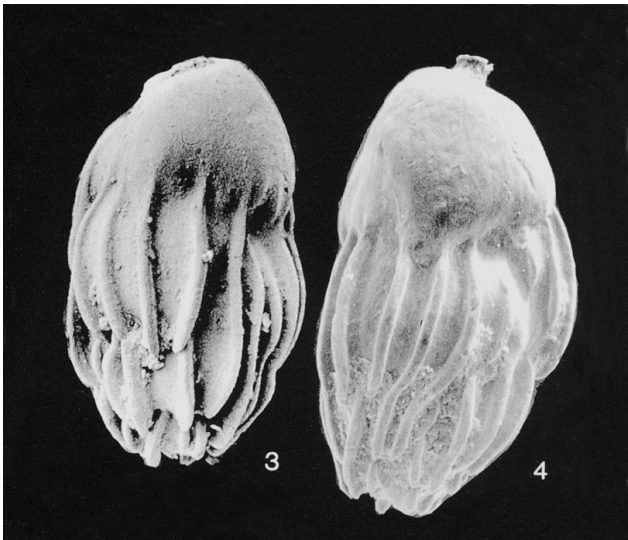
svrchní baden

střední baden

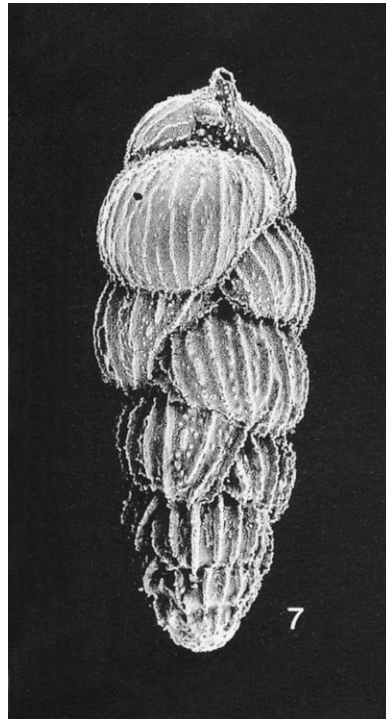
svrchní baden



*Pappina parkeri* (Karrer)  
baden



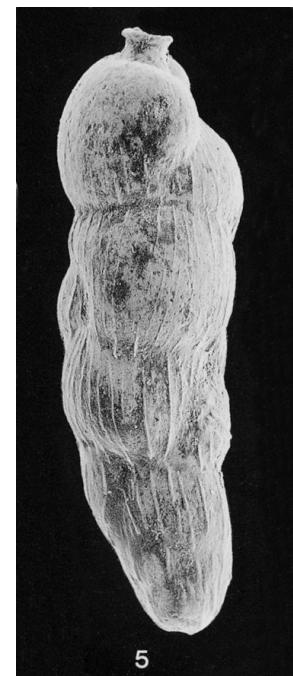
*Uvigerina macrocarinata* P. et T.  
morav



*Uvigerina venusta* Franz.  
sv. baden

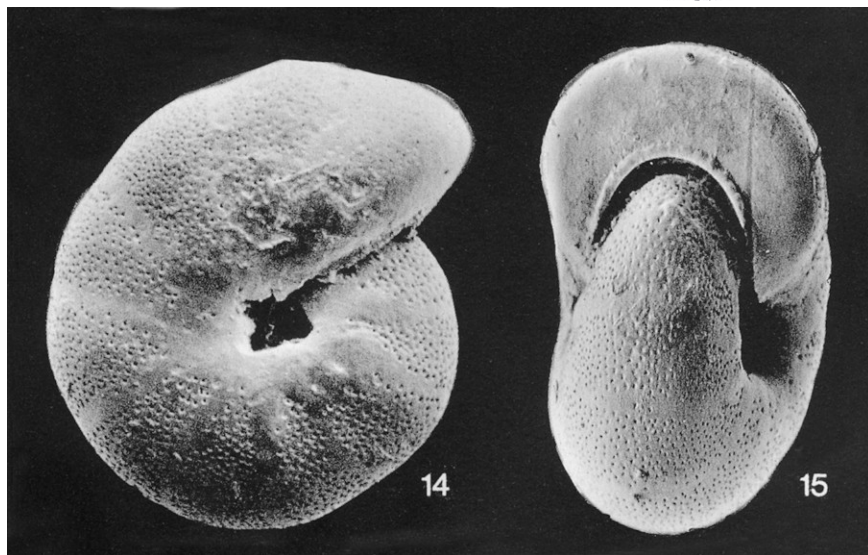
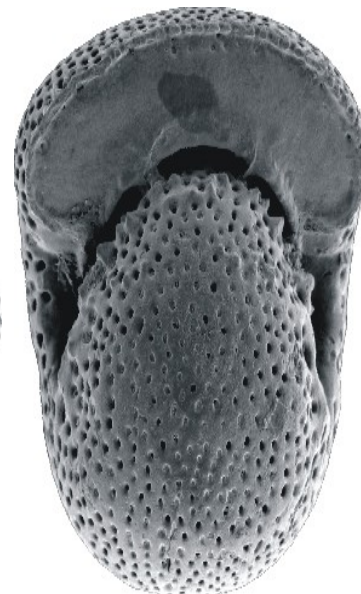
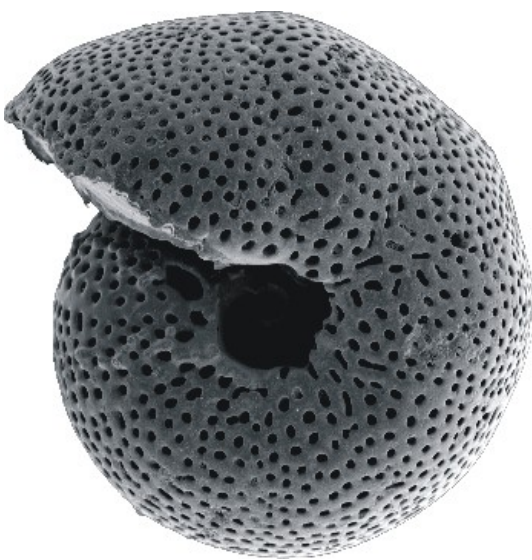


*Uvigerina pygmaea* P. et T.  
karpat-nižší sv. baden

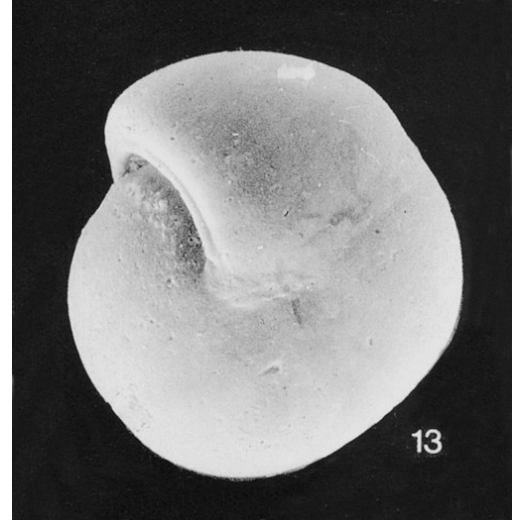
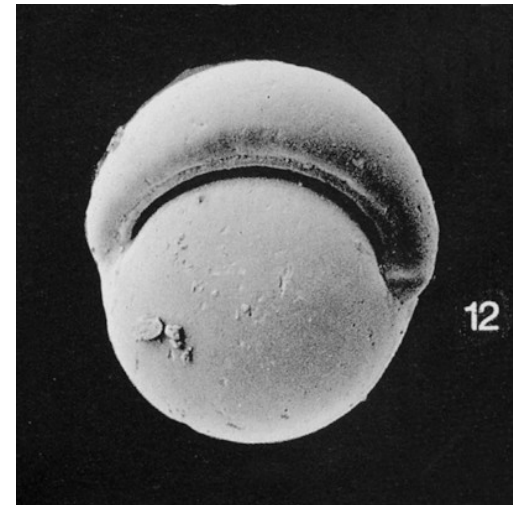


*Uvigerina brunnensis* Karrer  
sv. baden

Další stratigraficky významné uvigeriny  
badenu



*Melonis pompilioides* (F. et M.)

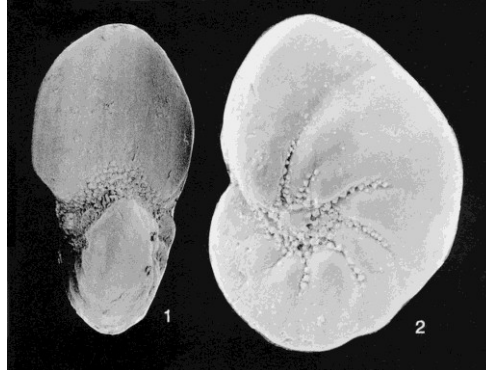


*Pullenia bulloides* (d'Orb.)

Druhy hlubokovodních facíí



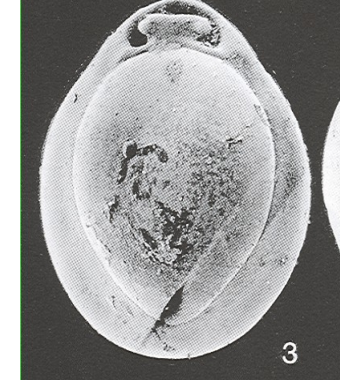
*Heterolepa dutemplei*  
(d'Orb.)



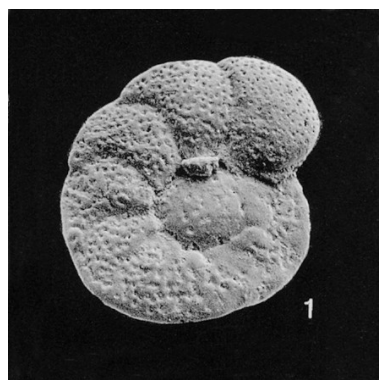
*Nonion commune* (d'Orb.)



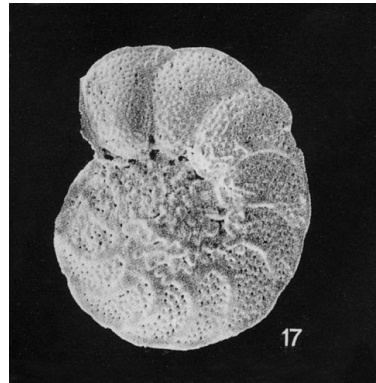
*Pyrgo lunula* (d'Orb.)



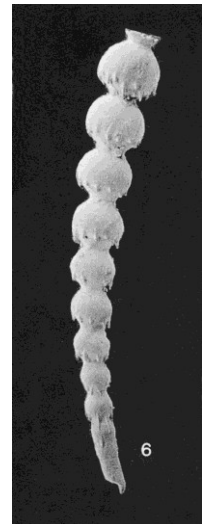
*Pyrgo simplex* (d'Orb.)



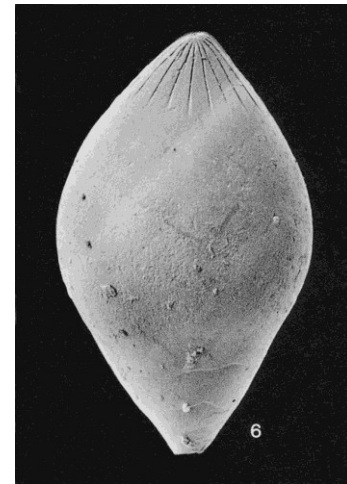
*Cibicidoides austriacus* (d'Orb.)  
sp. + stř baden



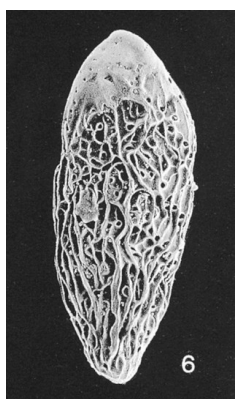
*Cibicidoides ungerianus* (d'Orb.)



*Stilostomella adolphina*  
(d'Orb.)

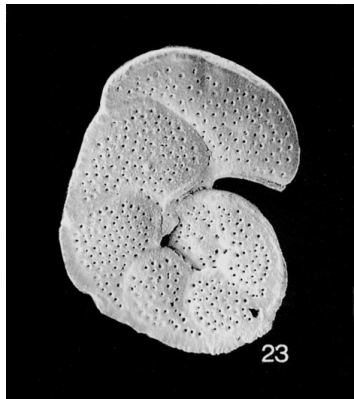


*Glandulina ovula* d'Orb.

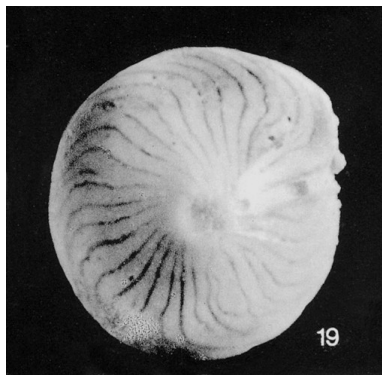


*Bolivina papulata* Cush.  
morav

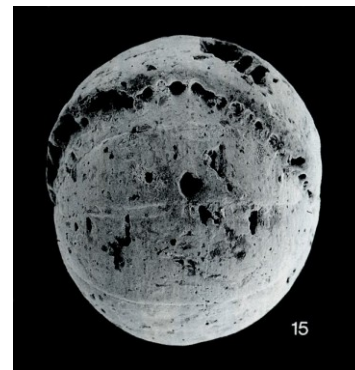
Zástupci mělkovodnějších facií badenu



*Lobatula lobatula* (W. et J.)



*Amphistegina mammilla*  
(F. et M.) baden



*Borelis melo* (F. et M.)



*Cycloforina badensis*  
(d'Orb.)



*Adelosina schreibersi*  
(d'Orb.)



*Quinqueloculina boueana*  
d'Orb., baden-sarmat

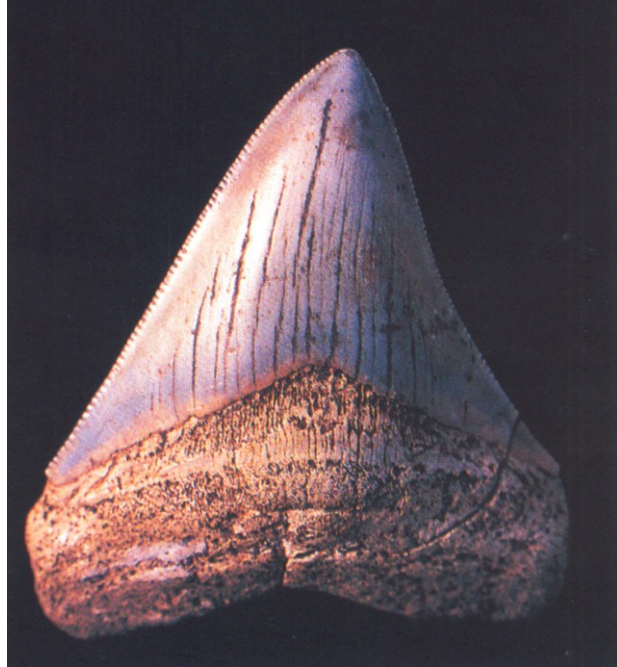


*Triloculina* sp.

Zástupci mělkovodních facií badenu



*Isurus hastalis*, baden, Mikulov,



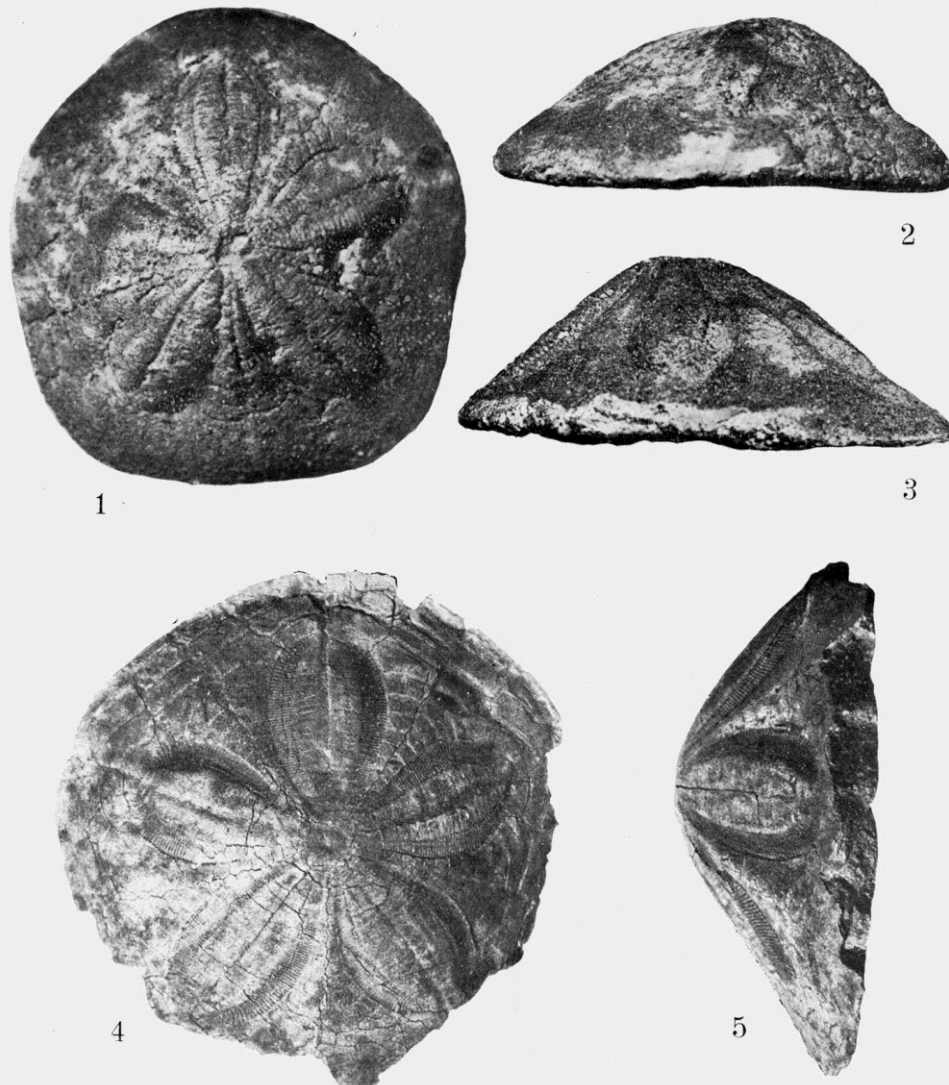
*Carcharocles megalodon*, baden, Mikulov



*Hemipristis serra*, baden, Mikulov,



*Galeocerdo aduncus*, baden, Mikulov



1,2 – *Clypeaster campanulatus partschi* Mich.  
sv. baden, D. N.Ves

3, 4, 5 - *C. c. acuminatus* Desor  
sv. baden, 3 – D. N. Ves; 4, 5 - Kienberk

Ježovky některých významných lokalit  
badenu Vp (podle Kalabis 1949)



*Clypeaster campanulatus partschi* Mich. – sv. baden, Děvínská Nová Ves, (podle Kalabis 1949)

# VIENNA BASIN AND MOLASSE FOREDEEP PALEOGEOGRAPHIC MAP WITH ISOPACHS

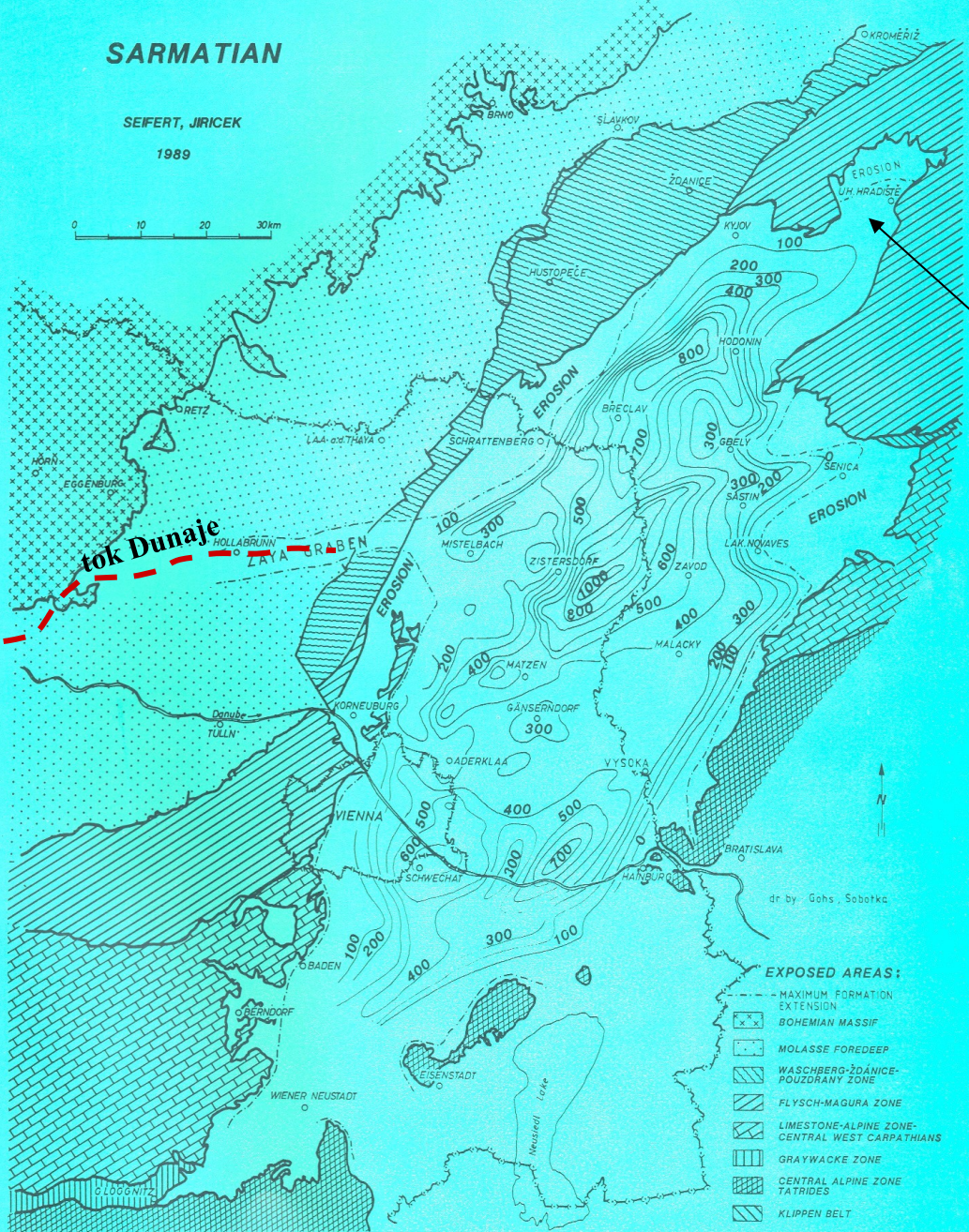
sarmat

SARMATIAN

SEIFERT, JIRICEK

1989

0 10 20 30 km



Mezi badenem a sarmatem se situace v Paratethydě výrazně mění. Po moldavském vrásnění dochází k regresi a částečné izolaci od Mediterránu. V CP však přetrvávají podmínky normální salinity (Piller & Harzhauser 2005) – časném sarmatu na okrajích mixohalinní, v páni normální, ve vyšším sarmatu normální až místy hypersalinita.

Doklady: biota (forams, diatoms, gastropoda, bivalvia – tlustoskořepatá /Nexing/, dasycladacea, ruduchy), čisté oolitické vápence /marinní tmel/, velké forams (*Spirolina*), izotopické hodnoty kyslíku.

Výjimečná je severní část moravské ústřední deprese, sarmat je zde lokálně transgresivní (bez vztahů k eustasi). Přesahuje svrchní baden k S do hradišťského příkopu, kde nasedá dokonce přímo na flyš.

Sarmat (profil):

- závěrem sedimentují vápnité jíly s ochuzenou faunou (**zóna E**, „Verarmungszone“, *Bolivina sarmatica*) – vylazování pánve
- opětne změlčení reprezentují píska a jíly s ***Porosononion granosum* -zóna D**
- dále se pánev prohlubuje a ukládají se pelity s dominujícím ***E. hauerinum* -zóna C**
- výše mořská transgrese s brackickou faunou (***Elphidium reginum* – zóna B**, zóna „velkých elphidií“),
- sladkovodní až brackická sedimentace pokračuje z nejvyššího badenu, obsahuje foram. *Anomalinoides dividens* a suchozemského gastropoda ***Carychium nouleti suevicum* -zóna A,**

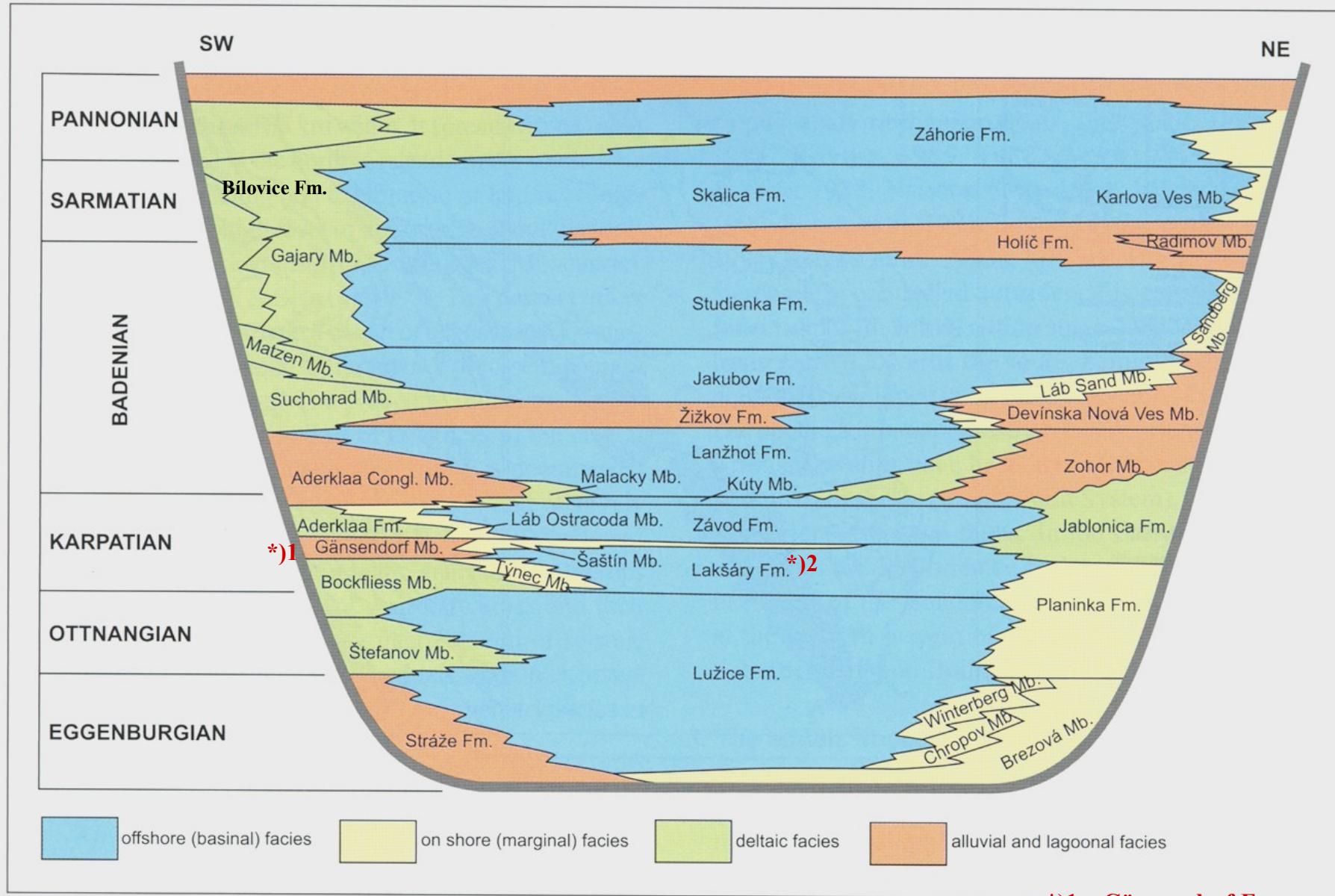


Fig. 3: Depositional systems of the Vienna Basin (modified after Baráth et al. 2001).

Pozn.: správně - \*)1 = Gänserndorf Fm.  
\*)2 = Lakšárska Nova Ves Fm.

Litostratigrafické členění sarmatu formálně nedopracováno. Čtyroký (2000) zahrnuje celý vrstevní sled (zóny A-E) do bílovického souvrství, zatímco na Slovensku je členěn na nižší holíčské s. (odpovídá zóně A) a vyšší skalické s. (B,C,D,E).

Bílovické s. vystupuje povrchově např. od Podivína k jz., dále pak u Čejče, v drobných výchozech u Stavěsic a Kyjova.

Obsahuje místy bohatou makrofaunu mlžů a plžů:

*Cardium latisulcatum, Ervilia dissita, Irus gregarius, Pirenella picta, Cerithium rubiginosum* etc. především ve střední části (zóna C).

#### Cyklus VB 8:

LST - Vp je na počátku sarmatu soustavou lagun vyplňovaných deltami od SV generelně k J (moravská ústřední deprese (1), kútský (2), koválovský a kopčanský příkop (3), v Rakousku delta Dunaje). V hradíšťském příkopu (4) vzniká jezerní liman – v jeho marších lignitové slojky (zóna A, ekv. holíčského s.),

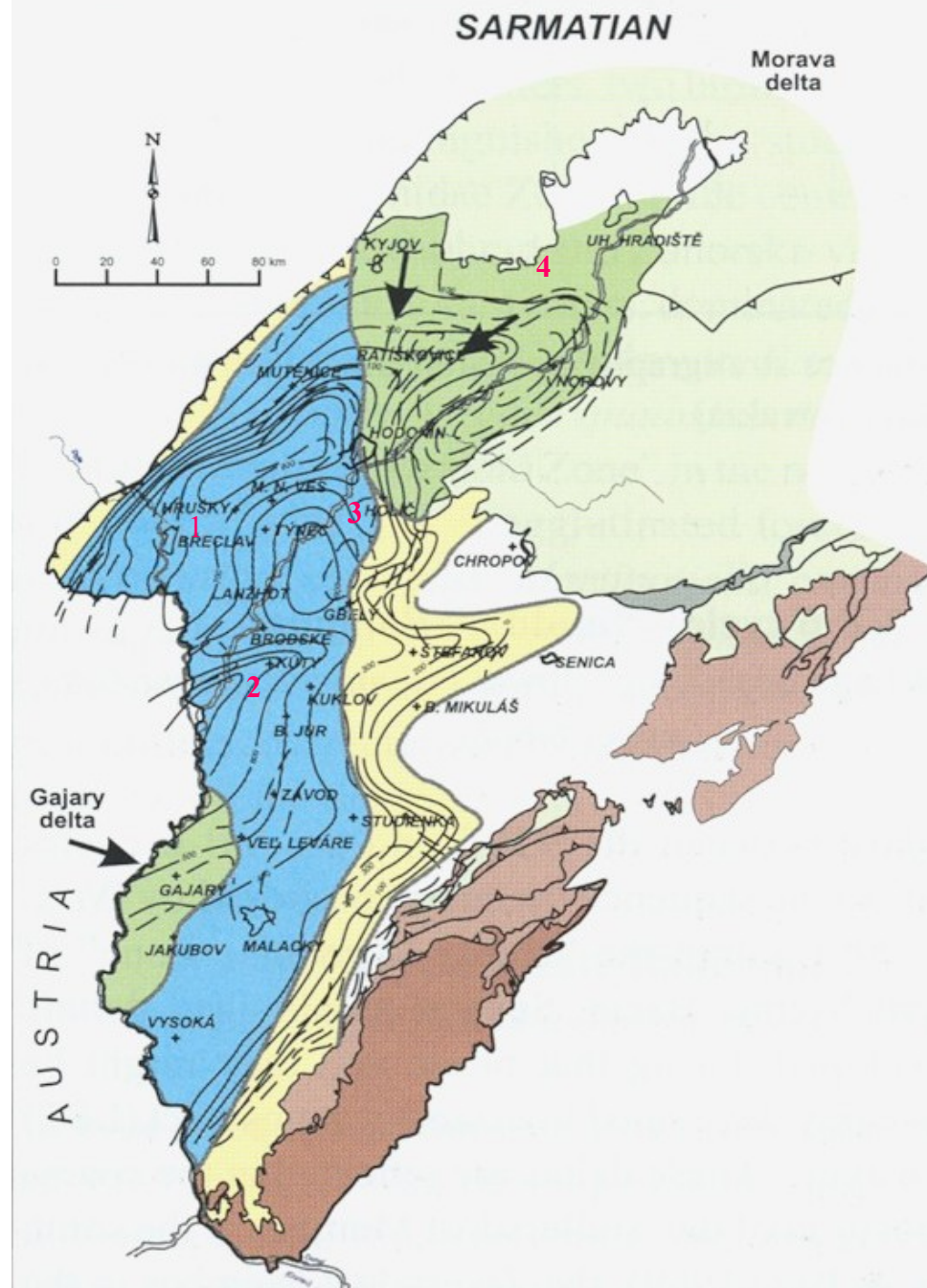
TST – v zóně B (velká elphidia) se hladina zvyšuje, hradíšťský záliv je brackický s transgresí na flyš. Sedimentují plážové písksy s *Pirenella* a *Irus*, v pánevních zelenošedých slínech pak *Mohrensternia*, *Ervilia*,

mfs – prohloubení pánve během zóny *E. hauerinum* (C), sedimentace především pelitů. Ve svrchní části této zóny je krátká epizoda regrese (+ eroze staršího sarmatu na okrajích),

HST - poté progradující parasekvence písků a slínů vystupující např. u Nexingu (D. Rakousko) – převážná vyšší část bílovického a skalického s.,

SMST – agradační fáze pozdního sarmatu (D-E)

Pozn.: Harzhauser et Piller (2004) = zvláště ve sp. sa z. části CP lze rozlišit další 3 dílčí fluktuace mořské hladiny (cykly 4. řádu)



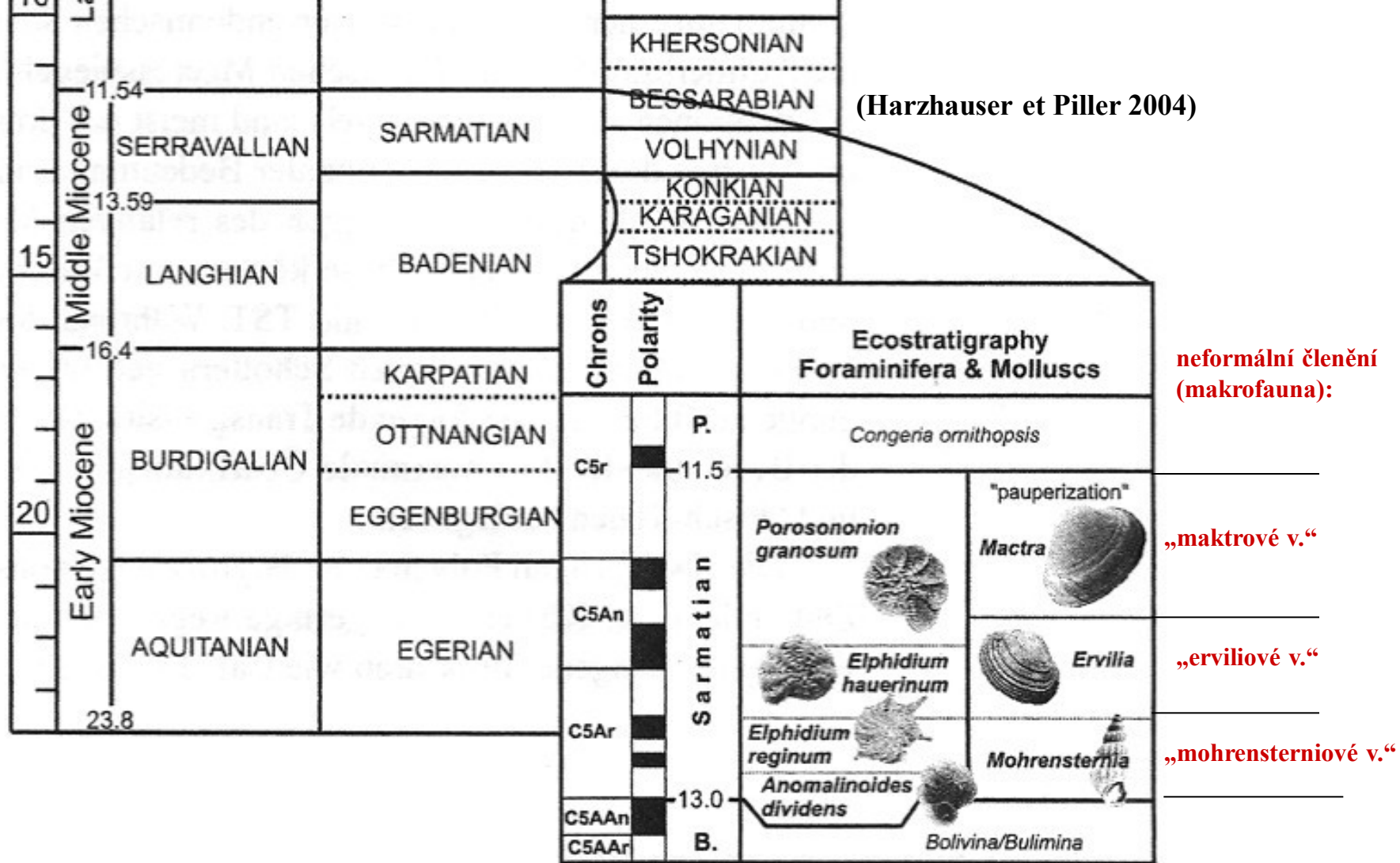
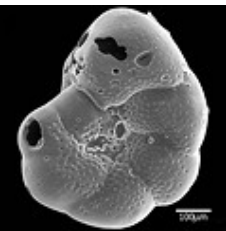


Fig. 1: Miocene chronostratigraphy of Europe modified after RÖGL (1998) with ecostratigraphic zonation of the Sarmatian based on molluscs and benthic foraminifera.

# Indexové foraminifery

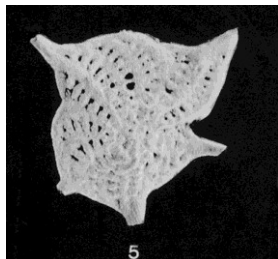
sarmatu vídeňské pánve (biozóny)  
a neformální zonace

(A-E)



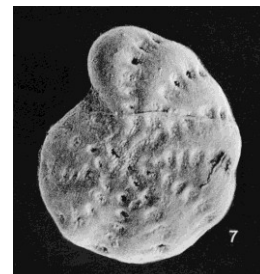
*Anomalinoides aff. dividens* Lucz.

A



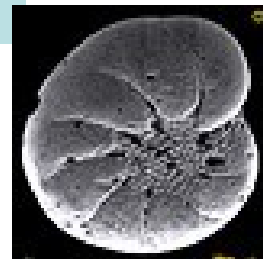
*Elphidium (Parellina) reginum* (d'Orb.)

B



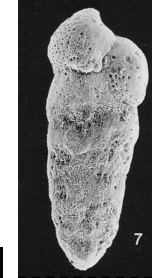
*Elphidium hauerinum* (d'Orb.)

C



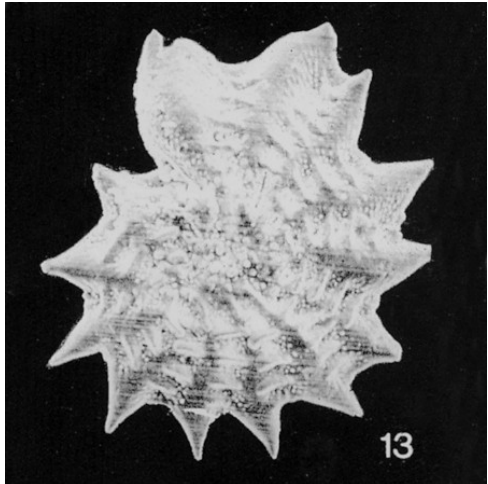
*Porosononion granosum* (d'Orb.)

D

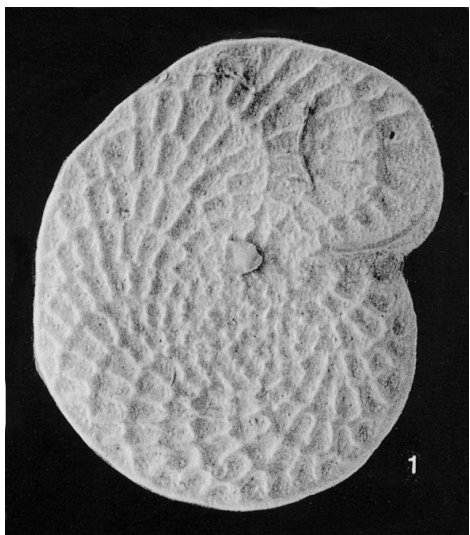


*Bolivina sarmatica* Didk.

E

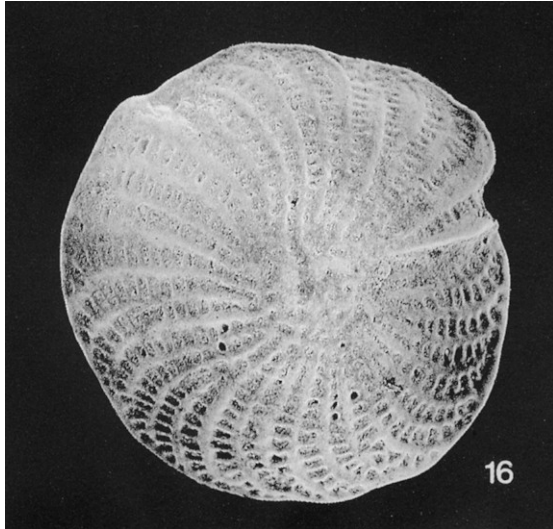


*Elphidium josephinum* (d'Orb.)  
sarmat

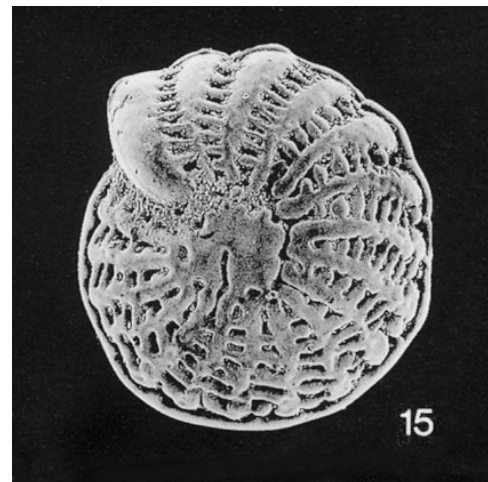


*Elphidium fichtelianum* (d'Orb.)

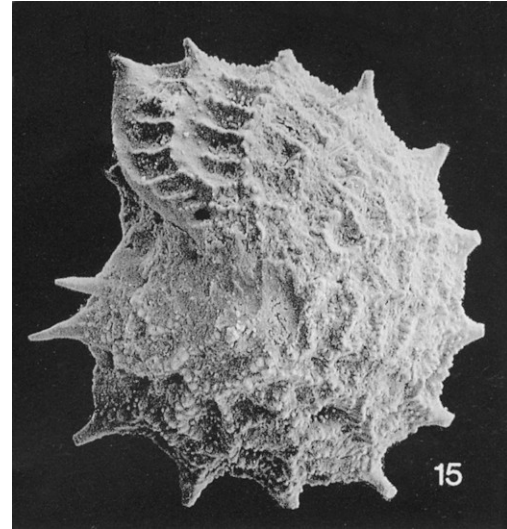
Další druhy elphidií (zóna B)



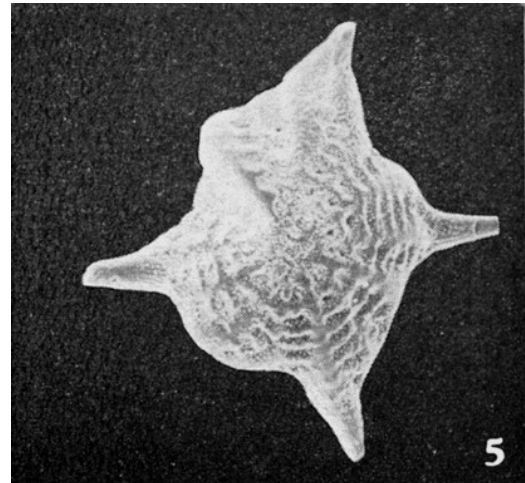
*Elphidium crispum* (Linné)



*Elphidium flexuosum* (d'Orb.)



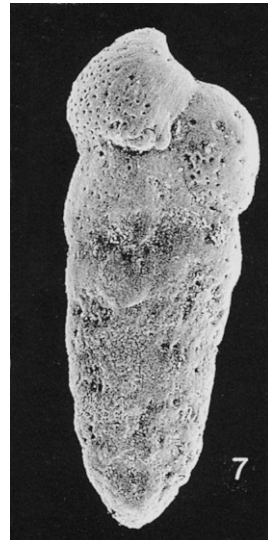
*Elphidium aculeatum* (d'Orb.)



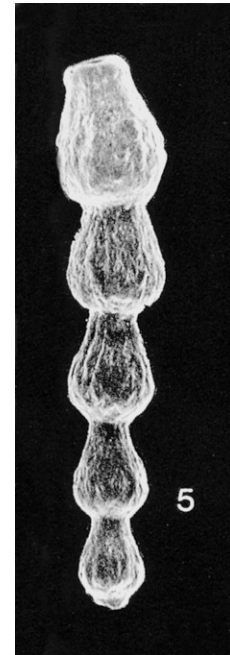
*Elphidium reginum* (Orb.)  
Pavlová, dunajská pánev,  
sarmat (Brestenská 1974)



*Sarmatiella prima* Bogd.



*Bolivina sarmatica* Didk.  
sarmat



*Articulina sarmatica* (Karrer)



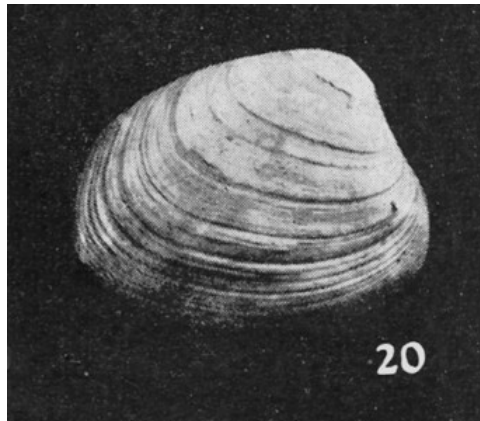
*Nubecularia tortonica* Krash.

Ukázka foraminiferové fauny  
sarmatu (endemické druhy  
Paratethys)

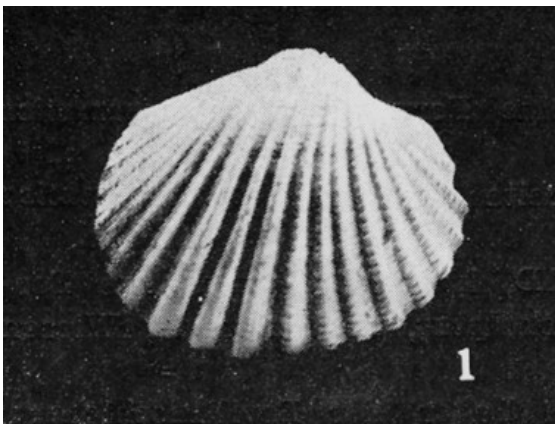
## Významné druhy mlžů sarmatu a neformální zonace



*Mactra vitaliana pallasi* (Baily)  
Nexing, „**maktrové vrstvy**“,  
sarmat (Papp 1974)



*Irus gregarius gregarius* Partsch  
Wiesen, „**erviliové vr.**“ sarmat (Papp 1974)



*Cerastoderma pseudoplicatum* (Fried.)  
Hollabrunn, „**mohrensterniové vr.**“  
sarmat, (Papp 1974)

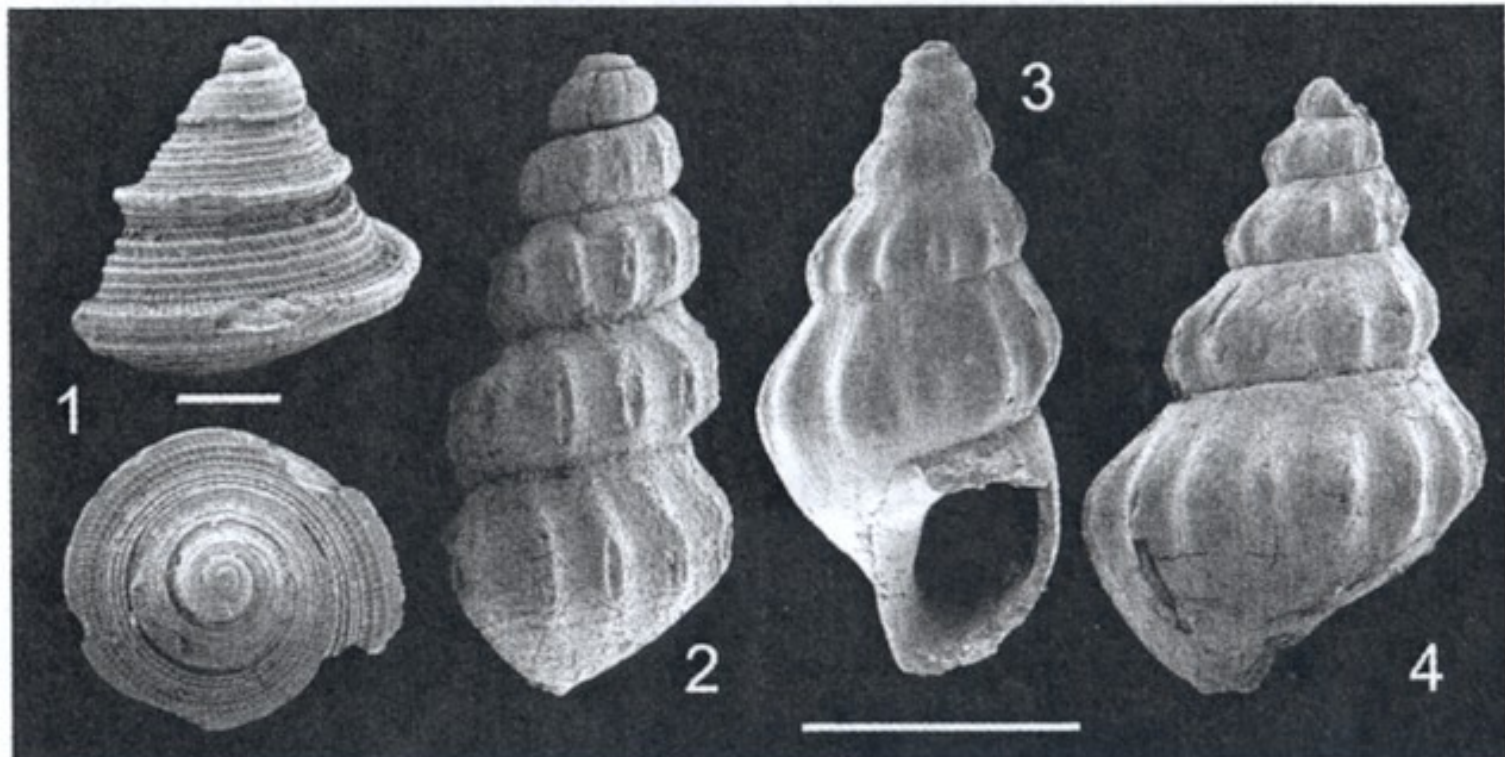


Fig. 10: Gastropods from the section Klapping which are restricted to the Lower Sarmatian *Mohrensternia* Zone. 1: *Calliostoma marginatum* (EICHWALD), 2: *Mohrensternia pseudoangulata* HILBER, 3: *Rissoe turricula* (EICHWALD), 4: *Mohrensternia sarmatica* (FRIEDBERG) (scale bar: 1 mm).

VIENNA BASIN AND MOLASSE FOREDEEP  
PALEOGEOGRAPHIC MAP WITH ISOPACHS

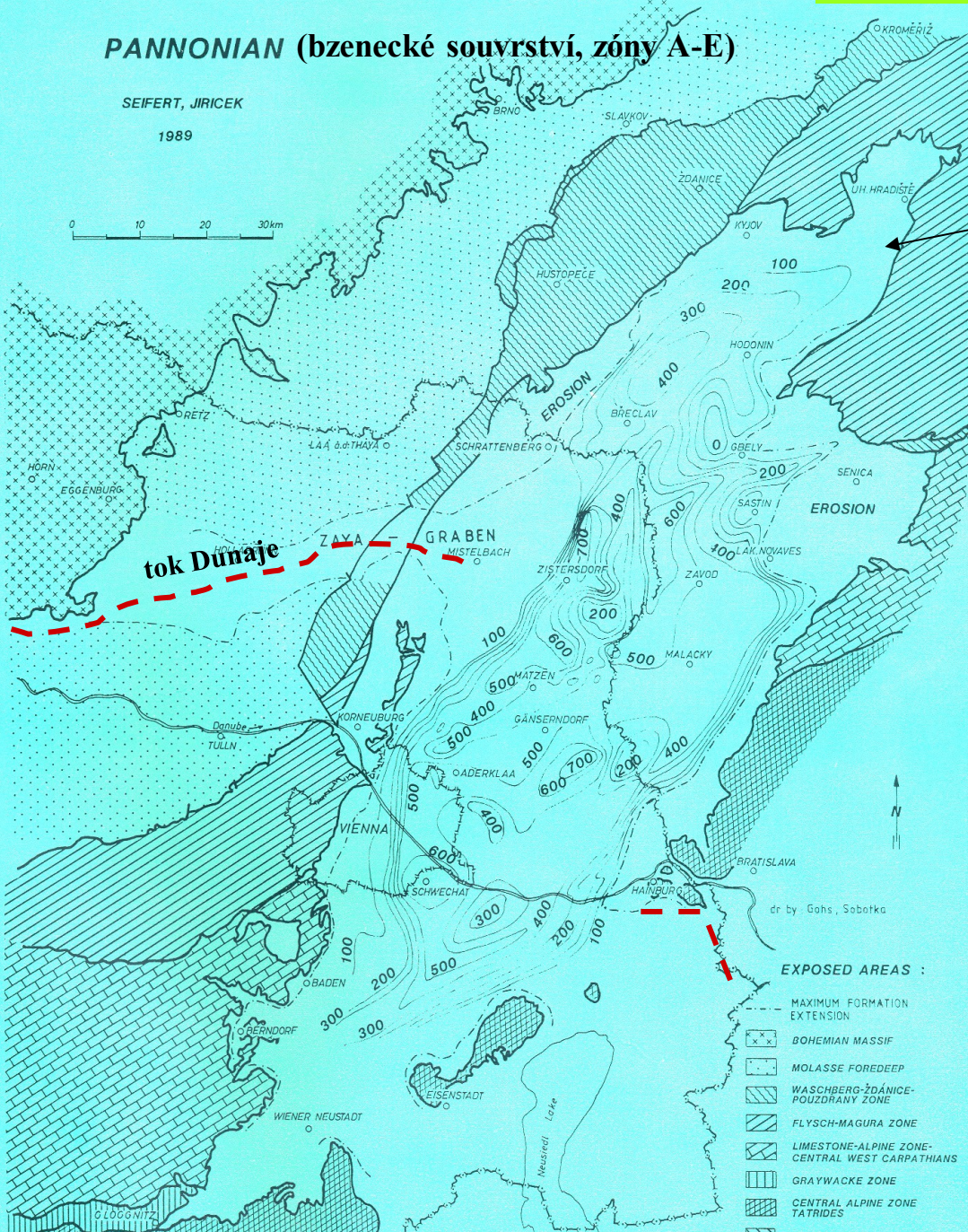
Pannon

PANNONIAN (bzenecké souvrství, zóny A-E)

SEIFERT, JIRICEK

1989

0 10 20 30 km



Pannon

- přerušení komunikace Vp se zbývající částí Paratethydy, další vyslavování (< 16‰),
- řeky ústící od SZ, S a SV tvoří četné deltové kužele (u Stražovic u Kyjova dokonce s bloky flyše a jurských vápenců),
- dtto při ústí Dunaje do Vp,
- mocnosti pannonu v moravské části cca 700m (včetně „pontu“. Pozn.: na přiložené mapě nejsou sedimenty dubňanského a gbelského s., tedy zón F-H, zahrnutý).

## Ideální profil pannonem Vp:

(Pozn.: pont není ve Vp bezpečně prokázán – jeho problematika)

gbelské souvrství

G-H – sladkovodní jezerní sedimentace zelenohnědých skvrnitých jílů s vložkami štěrků a písků, cca 300 m, přerušení uhlotvorné sedimentace - změna prostředí – aridní klima + splachy do zbývajících depresí.

dubňanské souvrství

F – Vp se mění na sladkovodní liman, bažinná uhlotvorná společenstva, sedimentují 4 cyklotemy (lignite – písky – jíly – lignit....). Naspodu vyvinuta tzv. **dubňanská sloj**, mocnost cca 6 m, vyvinuta téměř v celé moravské části pánve, celková mocnost dubňanského s. = 50 – 150 m



bzenecké souvrství

E – v závěru se objevují známky regrese, ukládají se pestré, zelenošedé jíly a světlé písky s *Congeria subglobosa* (z cihelny v Hodoníně popsány četné makrofauny (*Limnocardium*, *Monodacna*, *Congeria*, *Dreissena* a velké otolity ryb čeledi *Sciaenidae*).

D – klidné období sedimentace šedých vápnitých jílů s *Congeria partschi* - rozšiřování sedimentace na celé území pánve.

C – ukládá se tzv. „**velký pannonský písek**“ (-100 m) s *Mytilopsis hoernesii* a *Melanopsis fossilis*.

B – písky s *Mytilopsis ornithopsis* (valy, laguny, marše => **kyjovská lignitová sloj** = kyjovské vrstvy). V lignitech i jinde zuby *Hippotherium*, dále *Deinotherium* a mastodontů.

A – na okrajích písky a štěrky s *Melanopsis impressa* (deltový původ), do pánve vápnité jíly s *Miliammina* a *Trochammina*.

## Sekvenčně stratigrafický pohled:

SB 1 – na konci sarmatu je místy zřetelná regrese se subaerickou erozí,

- vzniká řada hluboce zařezaných údolí (až 60 m hloubka a 300 m šířka), v nich je LST zaznamenán štěrky a jejich přenosem do pánve v zóně C (viz „velký pannonský písek“),

HST – do nadloží se materiál zjemňuje a odráží transgresi vrcholící v zóně E, vzniká rozlehlé Pannonské jezero („Lake Pannon“), regrese – jezero z Vp ustupuje k J a nastupují lakustrinní systémy zón F, G, H.

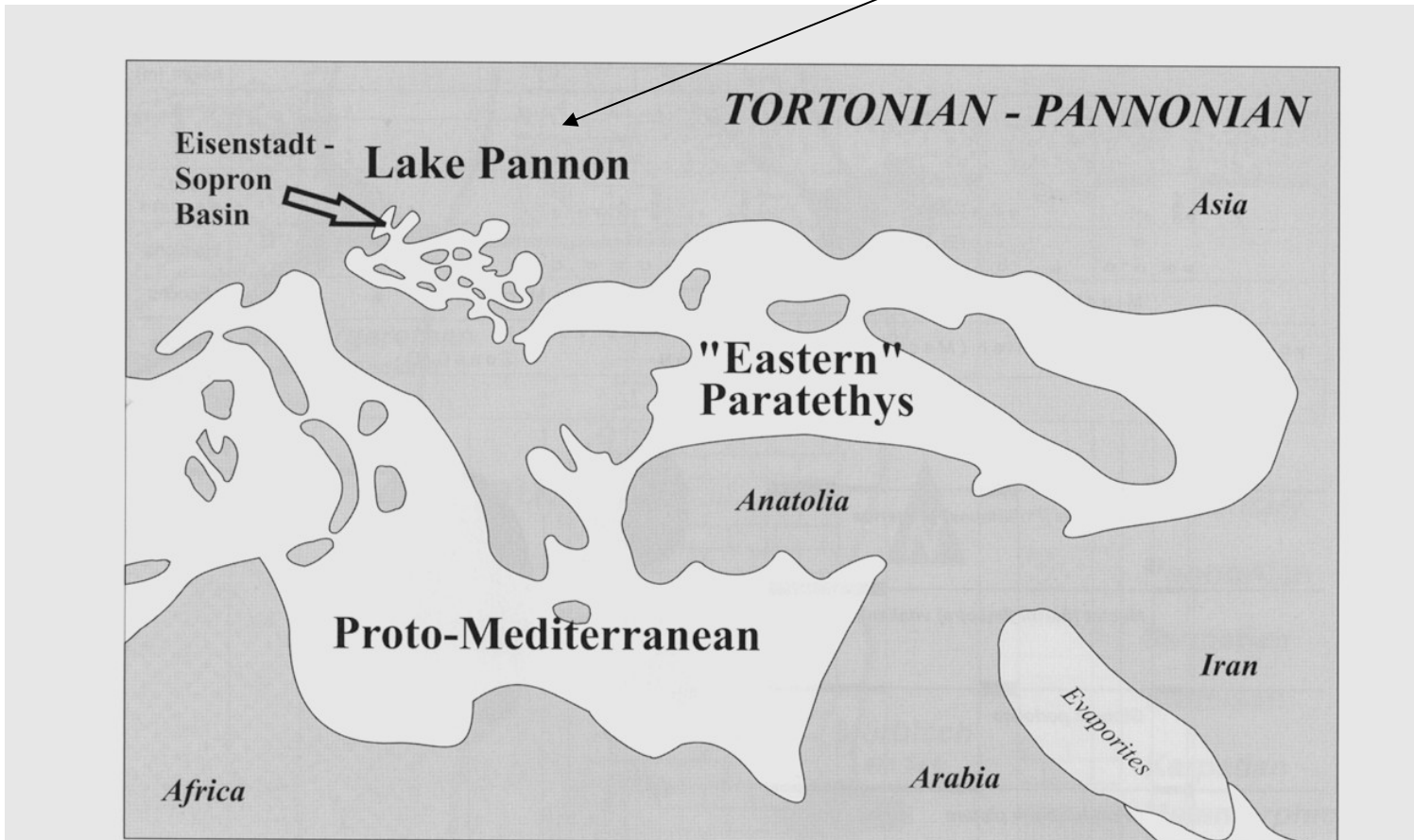


Fig. 4: Paleogeography of Lake Pannon, the Eastern Paratethys, and the Proto-Mediterranean during the Pannonian (after RÖGL, 1999)

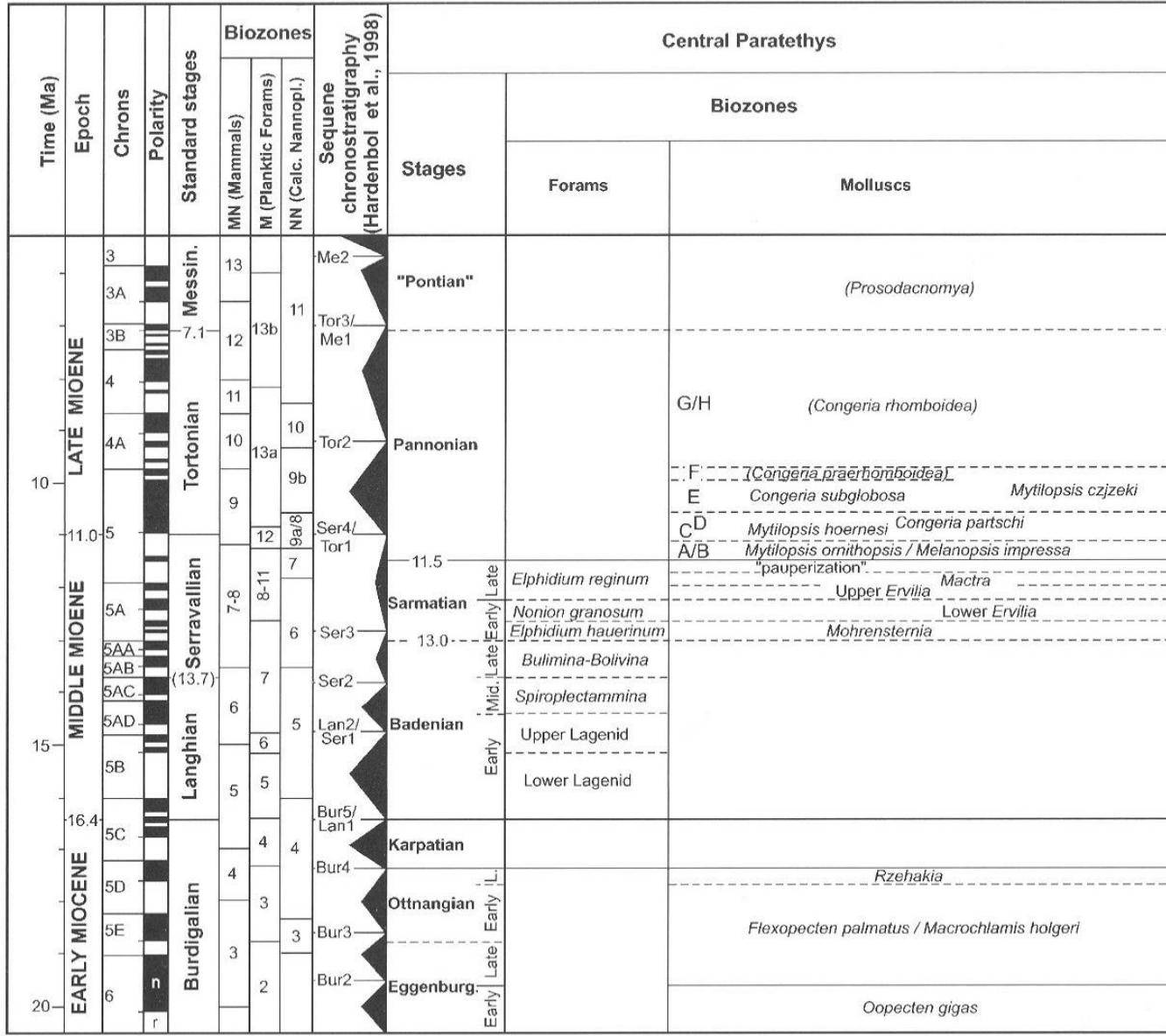


Fig. 1: Stratigraphic correlation chart of the standard scale with the Central Paratethys regional stage system and the foraminifera and mollusc biozones.

The Badenian sections are famous for the yellowish-white Leitha Limestone, which was already exploited during Roman times. An extensive introduction into the sedimentology, regional geology, and paleoecology of these deposits was given by SCHMID et al. (2001). Slightly younger sediments of the late Middle Miocene Sarmatian stage and the Late Miocene Pannonian stage crop out at the sand pit "Zollhaus". This pit is situated in the communal forest close to the Austrian/Hungarian border (geological map ÖK

5a

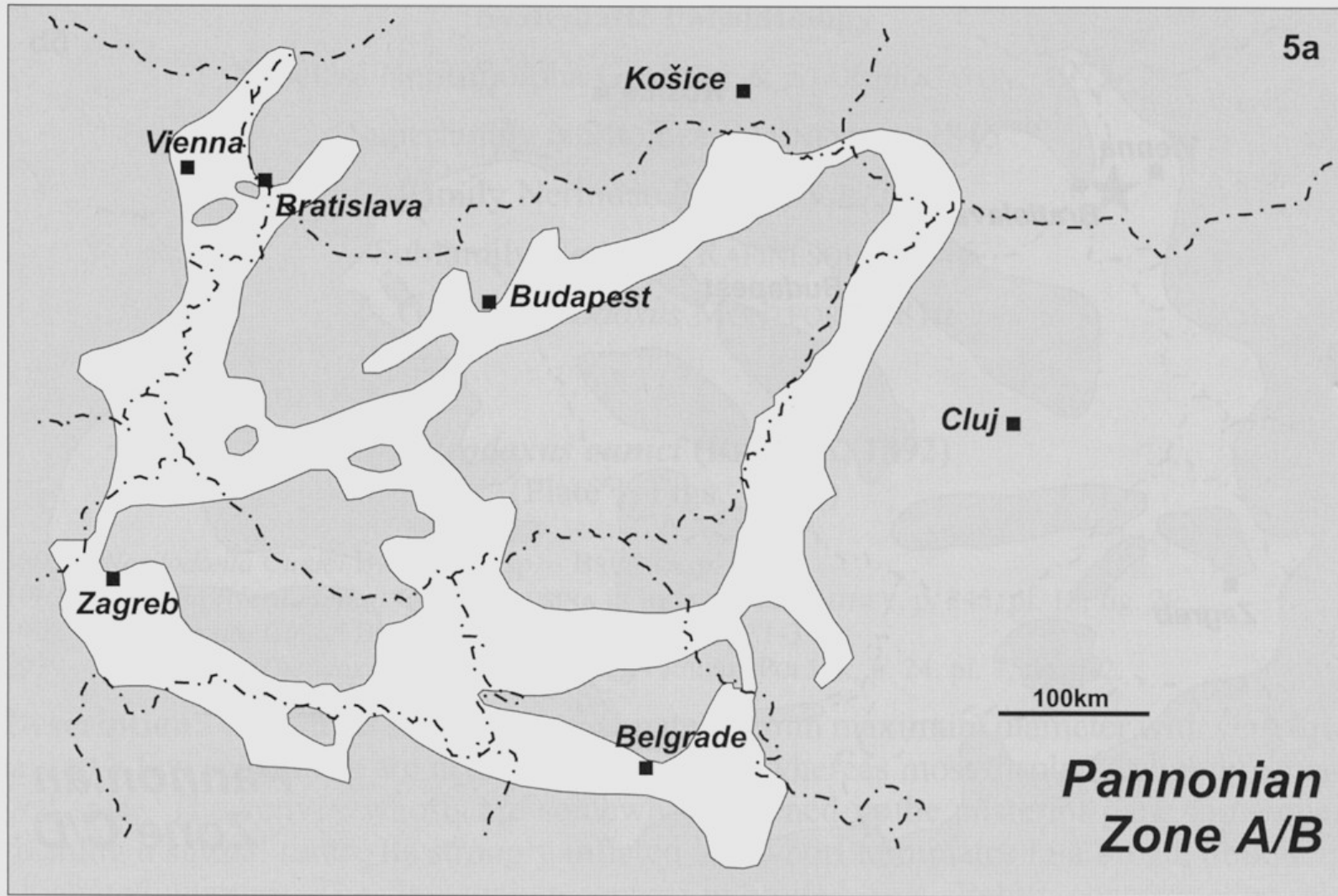
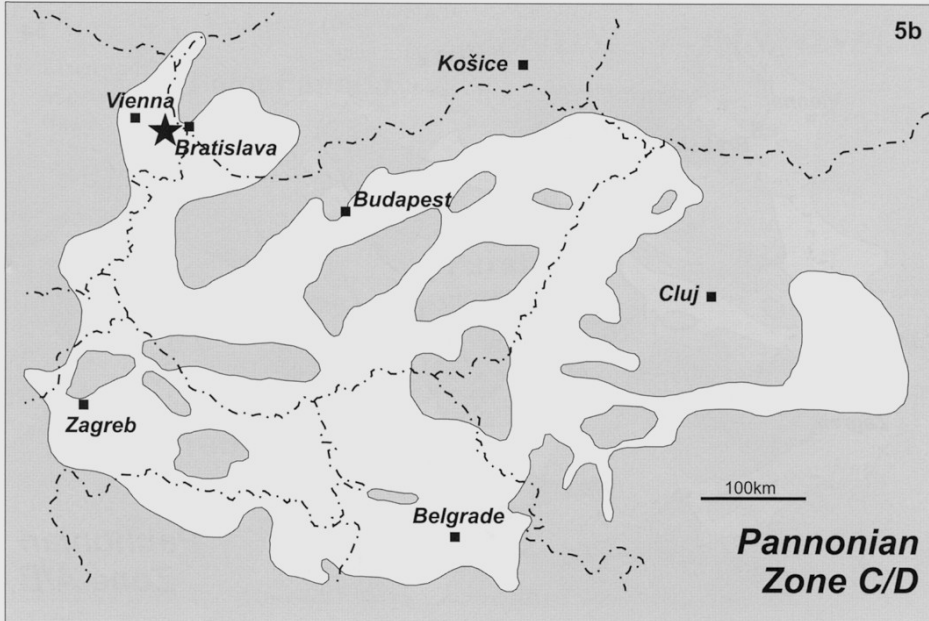


Fig. 5a: Paleogeography of Lake Pannon in 3 timeslices (after MAGYAR, GEARY & MÜLLER, 1999)

Rozšíření sedimentačních oblastí v pannonu kolem hranice zón A/B



Rozšíření sedimentačních oblastí v pannoru  
kolem hranice zón C/D



Rozšíření sedimentačních oblastí v pannoru  
během zóny E - maximální záplava

Fig. 5b-c (continued): Paleogeography of Lake Pannon in 3 timeslices (after MAGYAR, GEARY & MÜLLER, 1999)

## Ukázka stratigraficky významných měkkýšů v sarmatu a pannoru vídeňské pánve (Harzhauser et al. 2002)

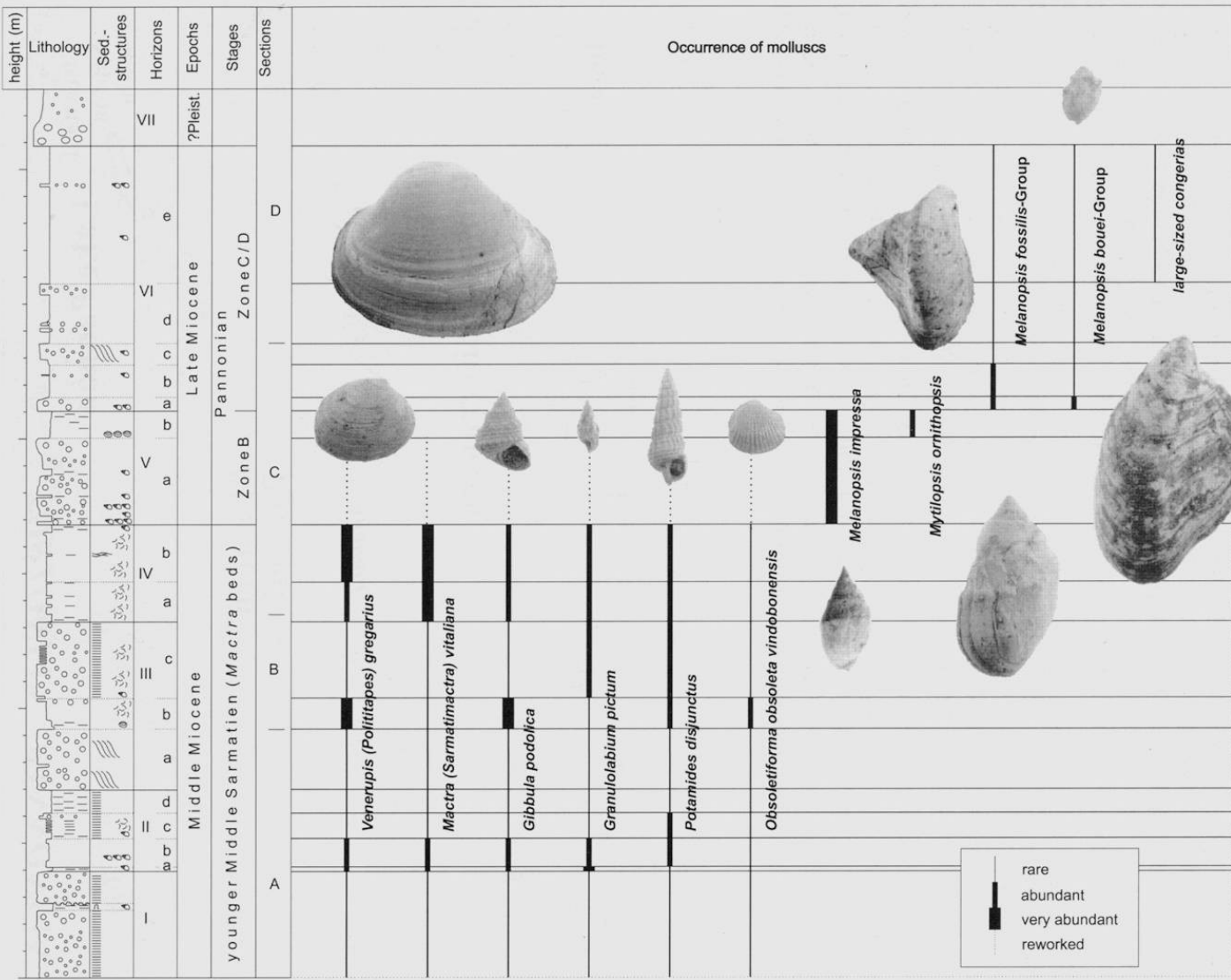
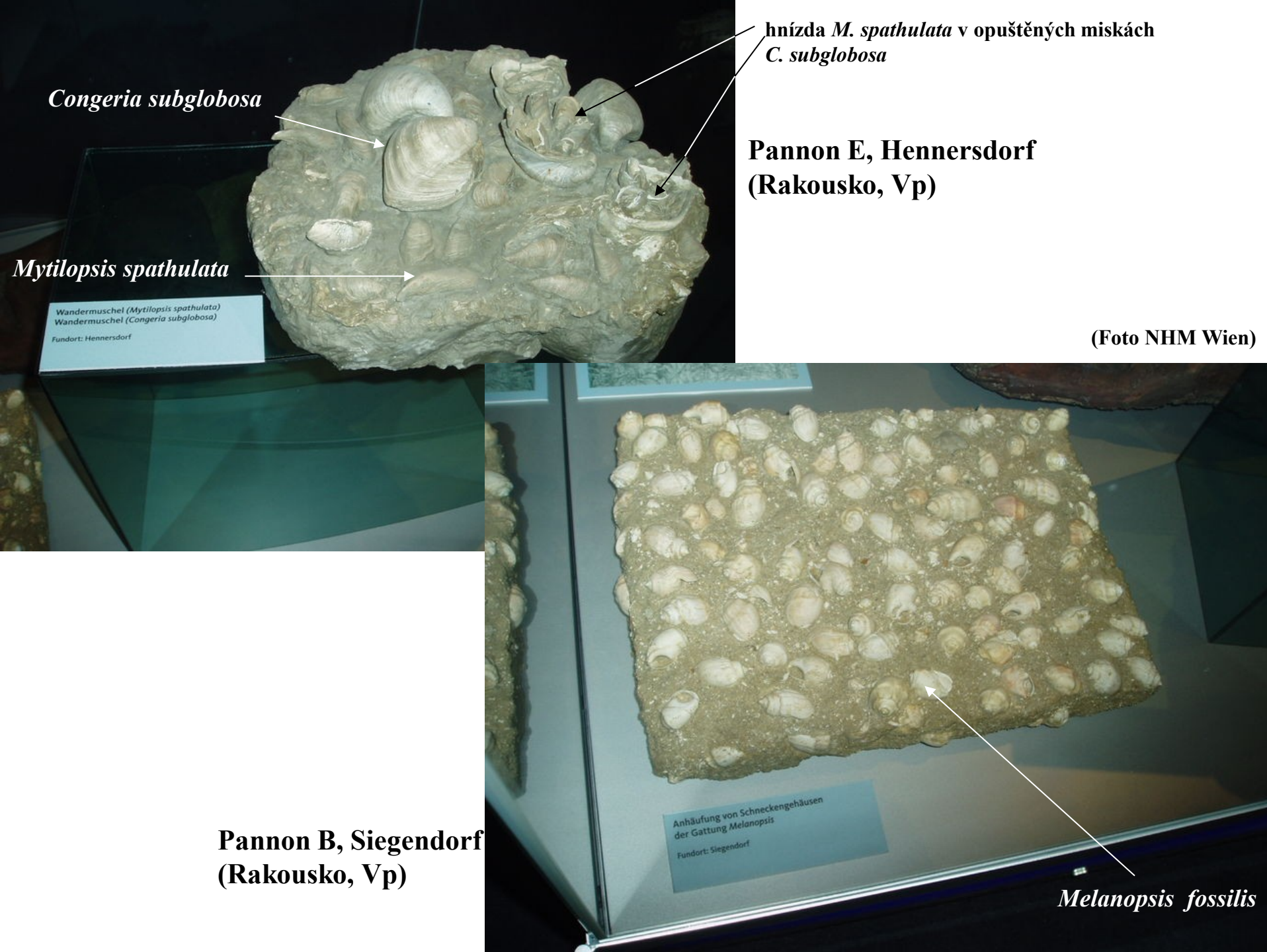


Fig. 3: Idealised log of the section with correlation of biozones.

Towards the top of the succession, only scattered layers (1-4 cm thickness) of fine gravel can be detected which are enriched in shells of various melanopsid species. Rare lithoclasts of Late Sarmatian marl are bound either to the high energetic, basal marls of



*Congeria subglobosa*

hnízda *M. spathulata* v opuštěných miskách  
*C. subglobosa*

Pannon E, Hennersdorf  
(Rakousko, Vp)

*Mytilopsis spathulata*

Wandermuschel (*Mytilopsis spathulata*)  
Wandermuschel (*Congeria subglobosa*)

Fundort: Hennersdorf

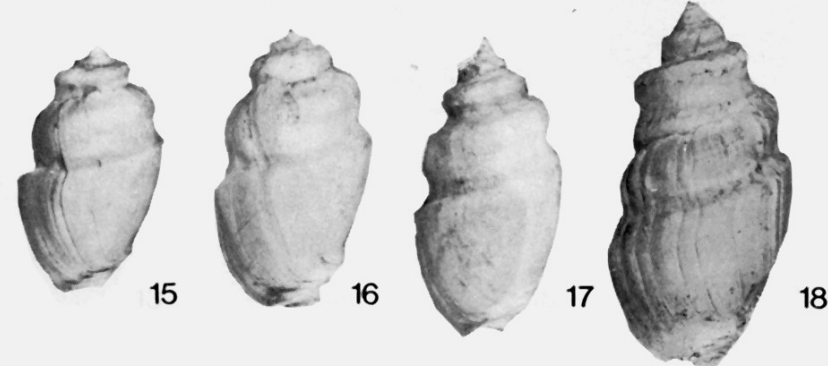
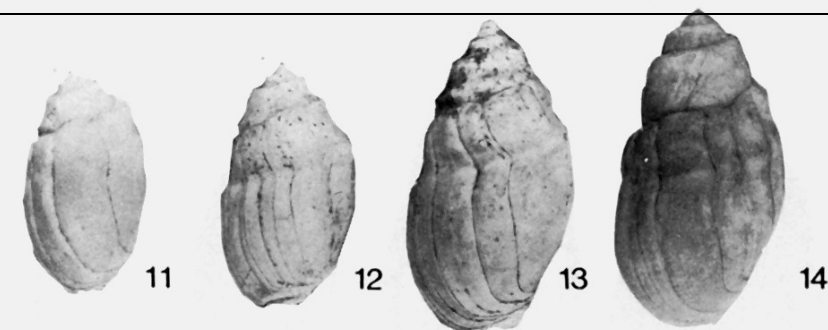
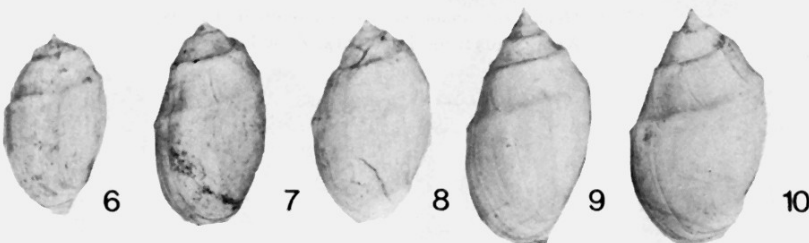
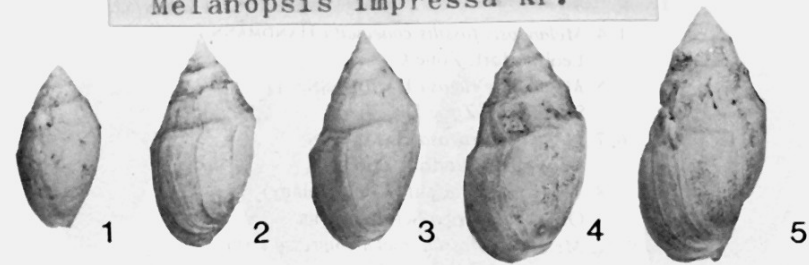
(Foto NHM Wien)

Pannon B, Siegendorf  
(Rakousko, Vp)

Anhäufung von Schneckengehäusen  
der Gattung *Melanopsis*  
Fundort: Siegendorf

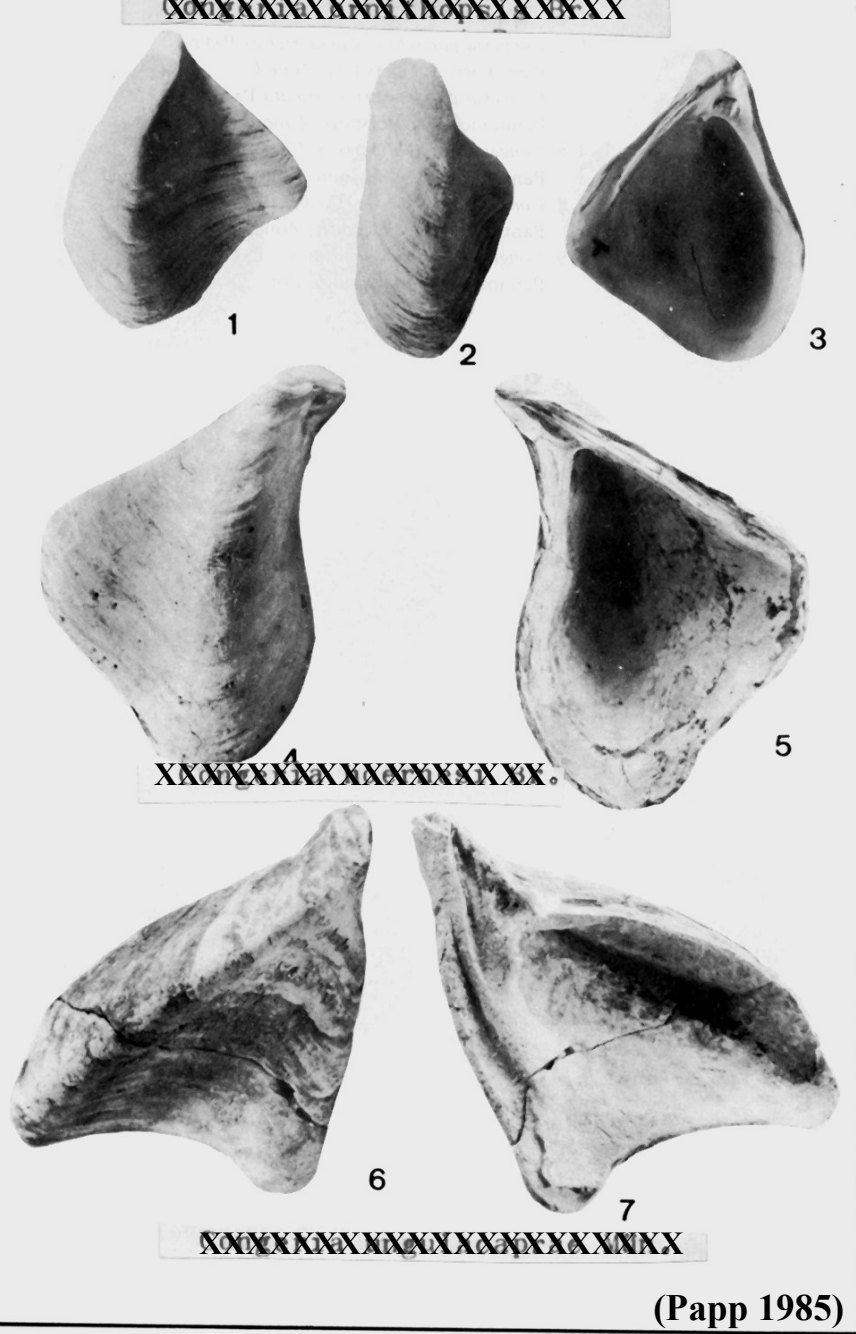
*Melanopsis* fossilis

*Melanopsis impressa* Kr.



*Melanopsis impressa* Kr. – div. ssp.  
1-2 sarmat, 3-10 pannon Vp

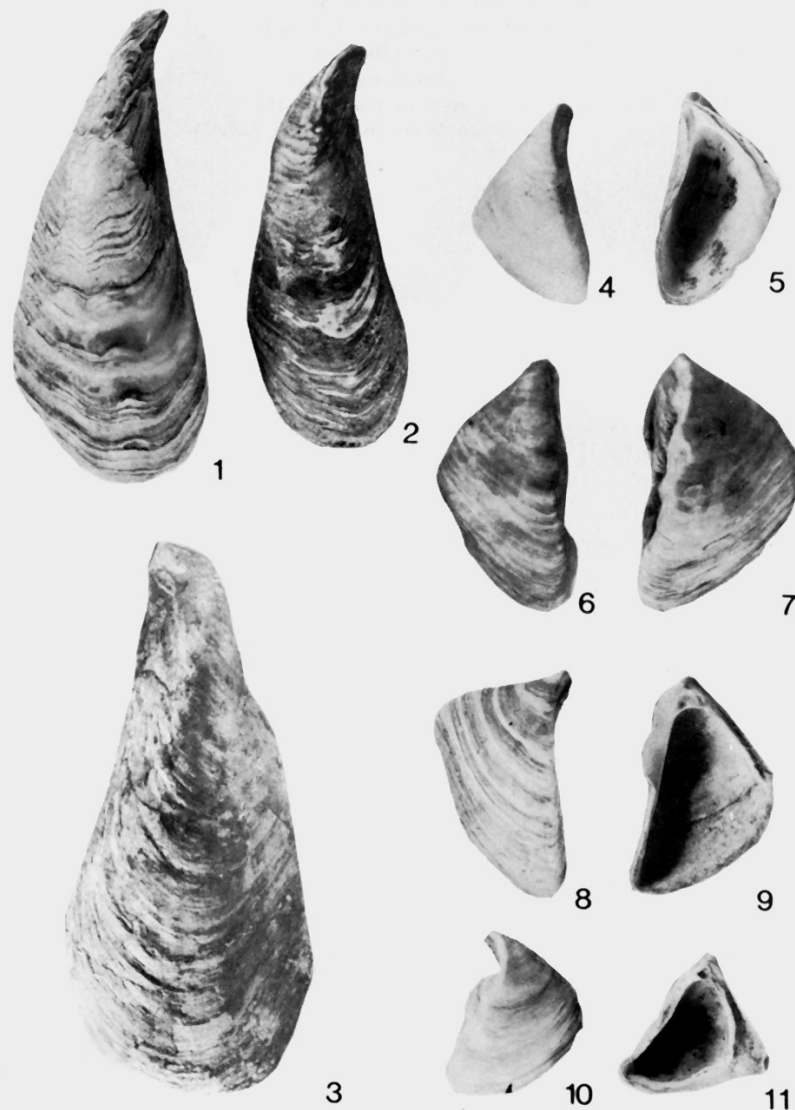
*Melanopsis fossilis* (M.-Gm.) – div. ssp.  
pannon Vp



1-3 *Mytilopsis ornithopsis* (Br.)  
pannon B, Vp

4-5 *Mytilopsis hoernesii* (Br.)  
pannon C, Vp

6-7 *Mytilopsis ungulacaprae* (Munst.)  
pannon D, Vp



(Papp 1985)

1-3: *Mytilopsis spathulata* Partsch – div. ssp.  
pannon E, Vp

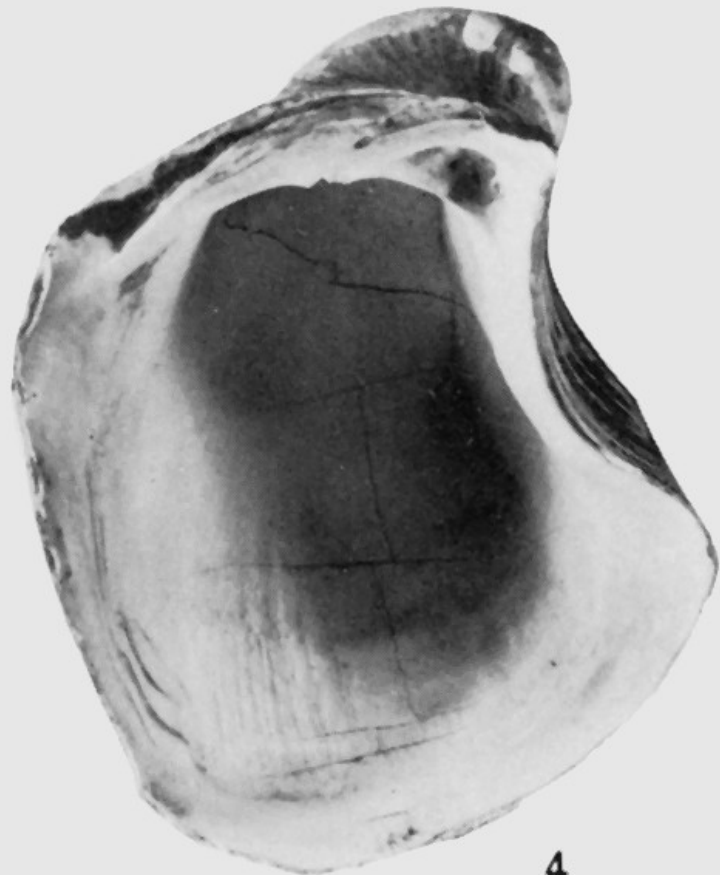
4-11: *Congeria balatonica* Partsch  
pannon C, D, Vp



*Congeria partschi partschi* Czjzek, pannon D, Hungelbrunn, Vp (Papp 1985)

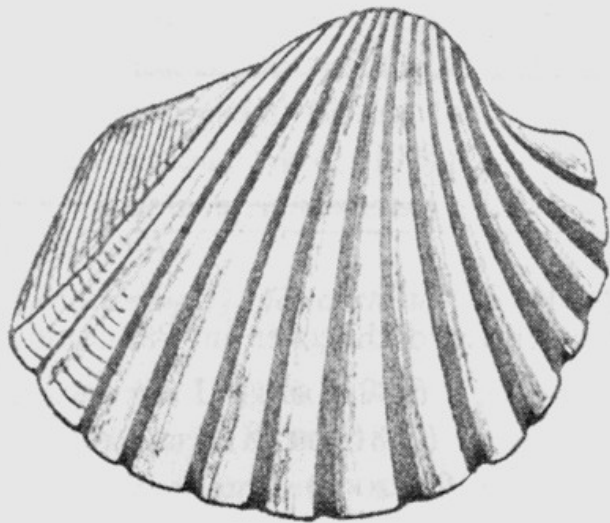


3

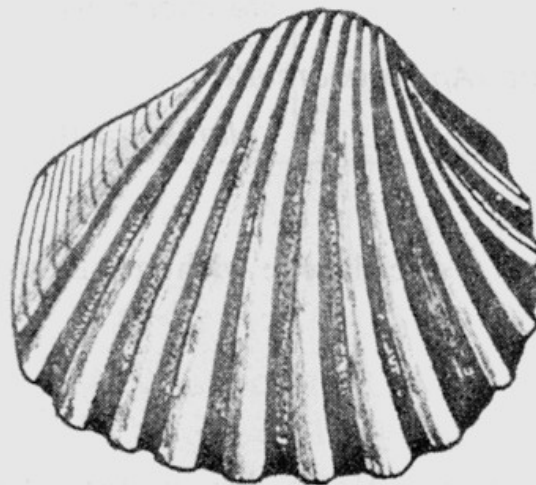


4

*Congeria subglobosa subglobosa* Partsch, pannon E, Vösendorf, Vp. (Papp 1985)



11



12

(Papp 1985)

*Limnopcardium bocki* (Halaváts), pannon D, Hungelbrunn, Vp



*Taxodium dubium*, pannon, vídeňská pánev

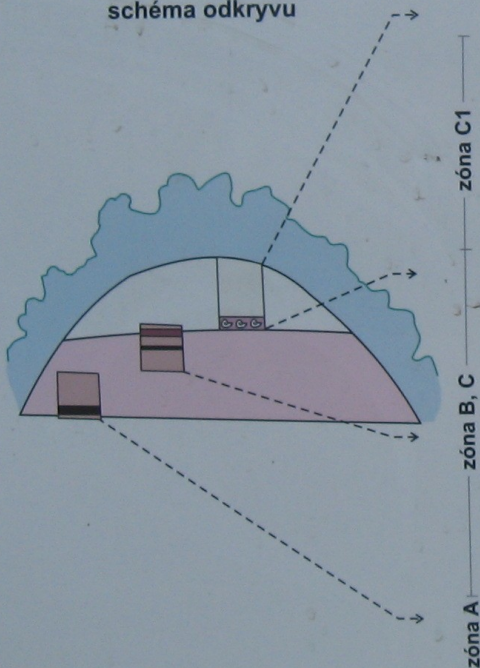
## Přírodní památka VÝCHOZ

Přírodní památka Výchoz vznikla těžbou písku a lignitu v zalesněném svahu bývalého „Čejčského jezera“. Území o výměře 2,15 ha se nachází v nadmořské výšce 188 - 200 m v k.ú. Čejč.

V přístupných odkryvech jsou zastiženy sedimenty neogenního stáří v rozsahu spodního panonu zóny A - C2.

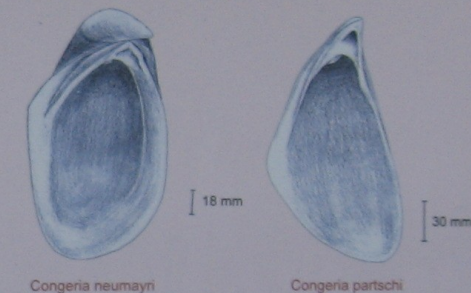
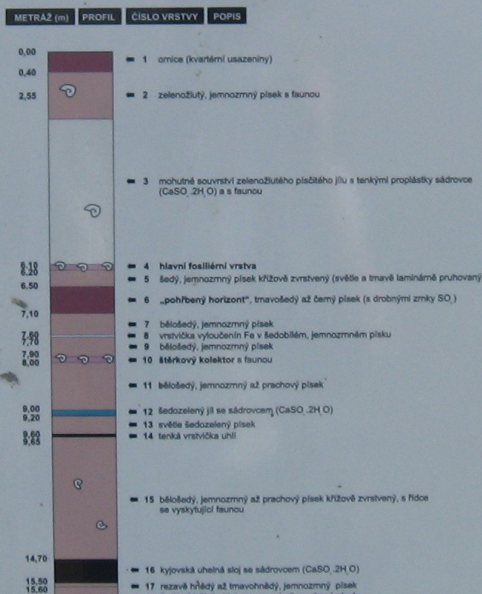
Ve spodní části levého odkryvu je vyvinuta Kyjovská lignitová sloj v mocnosti 0,5 - 1 m. Spolu s nadložními písکy je díky výskytu ulit plže *Melanopsis posterior* a mlže *Congeria ornithopsis* řazena do zóny B.

### schéma odkryvu



Další velmi zajímavou částí profilu je „pohřbený půdní obzor“ a jeho nadloží, v němž byly v zóně C1 nalezeny schránky mlže *Congeria subglobosa*, typické v centrálním středomořském prostoru až pro zónu E.

Celá lokalita je významným geologickým opěrným odkryvem a je registrována u mezinárodních organizací RCMNS a UNESCO, přičemž byla několikrát předmětem jejich exkurzí.



Území PP Výchoz je součástí evropsky významné lokality soustavy NATURA 2000 - Bílý kopec u Čejče a Ptačí oblasti Hovoransko-Čejkovicko.

K činnostem, které by mohly ohrozit chráněné území patří:

- výjednání do území s výjimkou zvláštních případů
- jakékoli zasahování do výchozů a sbírání přírodnin
- pohyb návštěvníků nad kolmými stěnami
- umisťování staveb, odhadzování odpadků a zřizování skládek
- provádění terénních úprav, težba písku a lignitu
- táboreni a rozdělávání ohně
- vypalování suchých porostů

Využijte vaši přítomnosti v chráněném území k pozorování přírody, ale počínejte si při tom tak, aby jste dodržovali podmínky ochrany.



**Čejč – pannon A, B, C, bzenecké souvrství,  
(celkový pohled na chráněnou lokalitu)**



Čejč, pannon detail siltů zóny B



Foto Petrová Tomanová



**Čejč , pannon, bzenecké souvrství,  
detail zóny B s vložkami lignitu**



(Foto Stráník)

**Čejč, pannon, bzenecké souvrství, báze prach. jílů zóny B s kyjovskou slojí (dnes zasuceno)**

## Pliocén (dak a roman)

- koncem miocénu a v pliocénu rozevírání vídeňské pánve ustává, pánev prakticky zaniká, sedimentace se přesouvá k jv. směrem do Panonie. Alpy a Karpaty = zvedání (místy ještě pokles => Dunaj opouští „Zaya“ cestu a překládá koryto jižněji do dnešní pozice)
- ukládání říčních uloženin v okolí větších řek (Dunaj, Morava, Dyje) - během pleistocénu většinou opět vyklizeny,
- štěrky, píska s křížovým zvrstvením, zelené, šedé nevápnité jíly s drobnými lignitovými slojkami v zohorsko-plaveckém příkopu v z. podhůří Malých Karpat, dosahují až 100 – 200 m mocnosti (**brodské s.**) a navazují na pliocén severního Maďarska.

Jihovýchodní oblasti Vp tedy ještě klesaly, nehledě na celkový zdvih Alpsko-Karpatského oblouku - poklesové tendenze se však přesouvají do dunajské pánve.

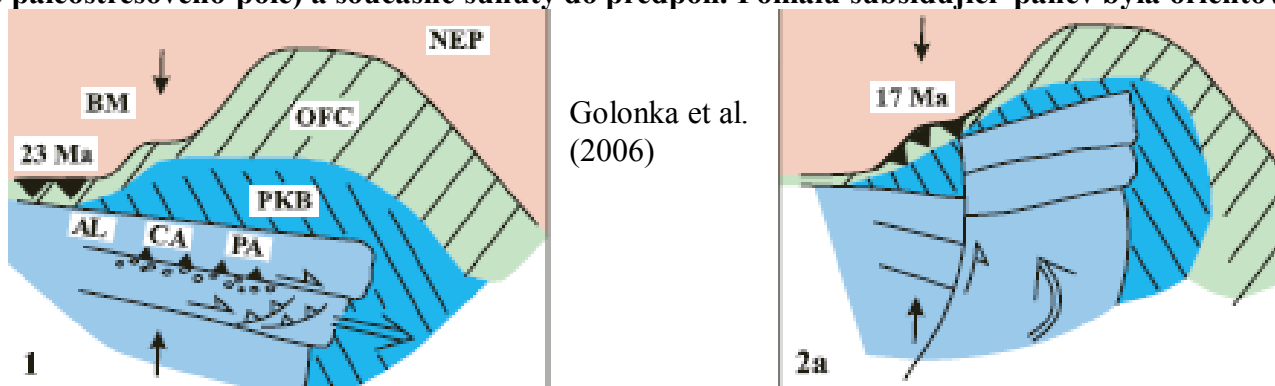
## Pleistocén

V pleistocénu se v oblasti bývalé Vp ukládají již jen říční terasy dolnomoravského úvalu a spraše (eolické sedimenty). Zohorsko-plavecký příkop ještě poklesá => jezerní štěrky, píska a jíly, mocnost až 150 m (seismicita je zde zaznamenávána i v recentu).

Vídeňská pánev je vyplňena neogenními sedimenty o celkové mocnosti 5 500 m.

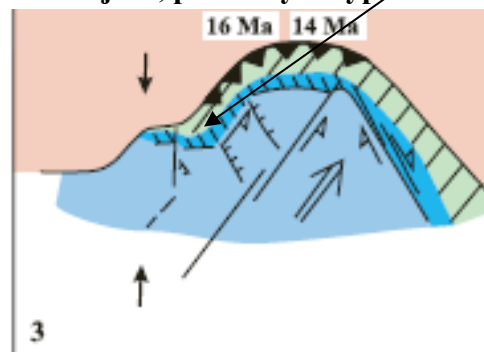
Geotektonicky je Vp situována na styku dvou segmentů alpsko-karpatského orogénu a na jejich superpozici - na kenozoickém akrečním klínu rhenodanubika a západokarpatského flyšového oblouku a dále na jednotkách Severních Vápencových Alp a Centrálních Východních Alp a Centrálních Západních Karpat. Ze stratigrafické a paleogeografické analýzy vyplývají **4 dobře rozlišitelná stadia** (etapy) pánevního vývoje:

**-1) Raně miocenní kompresní tektonický režim** během eggenburgu a ottnangu. Sedimentační prostor Vp se rozvíjí nejprve jako dílčí deprese na hřbetech příkrovů (**piggy-back**), které jsou stlačovány a svírány tlakem orogeneze ve směru SZ – JV (orientace paleostresového pole) a současně sunuty do předpolí. Pomalu subsidující pánev byla orientována Z-V směrem.

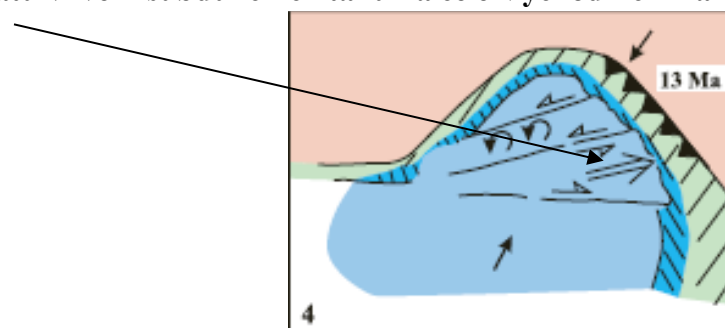


Golonka et al.  
(2006)

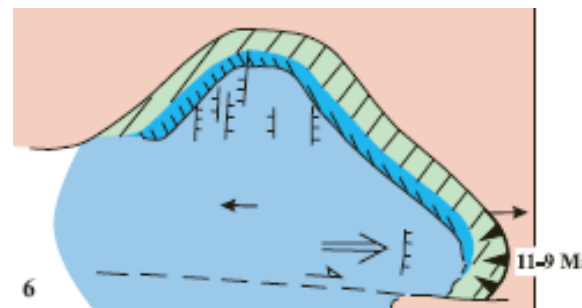
**-2) Extruze (vysunutí) západokarpatské litosférického fragmentu** z alpského prostoru během **karpatu** způsobila ve Vp transtenzní tektonický režim. V paleostresovém poli s orientací směru hlavní komprese S-J se vytvářela depocentra způsobem mechanismu **pull-apart**. Na rozhraní magurské a ždánické jednotky vzniká levostranný posun směru SV-JZ, příkrovové podloží vídeňské pánve zůstává již víceméně na místě, tektonický režim pánve se mění. Dno pánve poklesá a rozevírá se podél zlomů, které mají ráz horizontálních posunů SV - JZ směru a poklesů S - J směru. První fáze tektonicky podmíněné subsidence odráží iniciální období riftingu. Depocentra pánve se posouvala k jihu, pánev byla vyplňována rozsáhlou deltu v její jižní části (Aderklaa Fm.).



**-3)** V časném badenu se projevila aktivita SV-JZ orientovaných zlomů platformního podkladu Českého masívu i na západním okraji pánve a ovlivnila jeho vývoj (steinberské, schrattenberské zlomy a bulharský zlom). Ve středním miocénu proběhla synriftová subsidence Vp v extenzním tektonickém režimu, který byl ovlivněn paleostresovým polem s hlavní kompresí orientovanou SV-JZ. Konfigurace pánve byla ovlivněna především SV-JZ a SSV-JJZ orientovanými normálními zlomy. V této době došlo k výrazné přestavbě drenážního systému, představující významnou paleogeografickou změnu. Jejím výsledkem byla rozsáhlá delta („Paleodunaje“) na západním okraji pánve. Druhá fáze stále rychlejší subsidence během časného sarmatu je vázána na VSV-ZJJ sinistrální strike-slip zlomy a normální zlomy orientované SV-JZ. Tyto zlomy navodily subsidenci zistersdorfsko-moravské ústřední deprese a senické deprese sitované k SV. Synriftové stadium - extenze v severní části Vp byla zvýšena aktivním protažením západokarpatského orogénu během sarmatu vlivem subdukčních tahů na čele Východních Karpat.

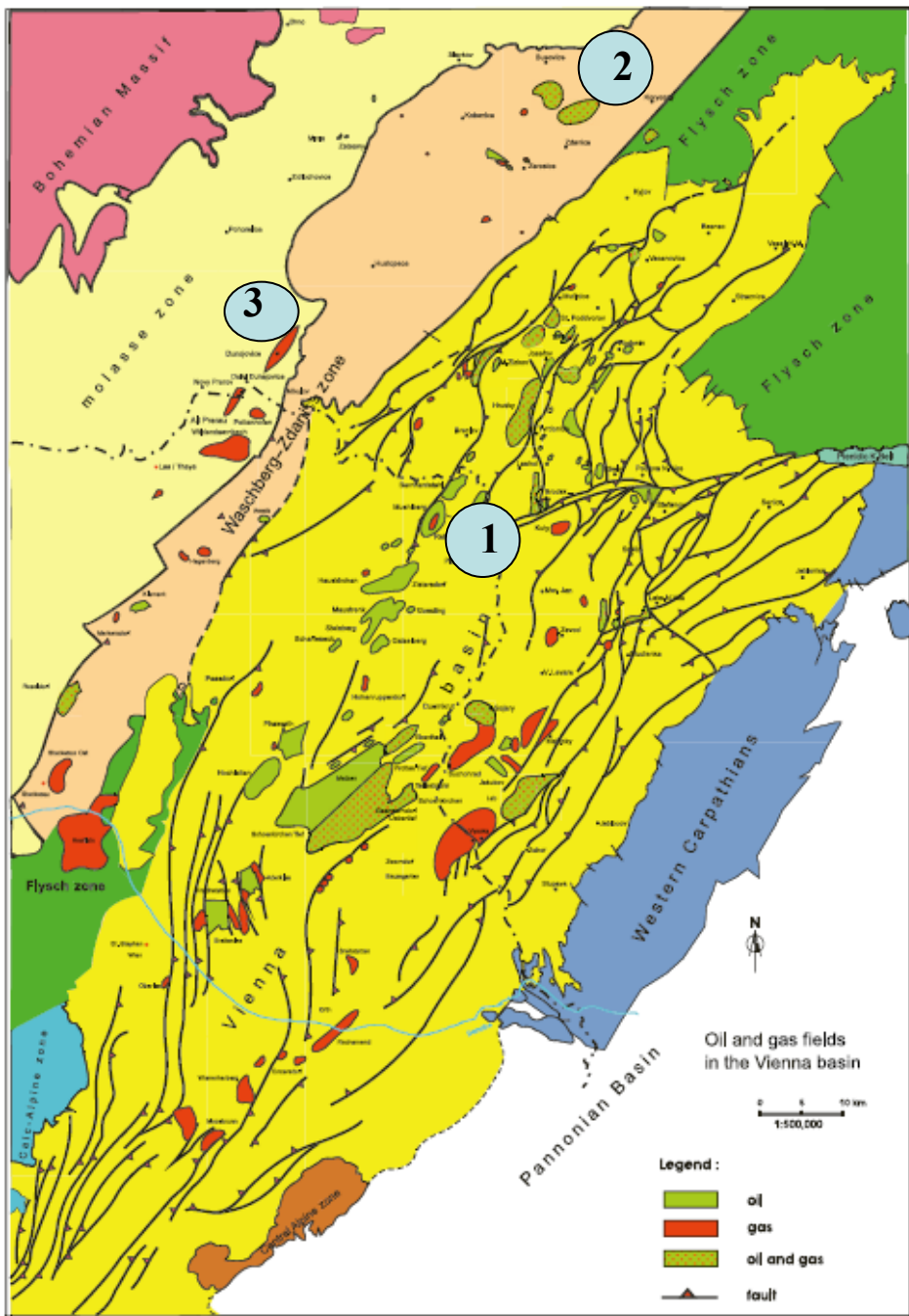


**-4)** Sedimentace v pozdním miocénu zastupuje korovou relaxaci postriftového stadia ve vývoji pánve během pannonu. Vp se mění ve vnitrohorskou depresi poklesávající jen podél zlomů na okraji dílčích příkopů. Transtenzní režim je dokumentován zlomově kontrolovanou subsidencí v příkopech na východním okraji pánve (zohorsko-plavecký a mitterndorfský příkop). Tento režim trvá až do recentu (projevuje se seizmickou aktivitou).



Během svého vývoje byla vídeňská pánev propojena s alpsko-karpatskou předhlubní (eggenburg - spodní baden) a podunajskou a panonskou pánví (miocén až pliocén). Do posledně jmenované oblasti její povrchové toky odváděny dodnes.

Poznámka k souhrnu Vp.: Vass (2002) nesouhlasí s výše uvedeným pojednáním výkladu pánve a upozorňuje na to, že riftová stádia ve Vp nelze jednoznačně akceptovat neboť klasické postriftové stadium např. pannonských zaobloukových pánví je termální, s velkými mocnostmi sedimentů a převážně nezlomovou subsidencí. Vp tedy není typicky riftovou strukturou (viz „thin skinned pull apart“ – Roydenové 1985).



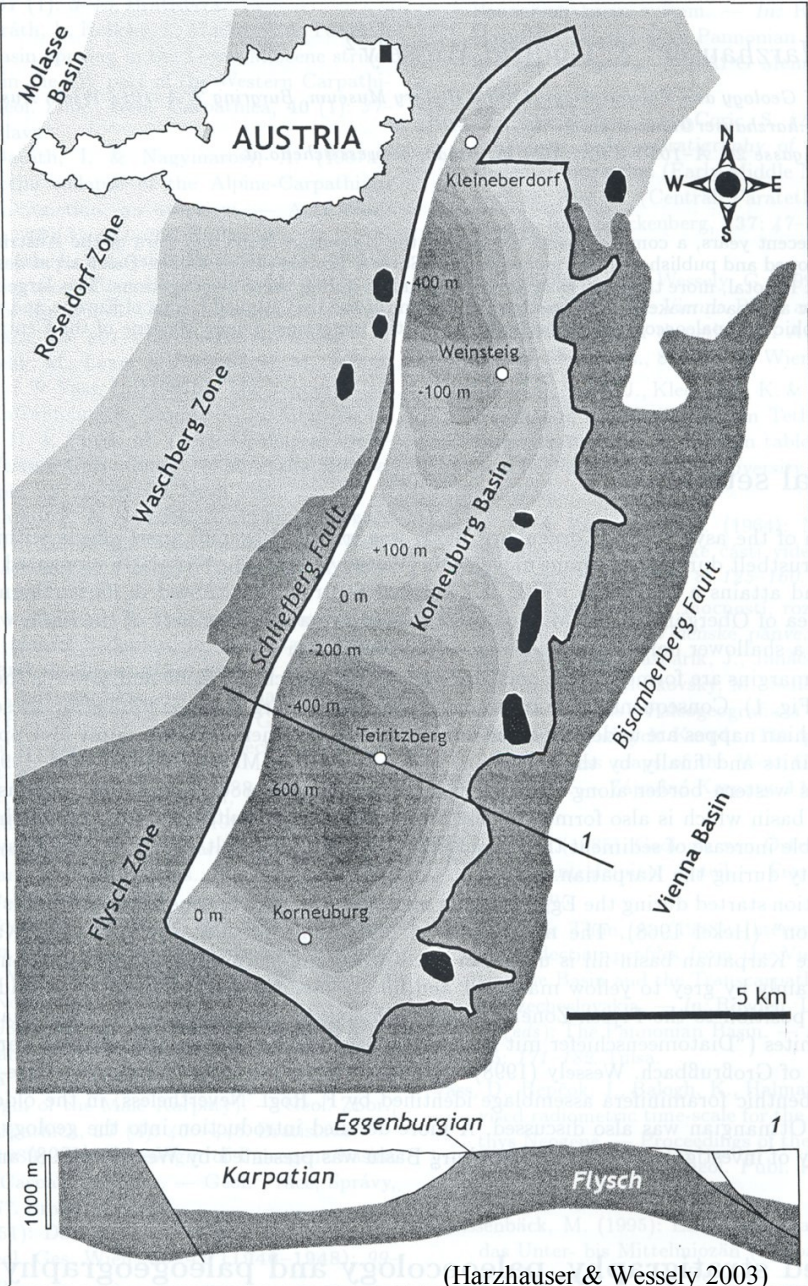
Vp je velmi významnou ropoplynnonosnou oblastí

**Ložiska zemního plynu a ropy  
ve vídeňské pánvi (1),  
v autochtonním paleogénu  
(nesvačilský příkop, 2)  
a karpatské předhlubni  
(Alt Prerau-Dolní Dunajovice, 3)**

**(Golonka et Picha 2006)**

Figure 6. Oil and gas fields in the Vienna basin.

# Korneuburská pánev



## - Sv. Dolní Rakousko

- asymetrická pánev (20 x 7 km) JJZ-SSV směru,  
„pull apart“ tektonika, uvnitř waschbergské zóny flyšového pásma
- subsidence na J větší (880 m), na S menší (530 m)
- přibývání mocnosti k Z = synsedimentární tektonika během karpatu  
(viz zlomové omezení pánve)
- sedimentace začíná v eggenburgu (**ritzendorfské s.**)
- výplň pánve v karpatu = **korneuburské s.** = šedé až žlutavé slinité prachy a jemnozrnné píska, na v. straně místy štěrky a sutě, na s. jsou časté jílovité slíny s diatomity s rybími zbytky

## Korneuburská pánev v karpatu podle Harzhausera et al. 2007-int.

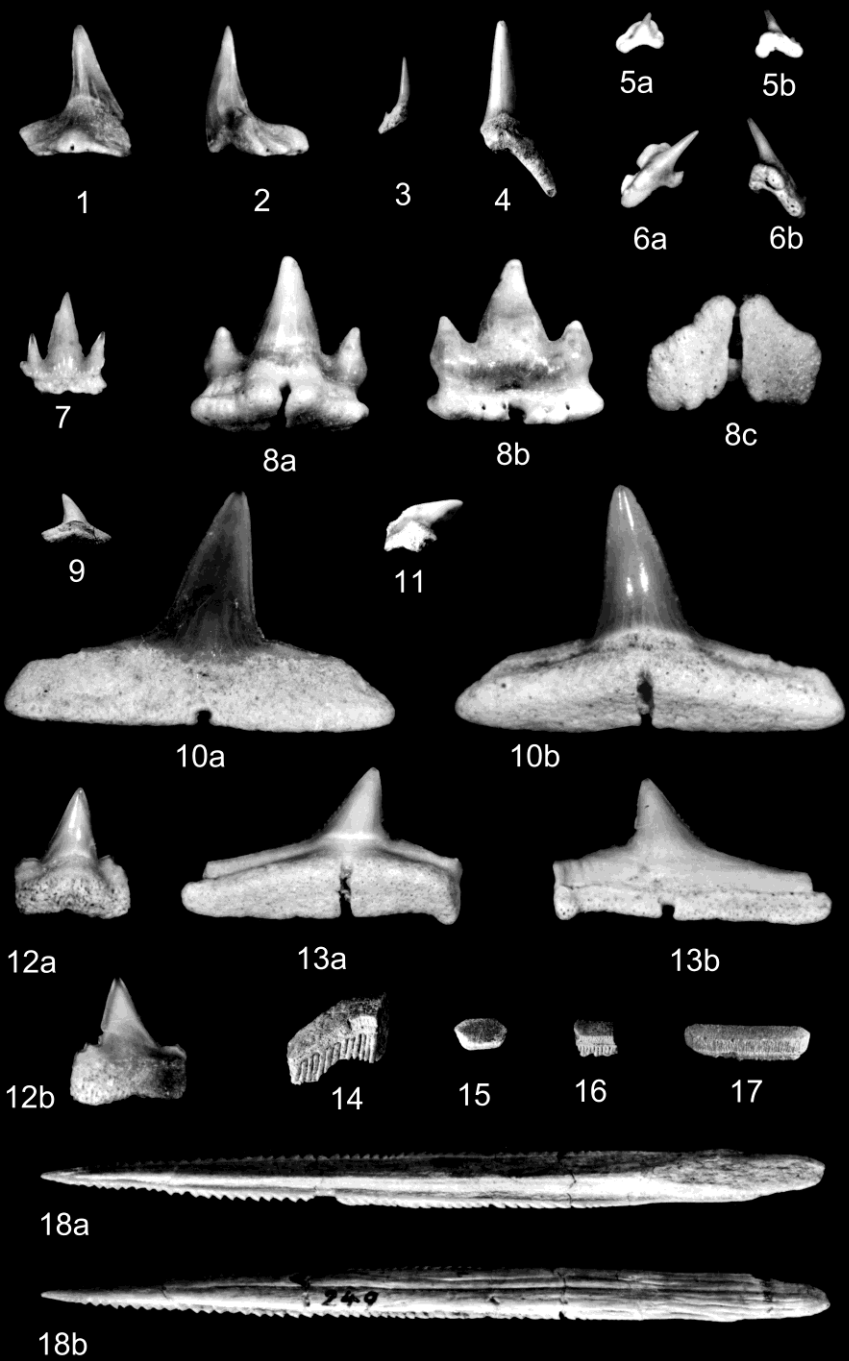


Severní část – mělké moře (cca 20-30 m hloubka),  
foraminifera + solitérní drobní koráli.

Propojení severně od  
„Obergänserndorf-Mollmannsdorf“ prahu s Vp

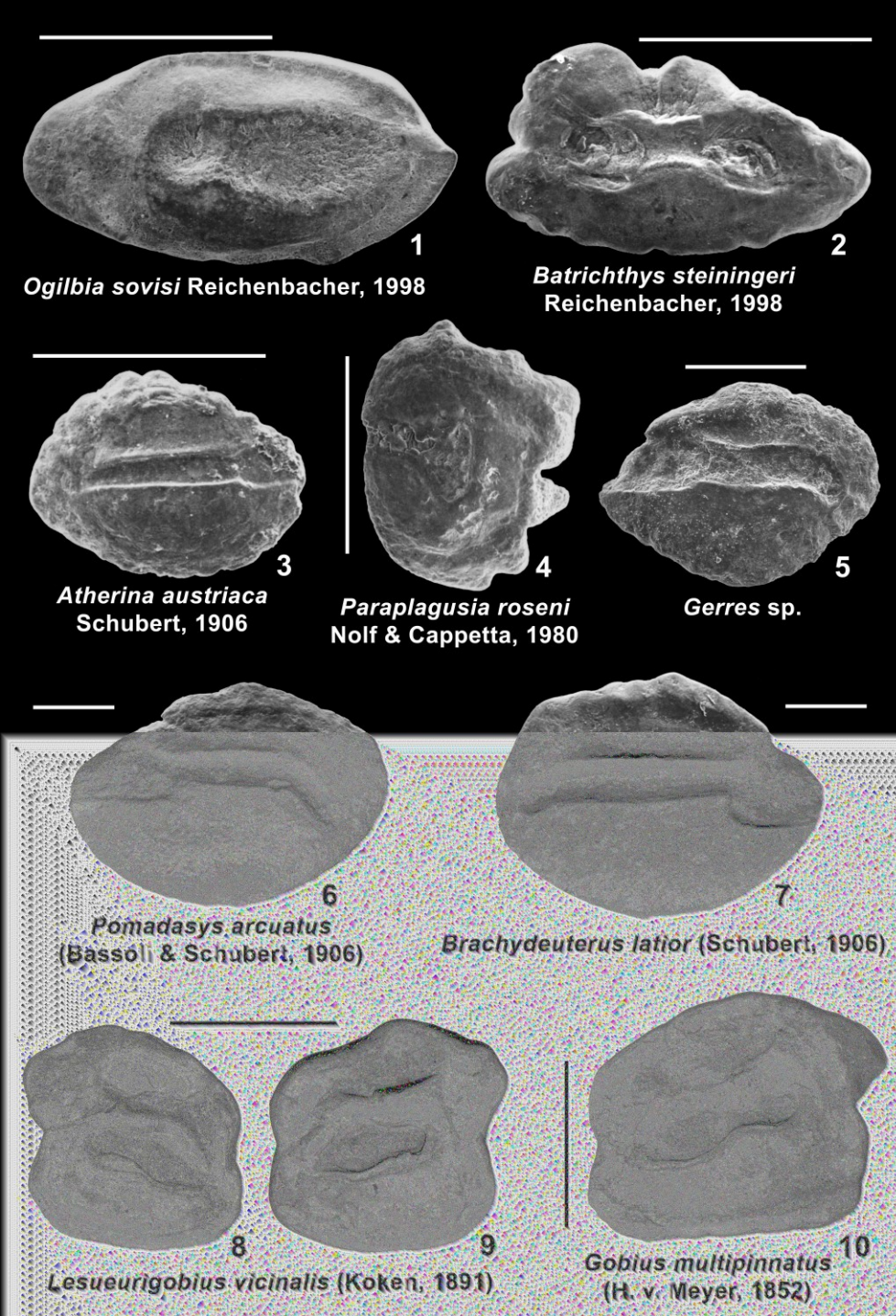
Jižní část – ráz eustuária (izolace) s  
opakovanými mělkými mořskými záplavami,  
biohermy s *Crassostrea*.

Zbyty krokodýlů a dalších ještěrů = klima MAT  
okolo 17 st. C, zima bez mrazu, minimální  
měsíční teplota 3-8 st. C.



- 1, 2 – *Squatina subserrata* (Munst.)  
 3 - *Carcharias acutissimus* (Ag.)  
 4 - *C. cuspidatus* (Ag.)  
 5, 6 - *Scyliorhinus fossilis* Ler.  
 7, 8 - *S. distans* (Probst)  
 9, 10 - *Carcharhinus priscus* (Ag.)  
 11 - *Galeocerdo aduncus* Ag.  
 12, 13 - ?*Sphyrna* sp.  
 14 - *Aetobatus arcuatus* Ag.  
 15 - *Rhinoptera studeri* (Ag.)  
 16, 17 - ?*Myliobatis* sp.  
 18 - ?*Dasyatis/Aetobatis* ? sp.

Některí zástupci žraloků a rejnoků (zuby, trny) karpatu, korneuburská pánev, Schultz (2003)



Otolitová fauna karpatu korneuburské pánve  
(Brzobohatý et al., 2003)

## Literatura (výběr a doporučení):

- Brzobohatý, R., Cicha I., Kováč, M. & Rögl, F. (eds) (2003): *The Karpatian – a Lower Miocene stage of the Central Paratethys.* – Masaryk University, pp. 360, Brno.
- Cicha, I., Rögl, F., Rupp, Ch. & Čtyroká, J. (1998) : *Oligocene-Miocene foraminifera of the Central Paratethys.* – Abh. Senck. Naturforsch. Gess. 549: 1-325. Frankfurt a. M.
- Golonka, J. & Picha, F. (eds) (2006): *The Carpathians and Their Foreland: geology and Hydrocarbon Resouces.* – AAPG Memoirs 84, pp. 856, Tulsa (Oklahoma).
- Chlupáč, I., Brzobohatý, R., Kovanda, J. & Stráník, Z. (2002): *Geologická minulost České republiky.* – Academia, pp. 436. Praha.
- Jiříček, R. (1994): Nové pohledy na stratigrafii, paleogeografiu a genezi sedimentů autochtonního paleogénu jižní Moravy. – Zemní Plyn a Nafta 38 (3): 185-246. Hodonín.
- Jiříček, R. & Seifert, P.H. (1990): *Paleogeography of the Neogene in the Vienna Basin and the adjacent part of the Foredeep.* – In: Minarikova, D. & Lobitzer, H. (eds): *Thirty years of geological cooperation between Austria and Czechoslovakia,* 89-105, ÚÚG Praha.
- Kováč, M. (2000): Geodynamický, paleogeografický a štruktúrny vývoj karpatsko-panónského regiónu v miocéne:  
Nový pohľad na neogénne panvy Slovenska. – VEDA, pp. 202, Bratislava.
- Kováč, M., Baráth, I., Harzhauser, M., Hlavatý, I. & Hudáčková, N. (2004): *Miocene depositional systems and sequence stratigraphy of the Vienna Basin.* – Cour. Forsch.-Inst. Senckenber. 246: 187-212. Frankfurt a M.
- Kvaček, Z., Kováč, M., Kovar-Eder, J., Doláková, N., Jechorek, H., Parashiv, V., Kováčová, M. & Sliva, L. (2006): *Miocene evolution of landscape and vegetation in the Central Paratethys.* – Geologica Carpathica 57, 4, 295-310. Bratislava.
- Papp, A., Cicha, I., Seneš, J. & Steininger, F. (1978): M4, Badenien. – *Chronostratigraphie und Neostratotypen*, pp. 593. Bratislava.
- Řehánek, J. (1994): Litostratigrafická klasifikace, sedimentační model a faciální vývoj autochtonního paleogénu nesvačilského příkopu. - Zemní Plyn a Nafta 38 (3): 105-151. Hodonín.
- Dále použity různé internetové databáze (především paleontologická obrazová dokumentace)